

UNIVERSIDAD DE LA REPÚBLICA

FACULTAD DE AGRONOMÍA

CARACTERIZACIÓN ANATÓMICA DE LA MADERA DE
Eucalyptus grandis W. HILL PROVENIENTE DEL ESTE URUGUAYO

Por

Daniela VEROCCAY DA SILVA

TESIS presentada como uno de
los requisitos para obtener el
título de Ingeniero Agrónomo

MONTEVIDEO

URUGUAY

2022

Tesis aprobada por:

Director: -----

Dra. Ingeniera Forestal Ana Paula Coelho

Ing. Agr. Sebastián Quagliotti

Ing. Ind. For. Julia Sáenz

Fecha: 12/07/2022

Autor: -----

Daniela Verocay Da Silva

AGRADECIMIENTOS

A la Dra. Ingeniera Forestal Ana Paula Coelho por ser tutora de este trabajo y estar disponible en todo momento para ayudarme y aconsejarme.

Al Ing. Agr. Agustín Rava por la guía inicial para realizar el trabajo y responder mis dudas en varios momentos.

Al Ing. Agr. Andrés Baietto por cooperar y guiar en el estudio y análisis de los datos estadísticos.

Al Ing. Agr. Sebastián Quagliotti y la Ing. Ind. For. Julia Saenz.

Al Laboratorio Tecnológico del Uruguay (LATU).

A la empresa Redalco S. A. por permitir utilizar sus materiales para realizar esta tesis.

Al Departamento Forestal, con especial mención a Graciela y Fernando.

A mis padres sin ellos este camino no podría haber sido posible.

A familiares y amigos que me acompañaron en este proceso.

TABLA DE CONTENIDO

	Página
AGRADECIMIENTOS	III
LISTA DE CUADROS E ILUSTRACIONES	VI
1 INTRODUCCIÓN	1
2 REVISIÓN BIBLIOGRÁFICA	2
2.1 CARACTERÍSTICAS GENERALES DE LA ESPECIE <i>Eucalyptus grandis</i>	2
2.2 CARACTERÍSTICAS ANATÓMICAS	3
2.2.1 Madera	3
2.2.2 Fibra	3
2.2.3 Fibras leñosas	7
2.2.4 Parénquima	9
2.2.5 Radios leñosos	9
2.2.6 Proporción de los tejidos	11
2.3 DENSIDAD	12
2.3.1 Generalidades	12
2.3.2 Densidad Aparente	13
2.3.3 Densidad Aparente Básica	13
2.4 COEFICIENTES DE POTENCIAL EN LA ESPECIE	15
3 MATERIALES Y MÉTODOS	20
3.1 HISTORIAL DE PLANTACIÓN	20
3.4 SELECCIÓN A CAMPO	20
3.4 CONFECCIÓN DE PROBETAS	21
3.3.1 Determinación de la densidad aparente básica	21
3.3.2 Obtención de peso sumergido	22
3.3.3 Obtención de peso saturado	22
3.3.4 Obtención de peso anhidro	22
3.4 ESTUDIO ANATÓMICO	23
3.4.1 Preparados histológicos	23
3.4.1.1 Observación de preparados anatómicos	24

3.4.1.2 Procesamiento de datos	24
3.4.2 Macerados	24
3.4.3 Análisis de datos	25
3.4.4 Determinación de coeficientes de propiedad para la especie	25
4 RESULTADOS Y DISCUSIÓN	27
4.1 FIBRAS	27
4.2 VASOS LEÑOSOS	31
4.3 RADIOS LEÑOSOS	35
4.4 DENSIDAD	37
4.5 COEFICIENTES DE PROPIEDADES PARA PULPA	38
5 CONCLUSIONES	40
6 RESUMEN	41
7 SUMMARY	42
8 BIBLIOGRAFÍA	43
9 ANEXOS	50

LISTA DE CUADROS E ILUSTRACIONES

Cuadro No.	Página
1. Dimensiones de fibras	5
2. Dimensiones de las fibras en tres zonas de la madera	6
3. Características morfológicas de las fibras	6
4. Dimensiones de vasos según diferentes autores	8
5. Datos para radios medidos según número de células	10
6 Comparación de datos correspondientes a los radios	11
7 Promedio para diferentes tejidos en Eucalyptus plantados en Argentina	11
8. Valores promedio de densidad aparente básica (DAB)	14
9. Densidad Básica para tres especies	14
10. Índices de la calidad de la madera para la producción de pasta y papel	16
11. Características morfológicas de las fibras para dos orígenes	17
12. Rango de referencia para el índice de Runkel	17
13. Clasificación y efectos del coeficiente de flexibilidad	18
14. Clasificación del coeficiente de rigidez	19
15. Valores estadísticos para las variables estudiadas de las fibras	28
16. Valores estadísticos para las variables medidas de los vasos leñosos	33
17. Valores obtenidos en radios leñosos para distintas variables estudiadas.	36
18. Coeficientes para la producción de pulpa	38
Figura No.	Página
1. Porcentaje de tejidos de la madera para tres especies de Eucalyptus cultivadas en Argentina	12
2. Preparado macerado de fibra	27
3. Fibras en aumento 40X. Corte transversal	28
4. Gráfico de interacción Altura x Posición para ancho de fibra Media ajustada (puntos negros)	30
5. Gráfico de interacción Altura x Posición para largo de fibra Media ajustada (puntos negros)	30
6. Vasos en aumento 4X. Corte transversal	32
7. Preparado macerado de vaso leñoso	32
8. Gráfico de interacción Altura x Posición para área de vasos. Media ajustada (puntos negros)	34

9. Gráfico de interacción Altura x Posición para largo de vasos. Media ajustada (puntos negros)	35
10. Corte tangencial en aumento 4X para <i>Eucalyptus grandis</i>	37
11. Diagrama de caja para la densidad básica aparente. Valores atípicos representados por los círculos	37

1 INTRODUCCIÓN

En Uruguay la superficie forestada a diciembre de 2021 equivale a 1.087.109 hectáreas que se destinan al uso forestal, correspondiente al 6,21% del total de la superficie del país, de las cuales 1.048.228 hectáreas son efectivamente ocupadas por plantaciones forestales; en plantaciones mayores a 3 años, dentro de las distintas especies plantadas, *Eucalyptus grandis* W. Hill se ubica dentro de la mayor superficie con 250.964 hectáreas, incluyendo híbridos, clones y *Eucalyptus saligna* Sm. En bosques menores a 3 años, la superficie efectiva es de 203.197 hectáreas y, según aportes de viveros abastecedores (período 2018-2021), *E. grandis* se ubica en segundo lugar, con un 36%, y *E. dunnii* Doncella en primer lugar con 49% (MGAP. DGF, 2021a).

En 2020 la extracción de madera en rollo para la producción de pulpa se ubicó en 11.036 m³, un 63% del total, correspondiendo íntegramente a especies del género *Eucalyptus* L'Hér (MGAP. DGF, 2021b). Esto se debe a que el país no cuenta con industrias para la producción de pulpa de coníferas.

A nivel nacional, en la industria forestal el producto principal es la pulpa de celulosa química al sulfato blanqueada. El Ministerio indica en su boletín para el 2020 que la producción alcanzó los 2.793 millones de toneladas (MGAP. DGF, 2021b).

El presente trabajo tiene como objetivo general comprobar las características pulpables de *Eucalyptus grandis* plantado en el este de Uruguay. Los objetivos específicos son: determinar la densidad básica de la madera y sus propiedades anatómicas; analizar el efecto de la altura y la posición radial en el tronco de las probetas en la densidad y características anatómicas; calcular los índices de calidad de pulpa y papel; relacionar los índices con aquellos recomendados para la producción de pulpa y papel.

2 REVISIÓN BIBLIOGRÁFICA

2.1 CARACTERÍSTICAS GENERALES DE LA ESPECIE *Eucalyptus grandis*

El nombre de la especie tiene injerencia del latín, donde *grandis* es sinónimo de grande, alto y largo, por lo que se refiere al gran tamaño que la especie alcanza comúnmente (Boland et al., 2006).

Brussa (1994) describe a la especie como aquella que se caracteriza por tener una textura de árboles de gran tamaño, así como troncos rectos donde su corteza es caduca en fajas largas, pero persistente en la zona basal, entre 1 a 3 m de altura; el ritidoma es capaz de variar desde un gris verdoso a gris blanquecino; las primeras hojas son ovales y opuestas, seguida por las juveniles con un ápice agudo, una base redondeada, alternas y pecioladas; las hojas adultas son lanceoladas, con su ápice agudo, base cuneada y de color verde oscuras; la floración se da sobre final del verano y principio del otoño; las flores son agrupadas sobre un pedúnculo achatado en inflorescencias simples, axilares y los botones florales llegan a ser ovoides o globosos.

Esta especie es originaria del continente australiano, específicamente sobre el lado este. Sin embargo, es posible encontrarla de forma alternativa en regiones del norte, centro y sur del continente (Brussa, 1994). Según Boland et al. (2006), la zona que permite el desarrollo natural del *Eucalyptus grandis* está comprendida desde una altitud de 600 metros y 1.100 metros sobre el nivel del mar. Las precipitaciones anuales que oscilan desde 1.000 a 3.500 mm, en que los valores máximos ocurren en los meses de verano; las temperaturas oscilan entre 24 y 30°C durante los meses más cálidos, mientras que en los meses más fríos las temperaturas varían de 3 a 8°C, en este período se da la presencia de heladas; presentando una baja incidencia para la especie por parte de las mismas, aunque en zonas de alta elevación pueden afectar (Boland et al., 2006).

En Uruguay, las plantaciones de esta especie se dan en zonas consideradas de prioridad forestal, donde desde la década del 70 es posible lograr incrementos (IMA) entre 25 a 30 m³/ha/año, equivaliendo de 3 a 4 cm en diámetro a la altura del pecho (DAP) y de 2,5 a 3 metros en altura (Soria, 1979).

Así mismo, en estudio reciente realizado en el país, en el cual se evaluaron diversos orígenes de la especie para diferentes sitios de

plantación, se encontró gran variación en cuanto al IMA sin corteza, desde 28,2 a 59.9 m³/ha/año (Resquin et al., 2005).

La especie *E. grandis* ha presentado una diversificación con respecto a sus usos a nivel mundial como en el país, se considera materia prima para la producción de pulpa de celulosa y papel, madera de aserrado, biocombustible, columnas, postes y cortinas protectoras; además es un intermediario para producción de miel y hongos.

2.2 CARACTERÍSTICAS ANATÓMICAS

2.2.1 Madera

La madera presenta una naturaleza orgánica, en que sus principales componentes son la celulosa, hemicelulosa y lignina. Los *Eucalyptus* pertenecen al grupo de las especies frondosas, que tiene una anatomía más compleja, debido a que poseen una gran diversidad de células especializadas en diferentes funciones fisiológicas (Piter, 2003).

En la madera se pueden diferenciar dos regiones denominadas duramen y albura; la primera presenta un color más oscuro que la albura, debido a la transformación de la misma por acumulación de sustancias tales como aceites esenciales, taninos y resinas que van siendo depositadas en el interior de las células; las especies *E. diversicolor* F. Muell., *E. camaldulensis* Dehnh, *E. grandis* y *E. saligna* presentan un duramen que varía de un color rosa a rojo (Tuset y Durán, 2008). Los extractos se encuentran tanto en las paredes celulares como en lúmenes, particularmente en células del parénquima radial y los vasos (Hillis, 1978).

2.2.2 Fibra

Cozzo y Rodríguez, citados por Mendoza y Rava (2009), indican que los *Eucalyptus* tienen tejido fibroso constituido por fibras libriformes y fibrotraqueidas, que no presentan tabiques, ni contenidos celulares. En cuanto a las traqueidas, vasculares o vasicéntricas, esporádicamente se encuentran presentes, sin presencia de espesamientos espiralados.

Hillis (1978) indica que hay una alta correlación positiva entre la edad del árbol y la longitud de la fibra, su diámetro y el grosor que presenta la pared; además, la distancia desde la médula genera una influencia mayor en el largo de la fibra en comparación a la altura en el árbol; en las fibras la longitud, el diámetro y el grosor van en aumento a medida que aumenta la

edad de los *Eucalyptus*, siendo el máximo entre los 10 y 30 años dependiendo de la variedad.

En el mismo trabajo estos autores recolectaron información en Sudáfrica donde observan en *Eucalyptus grandis* que el largo de fibra aumenta de 0,69 a 1,05 mm, desde la médula a 12 cm de radio (árboles de 15 años), el diámetro también aumenta desde la médula hasta la periferia. Mediciones en Zambia (no se especifica edad) muestran un aumento en la longitud pasando de 0,87 a 1,01 mm partiendo desde la médula; a una alta tasa de crecimiento la fibra presenta una longitud menor en 0,036 mm comparada con una tasa de crecimiento baja, donde no se especifica si estas diferencias son significativas (Hillis, 1978).

Según Tomazello Filho (1985), el *Eucalyptus grandis* presenta fibras libriformes y fibrotraqueidas, en que el ancho varía entre 17,0 a 33,5 μm , con promedio de 23,0 μm . El mismo autor considera las fibras cortas, con una media de 1,2 mm, variando entre 0,89 a 1,52 mm, el grosor promedio de la pared es de 5,4 μm (varía de 5,0 a 6,0 μm) y el diámetro promedio del lumen es de 12,2 μm (entre 7,0 y 23,5 μm).

Malan (1995) encontró un rápido aumento del diámetro, longitud y espesor de la pared de la fibra, a medida que se aleja desde la médula. El mismo autor también encuentra que la altura del árbol tiene un bajo efecto sobre la longitud de la fibra y, con respecto al diámetro de la fibra, este aumenta cuándo la altura del árbol es mayor, hasta alcanzar la altura media del árbol y disminuyendo posteriormente. Por otra parte, en el mismo estudio se observa que a medida que se reduce el diámetro del lumen de las fibras, aumenta el espesor de la pared celular, otorgándole una mayor densidad; además, concluye que, a mayor volumen de vasos, menor es el volumen de fibras, y consecuentemente, menor la densidad. A continuación, son presentados en el Cuadro N° 1 datos promedios de dimensiones para *E. grandis*.

Cuadro N° 1: Dimensiones de fibras.

Dimensión	Arango (2009)	Mendoza y Rava (2009)	Monteoliva et al. (2015)
Longitud μm	1030	918,14	---
Ancho μm	20,99	---	19,73
Diámetro μm (lumen)	9,58	6,05	13,00
Espesor μm (pared)	5,70	1,94	3,21
Edad años	--- *	8	Árboles adultos **

Fuente: elaborado con base en Arango (2009), Mendoza y Rava (2009) y Monteoliva et al. (2015).

* En el estudio no se presenta información de las edades de los individuos que trabajaron.

**En el trabajo no se brinda edad exacta sobre la edad de los árboles.

El estudio realizado por Monteoliva et al. (2015), para las especies de *E. grandis*, *E. viminalis* Labill. y *E. globulus* Labill., muestra que la primera fue la especie con las fibras de mayor tamaño, considerando el espesor de la pared, ancho y diámetro del lumen, entre 1,4 y 1,6 veces superior comparado a las otras especies.

Ramos et al. (2011), en el Cuadro N° 2 se muestra los datos presentados por este autor, donde junto a su equipo no encuentran una variación clara en las dimensiones de fibras en el sentido médula hacia corteza, tanto para el diámetro total de la fibra como para diámetro del lumen. Por otro lado, para longitud de fibra y espesor de pared, los autores observan valores más bajos hacia la zona de la médula, aumentado en dirección a la corteza.

Cuadro N° 2: Dimensiones de las fibras en tres zonas de la madera.

	Zona Interna	Zona Intermedia	Zona Externa
Diámetro total de fibra (μm)	20,24 a	21,13 a	19,81 a
Diámetro del lumen de fibra (μm)	13,98 a	14,08 a	11,18 a
Espesor de pared de fibra (μm)	3,13 b	3,53 ab	4,31 a
Longitud de fibra (μm)	950,53 b	1076,09 ab	1148,15 a

Fuente: tomado de Ramos et al. (2011).

Letras diferentes corresponden a diferencias estadísticamente significativas con una probabilidad del 95%.

Dutt y Tyagi (2011) estudiaron árboles de 4 años de edad para dos orígenes distintos dentro de la India, en el cuadro N° 3 se muestran los datos, para ambos orígenes.

Cuadro N° 3: Características morfológicas de las fibras.

Especie	Origen	Largo de fibra (μm)	Ancho de fibra (μm)	Espesor de pared celular (μm)	Diámetro del lumen (μm)
<i>E. grandis</i>	Bhadrachalam	1060 \pm 0,06	19,21 \pm 1,2	3,20 \pm 0,7	12,20 \pm 3,2
<i>E. grandis</i>	Saharanpur	920 \pm 0,8	20,12 \pm 1,0	2,80 \pm 0,5	14,32 \pm 3,2

Fuente: tomado de Dutt y Tyagi (2011).

2.2.3 Vasos leñosos

Villegas y Rivera (2002) señalan que la sección transversal en *Eucalyptus grandis* presenta una porosidad difusa, donde se puede llegar a observar alineaciones de hasta 15 vasos; muchas veces se encuentran de forma solitaria, pero también agrupados, siendo los de menor diámetro circulares a ovales.

Mendoza y Rava (2009) citaron a Cozzo y Rodríguez, describen para *Eucalyptus* una porosidad difusa, en algunas especies son circulares incipientes; la disposición de los vasos va desde solitarios a múltiples cortos, pero no es común encontrarlos agrupados, teniendo una sección oval; las perforaciones en los elementos de vasos son simples, con apéndices cortos o ausentes, tabiques con una leve inclinación, pero sin espesamientos espiralados. Las puntuaciones intervasculares varían en tamaño de pequeñas a medianas, formas circulares u oblongas, que pueden ser alternas y presentar aberturas en el interior circulares o elípticas.

Los vasos tienden a aumentar su diámetro a medida que se aleja de la médula, pero su frecuencia disminuye; adicionalmente, en árboles jóvenes de *Eucalyptus grandis*, cerca del cambium se observan valores máximos en cuanto a las dimensiones radiales (Hillis, 1978).

Según Tomazello Filho (1985) en *Eucalyptus grandis* los vasos son poco numerosos, pueden tener áreas donde la alineación es oblicua, dispersa y aislada; con respecto al diámetro tangencial, este llega a variar desde los poros más pequeños (53 μm) a los medianos (161 μm), tienen forma oval y circular, donde hay una única perforación en los elementos vasculares.

Los vasos pueden verse a simple vista, su disposición es diagonal y difusa, siendo un 97% solitarios y el restante múltiples de dos, siendo comúnmente de forma oval (Arango, 2009).

Cuadro N° 4: Dimensiones de vasos según diferentes autores.

Dimensiones	Hillis (1978)	Tomazello Filho (1985)	Villegas y Rivera (2002)	Mendoza y Rava (2009)	Arango (2009)	Monteoliva et al. (2015)
Edad	--- *	10 años	Árboles adultos **	8 años	--- *	Árboles adultos **
Frecuencia	5 – 7 mm ⁻²	7 mm ⁻²	10,5 mm ⁻²	9,95 mm ⁻²	9 – 14 mm ⁻²	14,43 mm ⁻¹
Diámetro de vasos	---	111 µm	88 µm	110,6 µm	106 µm	115,46 µm
Longitud de vasos	0,42 – 0,45 mm	---	---	314,58 µm	336,19 µm	---

Fuente: elaborado con base en Hillis (1978), Tomazello Filho (1985), Villegas y Rivera (2002), Mendoza y Rava (2009), Arango (2009) y Monteoliva et al. (2015).

* En el estudio no se presenta información de las edades de los individuos que trabajaron.

**En el trabajo no se brinda edad exacta sobre la edad de los árboles.

Ramos et al. (2011) no encuentran diferencias significativas ($p < 0,05$) entre las posiciones radiales para el diámetro medio de los vasos en el corte tangencial, aunque se evidencia un aumento desde la médula a corteza. Para las tres zonas —interna, intermedia y externa— los mismos autores encuentran valores, en µm, de 121,72, 135,31 y 133,47, respectivamente.

E. grandis se caracteriza por tener vasos más grandes con relación a su área individual cuando comparado a *E. globulus* y *E. viminalis* (1,4 – 1,6 más grande); la frecuencia también fue considerada mayor comparado a las otras especies, llegando a ser hasta el doble, disminuyendo la distancia entre los vasos, hasta 1,5 veces menor (Monteoliva et al., 2015).

2.2.4 Parénquima axial

Las células parenquimáticas presentan paredes delgadas y lumen de gran tamaño, en donde se da el almacenamiento de sustancias de reservas y muchas veces rodea o pasa por los poros, teniendo un color claro y textura blanda (Tuset y Durán, 2008). Para *Eucalyptus grandis*, el parénquima puede pasar de escaso a abundante, en que el parénquima paratraqueal es el de mayor predominio, unilateral y vasicéntrico (Villegas y Rivera, 2002).

Cozzo y Rodríguez, citado por Mendoza y Rava (2009), describen que “los *Eucalyptus* poseen parénquima vertical paratraqueal escaso hasta abundante, y algunas veces también confluentes; además poseen apotraqueal difuso y/o reticulado. Pueden existir simultáneamente ambos tipos principales. Son series parenquimáticas (serie axial de dos o más células de parénquima derivados de una única célula fusiforme del cambium)”.

2.2.5 Radios leñosos

Para la especie *E. grandis*, los radios pueden ser uniseriados, con células de forma rectangular pero verticalmente alargadas, lineales y suelen ser angostos; cuando las células tienen una forma isodiamétrica, bulbosas, se consideran radios biseriados, los que se encuentran en menor proporción, mientras que la proporción de los triseriados es casi nula; los radios se forman preferentemente por células procumbentes, algunas veces con una hilera marginal procumbente pero de una altura mayor, y las paredes suelen estar inclinadas entre las células (Villegas y Rivera, 2002). En el Cuadro N° 5, se presenta rango (entre paréntesis) y promedio para radios por número de células.

Cuadro N° 5: Datos para radios medidos según número de células.

Dimensiones	Villegas y Rivera (2002)
N° radios/ mm	14 (9-24)
Altura radios (n° células)	8,5 (1-27)
Altura máxima radios (n° células)	22 (18-27)
Altura porción multiseriada (n° células)	2 (1-6) La mayoría 1
Altura máxima porción multiseriada (n° células)	(6)
% uniseriados	(67-70,6)
% biseriados	(29,1-33)
% triseriados	(0-0,3)

Fuente: adaptado de Villegas y Rivera (2002).

Arango (2009) explica que el parénquima radial es visible mediante lente (10x), de tipo homocelular, compuesto por células procumbentes, y uniseriado predominantemente, pero en raras ocasiones se observa el tipo biseriado; el ancho varía desde 13,96 – 19,12 μm . En el cuadro N° 6 se presentan datos de tres autores sobre los radios.

Cuadro N° 6: Comparación de datos correspondientes a los radios.

Dimensiones	Mendoza y Rava (2009)	Sánchez (2012)	Arango (2009)
Altura	228,2 μm	130 – 360 μm	0,16 mm
Altura n° células	10,78	---	6 a 21
N° radios/ mm	12,57	10	15
Edad	8 años	6 años	--- *

Fuente: elaborado con base en Mendoza y Rava (2009), Sánchez (2012) y Arango (2009).

* En el estudio no se presenta información de las edades de los individuos que trabajaron.

2.2.6 Proporción de los tejidos

El trabajo realizado por Monteoliva et al. (2015), plantea el porcentaje de tejidos, así como diferentes variables para tres especies de *Eucalyptus*, para *grandis* y *viminalis* la edad de estudio fue a los 14 años, mientras que, *globulus* varió su edad en el rango de 11 a 15 años. A continuación, se presentan en el Cuadro N° 7 y la Figura N°1, los datos correspondientes al estudio.

Cuadro N° 7: Promedio para diferentes tejidos en *Eucalyptus* plantados en Argentina.

VARIABLES	<i>E. grandis</i>	<i>E. viminalis</i>	<i>E. globulus</i>
F mm ²	0,073 b \pm 0,005	0,074 b \pm 0,009	0,053 a \pm 0,002
V mm ²	0,002 a \pm 0,001	0,002 a \pm 0,000	0,002 a \pm 0,001
R mm ²	0,006 a \pm 0,001	0,011 b \pm 0,003	0,012 b \pm 0,003
Densidad g.cm ⁻³	0,421 a \pm 0,02	0,665 c \pm 0,05	0,550 b \pm 0,04

Fuente: tomado de Monteoliva et al. 2015. F: área y porcentaje de fibras, R: área y porcentaje de radios, V: área y porcentaje de vasos, TV: porcentaje traqueidas vasicéntricas. Las diferentes letras muestran diferencias significativas entre las especies según test de Tuckey ($p < 0,05$).

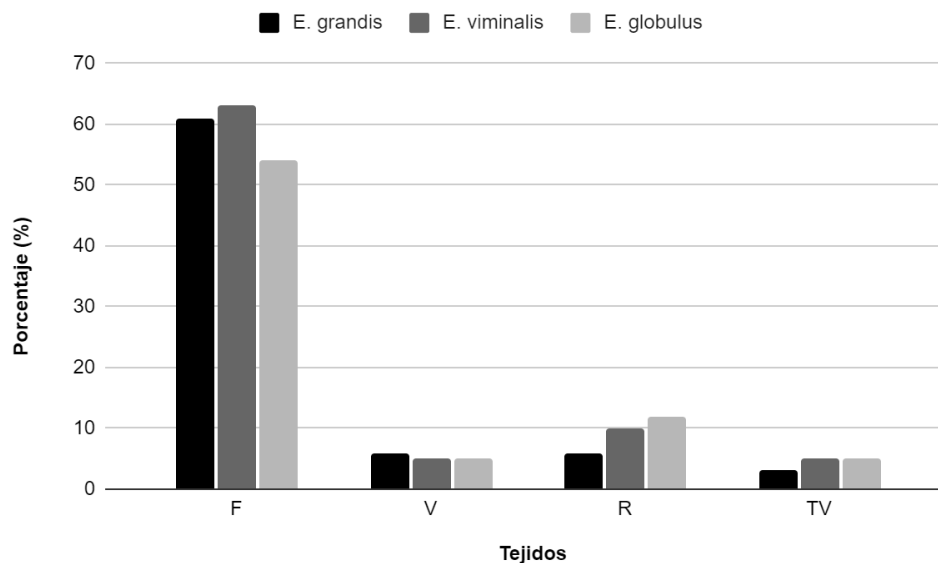


Figura N° 1: Porcentaje de tejidos de la madera para tres especies de Eucalyptus cultivadas en Argentina.

Fuente: adaptado de Monteoliva et al. (2015). F: área y porcentaje de fibras, R: área y porcentaje de radios, V: área y porcentaje de vasos, TV: porcentaje traqueidas vasicéntricas.

2.3 DENSIDAD

2.3.1 Generalidades

De acuerdo con Coronel (1994), la densidad refleja cuánto por unidad de volumen corresponde al material leñoso, así como, qué parte de la madera es ocupada por el volumen de espacios vacíos; en términos generales, es la relación entre la masa (en gramos) y el volumen (en cm³) de un cuerpo:

$$\text{Densidad} = \rho = \frac{m}{v} \text{ (g/cm}^3\text{)}$$

La densidad de la madera es una característica compleja, debido a que el tejido se forma por diferentes tipos de células, las que varían en diámetro, espesor de la pared, longitud y cantidad de extractivos, condicionado a la interacción de la especie con el medio ambiente (Hillis, 1978).

Se ve influenciada por el tipo y cantidad de madera. Por ejemplo, cuando mayor es el porcentaje de madera de verano (leño tardío), mayor la

densidad, debido a que este tipo de madera presenta paredes celulares más gruesas; también varía con el tamaño de las células, siendo que las de menores dimensiones resultan en una densidad superior (González y Lago, 2006), debido a la menor proporción de lumen.

Muchas propiedades, así como procesos de conversión, como son el aserrado, fabricación de papel, tiempo de secado, encolado, acabado están influenciados por la densidad de la madera; si bien es un buen indicador, no siempre se relaciona de forma directa con la rigidez, tenacidad y resistencia que presenta una madera (Hillis, 1978). Por otro lado, la densidad presenta una gran importancia en la resistencia al rompimiento del papel (Zobel y Talbert, 1994).

2.3.2 Densidad Aparente

En la madera la densidad aparente relaciona el peso de la muestra y el volumen total de ella, en que se incluye al volumen total de los poros que la integran, y las mediciones de peso y volumen se realizan bajo las mismas condiciones de humedad (Coronel, 1994).

Para maderas más livianas la densidad aparente varía entre 0,1 y 0,3 g/cm³, en cambio para maderas más pesadas los valores están entre 1,2 a 1,4 g/cm³ (Coronel, 1994).

2.3.3 Densidad Aparente Básica

La densidad aparente básica, también denominado DAB, corresponde a la relación peso seco (g o kg) y volumen verde (cm³ o m³):

$$DAB = \frac{P_{seco}}{V_{verde}} \text{ (g/cm}^3\text{) ó (kg/m}^3\text{)}.$$

Coronel (1994) fundamenta la utilización de este tipo de densidad debido a que es difícil obtener un valor exacto para el volumen a 0% de humedad, dado que una vez que se extrae de la estufa la madera seca, es inevitable que la misma empiece a adquirir humedad por parte del medio ambiente, generando cambios en el volumen y peso.

Einspahr et al., citado por Caraballo (2006), afirma que la densidad aparente básica de la madera tiene un efecto importante sobre el rendimiento y la calidad del producto final, siendo una de las propiedades de la madera más importante.

Por otra parte, en otro trabajo para la Mesopotamia Argentina, se estudiaron árboles de diferentes edades provenientes de dos zonas

agroecológicas: la denominada zona 1 (Misiones Norte-Alta) y la zona 2 (Misiones Sur-NE de Corrientes); la zona 1 contenía una densidad de plantación superior al inicio; esto no se relaciona con la densidad básica, sin embargo las relaciones importantes se dieron con otras variables del rodal, es el caso de la edad, la cual presentó un valor de $R=0,753$, altura dominante $R=0,723$ (Winck et al., 2014).

Los valores de DAB para *Eucalyptus grandis*, se presentan en el Cuadro N°8. Los datos corresponden a árboles de diferentes edades; Mendoza y Rava (2009) utilizaron árboles de 8 años, 14 años fue el caso del estudio de Monteoliva et al. (2017), la mayor variación de edades fue presentada por Winck et al. (2014), donde el rango de edades se extiende desde los 4 a los 32 años. Para Bianchi y Dibarboure (1993) no se informa la edad de los individuos.

Cuadro N° 8: Valores promedio de densidad aparente básica (DAB).

Densidad	Monteoliva et al. (2017)	Mendoza y Rava (2009)	Winck et al. (2014)	Bianchi y Dibarboure, (1993)
Densidad Aparente Básica	0,517 gr/cm ³	0,436 gr. cm ⁻³	0,454 gr/cm ³ (Zona 1) 0.491 gr/cm ³ (Zona 2)	0,055 – 0,162 gr/ cm ³

Fuente: elaborado con base en Monteoliva et al. (2017), Mendoza y Rava (2009), Winck et al. (2014), Bianchi y Dibarboure (1993).

Monteoliva et al. (2015) comparan la densidad básica para las especies *E. grandis*, *E. viminalis*, de 14 años y *E. globulus* con árboles con edades entre 11 y 15 años, encontrando la DAB del *E. grandis* 1,6 veces menor comparado al *E. viminalis* y 1,3 veces menor que la del *E. globulus*. Los valores para las tres especies se observan en el Cuadro N° 9.

Cuadro N° 9: Densidad Básica para tres especies.

	<i>E. grandis</i>	<i>E. viminalis</i>	<i>E. globulus</i>
Densidad Básica g.cm ⁻³	0,421 a ±0,02	0,665 c ±0,05	0,550 b ±0,04

Fuente: tomado de Monteoliva et al. (2015).

2.4 COEFICIENTES DE POTENCIAL EN LA ESPECIE

Para Mantero et al. (2008) en la producción de celulosa encontramos relaciones de las medias de aquellas medidas de fibras que tienen gran importancia. Estas medidas llegan a tener una inferencia sobre las propiedades de la pulpa utilizada para papel, así como, generar la posibilidad de identificar una madera (Bocage y Ulery, 2005).

Los indicadores son conocidos como factor o relación de Runkel, coeficiente de flexibilidad, coeficiente de rigidez (también se lo denomina índice de entrelazamiento o relación de esbeltez), fracción de pared, relación del largo de fibra y el espesor de la pared celular y factor de forma de Luce. A continuación, se presenta el cálculo para cada uno de ellos:

- Factor de Runkel: se determina como el espesor de pared de la fibra dos veces sobre el diámetro del lumen. $FR = 2EPC/DL$;
- Coeficiente de flexibilidad: es la relación que se da entre el diámetro del lumen y el ancho de fibra. Se expresa en porcentaje. $CFL = (DL/AF) * 100$;
- Coeficiente de rigidez o fieltabilidad: es el cociente presentado entre largo y ancho de la fibra. $IE \text{ ó } L/A = LF/AF$;
- Fracción de pared: es el espesor de pared de la fibra sobre el radio de la fibra, expresado en porcentaje. $FP = (EPF/(AF/2)) * 100$;
- Relación de largo de fibra y espesor de pared celular. $L/E = LF/EPC$.

Por otra parte, Baldin et al. (2017), difieren en el concepto presentado por Mantero et al. (2008) para la relación de fibra y espesor de pared celular, en este caso sustituyeron por factor de forma de Luce, el cual se calcula como $(AF^2 - DL^2) / (AF^2 + DL^2)$, dominando AF (ancho de fibra) y DL (diámetro del lumen de la fibra).

Gonçalez et al., citado por Baldin et al. (2017), observan que el factor Runkel y la fracción de pared, están fuertemente relacionados con la firmeza de las fibras, cuanto mayor es este valor las fibras se vuelven más rígidas, afectando las propiedades de resistencia del papel. En especies latifoliadas, altos factores de Runkel y proporción de pared, así como, bajos coeficientes de flexibilidad generan fibras poco flexibles al momento de la formación de papel; se ven afectadas aquellas propiedades dependientes de la unión entre las fibras (reventamiento y resistencia a la tracción), sin embargo, se mejora la resistencia al rasgado (Mantero et al., 2008).

El coeficiente de flexibilidad hace referencia al grado de facilidad entre la unión de las fibras. Según Bektas et al., citado por Baldin et al.

(2017), se clasifican como fibras flexibles cuando los valores se encuentran entre 0,50 y 0,75.

A continuación, en el cuadro N°10, se presentan los índices de calidad para pasta de celulosa y papel, para árboles de 5 años de edad.

Cuadro N° 10: Índices de la calidad de la madera para la producción de pasta y papel.

Especies	Índice de Runkel	Fracción de pared (%)	Coef. de flexibilidad	Coef. de rigidez	Factor de forma de Luce
<i>E. grandis</i>	0,76 ± 0,25 (32,83)	41,99±7,90 (18,81)	0,58 ± 0,08 (13,62)	58,0 ± 9,18 (15,82)	0,50 ±0,10 (20,40)

Fuente: tomado de Baldin et al. (2017).

Dutt y Tyagi (2011) en un estudio realizado en India para *Eucalyptus grandis*, sostienen que, para esta especie con un origen en Saharanpur el índice de Runkel presenta un valor bajo, generando un efecto positivo en lo que refiere a la resistencia de tracción, al estallido, como también la resistencia al plegado; valores de Runkel por debajo de 1,0 está dado por fibras de paredes delgadas, con buenas propiedades de resistencia mecánica.

Por otro lado, para la misma especie, pero con un origen diferentes (Bhadrachalam), las fibras tienen una pared celular más gruesa, menos anchas y con un largo mayor comparado al otro origen (Saharanpur), por lo cual se da una alta relación de Runkel y baja flexibilidad, provocando efecto negativo en cuanto a la resistencia mecánica que presenta en la pulpa (Dutt y Tyagi, 2011)

En el cuadro N° 11 se muestran los datos de *E. grandis* para dos orígenes distintos dentro de India, donde los individuos fueron cortados a una edad de 4 años.

Cuadro N° 11: Características morfológicas de las fibras para dos orígenes.

Especie	Origen	Índice de Runkel	Coef. de flexibilidad	Coef. de rigidez
<i>E. grandis</i>	Bhadrachalam	0,52	0,66	0,33
<i>E. grandis</i>	Saharanpur	0,40	0,72	0,28

Fuente: elaborado en base a Dutt y Tyagi (2011).

En la producción de pulpa y papel algunas propiedades deben encontrarse dentro de un rango para lograr una pulpa de calidad. Villaseñor y Rutiaga (2000), llegan a formar la clasificación para el índice de Runkel, coeficiente de flexibilidad y coeficiente de rigidez. Estos valores de referencia se exponen en los Cuadros N° 12, 13 y 14, respectivamente.

Cuadro N° 12: Rango de referencia para el índice de Runkel.

GRADO	RANGO	CLASIFICACIÓN
I	<0,25	Excelente
II	0,25 – 0,50	Muy buena
II	0,50 – 1,00	Buena
IV	1,00 – 2,00	Regular
V	>2,00	Mala

Fuente: elaborado en base Villaseñor y Rutiaga (2000).

Cuadro N° 13: Clasificación y efectos del coeficiente de flexibilidad.

RANGO	GROSOR DE PARED	CARACTERÍSTICAS
< 0,30	Muy gruesa	No hay colapso de las fibras. Muy poca superficie de contacto generando una pobre unión fibra-fibra.
0,30 – 0,50	Gruesa	Muy poco colapso de las fibras. Poca superficie de contacto, al igual que la unión fibra-fibra.
0,50 – 0,65	Media	Igual a la caracterización anterior
0,65 – 0,80	Delgada	Hay un colapso parcial de las fibras. Superficie de contacto buena junto a una buena unión fibra-fibra
>0,80	Muy delgada	Hay colapso de las fibras. La superficie de contacto y la unión fibra-fibra es buena.

Fuente: elaborado en base Villaseñor y Rutiaga (2000).

Cuadro N° 14: Clasificación del coeficiente de rigidez.

RANGO	GROSOR DE LA PARED
$>0,70$	Muy gruesa
$0,70 - 0,50$	Gruesa
$0,50 - 0,35$	Media
$0,35 - 0,20$	Delgada
$<0,20$	Muy delgada

Fuente: elaborado en base Villaseñor y Rutiaga (2000).

3 MATERIALES Y MÉTODOS

3.1 HISTORIAL DE PLANTACIÓN

El trabajo fue realizado en base a una plantación de *Eucalyptus grandis* y *Eucalyptus smithii* RTBaker. El predio está ubicado sobre camino el Paso María Eugenia en el departamento de Rocha, en la zona Este del país.

Los árboles de *E. grandis* se plantaron durante el año 2008, la edad al momento de la cosecha era de 11 años, la misma se realizó a finales de 2019. El marco de plantación fue de 6,65 m x 2,28 m.

El predio está ubicado sobre los grupos CO.N.E.A.T.¹ 2.12 y 2.21 (MGAP. RENARE, 2020), donde el primer grupo ocupa una superficie mayor y contiene casi la totalidad de los rodales de *E. grandis*. Este grupo es clasificado de prioridad forestal, el cual se caracteriza por tener un índice de productividad de 83, y forma parte de la unidad Sierra de Polanco.

Según MGAP (2020), son sierras no rocosas, con un relieve que va desde ondulado a ondulado fuerte. La pendiente varía entre 5 a 15%. Se compone de suelos Brunosoles Subéutricos Háplicos y Típicos, superficiales y moderadamente profundos, arenosos francos y francos, y a veces suelen ser arenosos franco gravillosos. Dentro de los suelos asociados se encuentran Litosoles Subéutricos Melánicos y Brunosoles Subéutricos Lúvicos.

Por otra parte, el grupo 2.21 se encontraba sobre una menor proporción en la plantación, y este grupo no es considerado de prioridad forestal. Su índice de productividad es 105, son suelos Brunosoles Lúvicos, francos y Argisoles Subéutricos Melánicos Abrúpticos, siendo los primeros ubicados sobre las laderas convexas o planas, mientras que, los Argisoles corresponden a las zonas altas y suaves de los interfluvios. Presentan relieves denominados colinas, con pendiente de 6 a 12% (MGAP, 2020).

3.4 SELECCIÓN A CAMPO

El muestreo a campo consistió en obtener 10 árboles donde se extrajeron dos trozas por árbol, con el objetivo de lograr individuos que presentaran una mayor representatividad en cuanto a la parcela. Se buscó homogeneizar aquellas propiedades físicas, específicamente la densidad aparente básica.

Inicialmente se obtuvieron datos generales sobre la plantación y se realizó una selección de 100 individuos, mediante requerimientos de calidad: sin presencia en la cercanía de árboles deprimidos, rectitud de fuste y una formación de copa buena. Se trató de evitar aquellos árboles con un

crecimiento acelerado o reducido y buenas condiciones sanitarias, seleccionando árboles con valores de DAP cercanos al promedio de la población muestreada.

Siguiendo con el proceso, se clasificaron y seleccionaron 10 árboles representativos. Se realizó una estimación de la densidad mediante la penetración a la altura del pecho (1,3 m) con un Pilodyn en los 100 individuos preseleccionados, siempre se optó por mantener la misma ubicación, al momento de utilizar el instrumento. Seguido a este paso, se hicieron cálculos del promedio (μ) y desvío estándar (ρ) de los datos obtenidos con el Pilodyn, seleccionando aquellos 10 árboles encontrados dentro de un acotado rango a $\mu \pm \rho$, siendo eliminados los árboles ubicados por fuera del rango.

Como último paso, de esos 10 árboles seleccionados se enviaron al Laboratorio Tecnológico del Uruguay (LATU) una troza por cada árbol de una altura entre 2 a 2,5 metros desde la base (Anexo No. 1).

3.4 CONFECCIÓN DE PROBETAS

De cada árbol fueron extraídas dos rodajas, una a 1,30 m (DAP) y otra a los 2 m (API). Se identificaron zonas con presencia de nudos, rajaduras y médula, a fin de garantizar la extracción de probetas libres de defectos.

De cada rodaja fueron extraídas dos probetas (principal y duplicado), para los análisis de densidad, anatomía y macerado. Cada probeta fue fraccionada en cuatro partes, denominadas A1, B1, C1 y D1 para la probeta principal y A2, B2, C2 y D2 para las del duplicado (Anexo No. 2); estas partes corresponden al 25%, 50%, 75% y 100% del radio, respectivamente, en sentido desde la médula hacia la corteza. Desde estas probetas se extrajo de uno de los lados una lámina no mayor a 0,5 cm donde se marcaron las cuatro fracciones, correspondiendo a la muestra a utilizar en los macerados.

3.3.1 Determinación de la densidad aparente básica

Previo a tomar las medidas, las probetas fueron colocadas en un recipiente con agua hasta estar totalmente sumergidas, agregándole peso para que las mismas no flotarán, permitiendo así ser impregnadas hasta lograr su saturación. Las muestras se dejaron en agua por un período de algunas semanas, realizándose el cambio del líquido cada dos o tres días aproximadamente para impedir su descomposición.

Para la determinación de la densidad se consideró el principio de Arquímedes, donde se establece que un cuerpo sumergido totalmente en un fluido es capaz de desplazar un volumen de fluido equivalente a su propio volumen (Hecht, 1998). Sabiendo que la densidad del agua corresponde a 1 g/cm³, se determina que el volumen saturado para cada muestra es igual al valor de la masa registrada en la balanza.

A continuación, se listan los equipos utilizados para determinar Densidad Aparente, se utilizó la norma Tappi T258om-02 "Basic density and moisture content of pulpwood (Tappi, 2006).

Para peso sumergido:

- Balanza con pesada inferior. Mettler toledo PG5002-Delta Range;
- Estanque con agua;
- Mordazas para sujetar las probetas;
- Pesa para hacer sumergir las probetas.

Para peso anhidro:

- Estufa con aire forzado: Estufa Tabai o Estufa Yamatto DK600;
- Balanza de precisión: Mettler toledo PG503-S con precisión 1E-3 g;
- Balanza de precisión: Mettler toledo PG5002-Delta Range con precisión 1E-2 g para el rango hasta 0 – 1000 g y 0,1 g para el rango 1000 – 5000 g.

3.3.2 Obtención de peso sumergido

Para lograr la medición del peso sumergido se colocó una pinza sujeta a la balanza y suspendida en el agua. Una vez que la estructura se acondicionó, se procedió a tarar la balanza. En cada ocasión en que una sub probeta era colocada en la pinza para ser pesada, se eliminaba el exceso de agua superficial con un paño húmedo, para evitar sobreestimaciones. Luego, se registraba el valor de peso sumergido cuando el valor numérico quedaba estable en el display de la balanza. Este proceso fue realizado dos veces para cada subprobeta.

3.3.3 Obtención de peso saturado

Para la determinación del peso saturado se volvió a tarar la balanza, sin tener en cuenta la pinza suspendida, debido a que se utilizaba el platillo superior de la balanza para colocar la subprobeta saturada, previa eliminación del agua superficial. Al igual que el peso sumergido, se registraron dos valores por cada subprobeta.

3.3.4 Obtención de peso anhidro

Por último, se determinó el peso anhidro (Pa), el cual corresponde al peso con un contenido de humedad del 0%. Las muestras fueron colocadas en una estufa a temperatura controlada y de aire forzado a una temperatura de 105 ± 3 °C, por un periodo de tiempo que permitió obtener dos valores de peso con dos horas de diferencia y que no presentara diferencias significativas mayores a 0,1%.

Finalizando el procedimiento se pasó a determinar la densidad aparente básica para cada muestra de árbol y subprobeta (A, B, C y D), la cual correspondió al cociente entre peso anhidro y volumen verde.

3.4 ESTUDIO ANATÓMICO

3.4.1 Preparados histológicos

Para cada árbol se obtuvo un total de cuatro probetas de forma cúbica, correspondiendo dos de ellas a la altura DAP —una interna cercana a la médula llamada “B”, otra exterior en la zona de la corteza denominada “D”— y las otras dos a la altura API (2m), Las probetas fueron identificadas, indicando número de árbol, altura correspondiente y sección, siguiendo la Norma COPANT (1974), citado por LPF (1991) “Normas de Procedimientos em Estudos de Anatomia da Madeira I-Angiospermae”. Las muestras fueron divididas a la mitad, obteniendo una porción denominada interna y otra externa. En el centro de ambas porciones se marcó en forma de cuadrado la parte que sería utilizada para sacar las probetas. Para este proceso se utilizaron sierra de arco, un machete y una pinza de presión.

Materiales para preparados anatómicos:

- Microtomo Slee Medical
- Microscopio Nikon Eclipse E100
- Safranina para tinción de gram
- Entellan ® nuevo
- Alcohol 70%
- Anafe eléctrico
- Hervidor acero inoxidable
- Pinza
- Pinceles de diferente grosor
- Portaobjetos
- Cubre objetos (20mm x 20mm)

Para realizar los preparados histológicos, fue necesario hervir durante 30 minutos cada probeta. Posteriormente se llevó al Microtomo para realizar los cortes, entre 20 - 30 μm , para los planos transversal y tangencial (Anexo No. 3).

Las láminas fueron impregnadas para su coloración en solución de safranina y alcohol al 70%; luego fueron lavadas en alcohol al 70% y se las colocó cada una en un portaobjeto.

Para el montado del preparado, se le agregó a las láminas una gota de Entellan® y se le adhirió un cubreobjeto (20mm x 20mm), ejerciendo presión un par de segundos para eliminar burbujas de aire (Anexo No.4). Por último, se identificaron los preparados histológicos correspondientes.

3.4.1.1 Observación de preparados anatómicos

Una vez realizados los preparados histológicos para todas las muestras de árboles con sus correspondientes cortes, transversal y tangencial, se pasó a realizar fotografías de las mismas.

Para esto se utilizó un Microscopio Nikon Eclipse E100 y la cámara y procesador Dino – Eye. Se colocaron los preparados correspondientes al corte transversal y se realizaron 25 fotos secuenciadas con aumento de 4X, procurando que cada una de ellas presentará al menos tres vasos. Posteriormente se continuó con aumento de 40X, para lo cual se realizaron 25 fotos abarcando todo el preparado desde todas las zonas; en este caso se procuró que cada foto contara con la presencia de al menos tres pares de fibras.

En el corte tangencial también se utilizó un aumento de 4X para el registro de presencia de radios y, al igual que en el corte transversal, se realizaron 25 fotos por preparado.

3.4.1.2 Procesamiento de datos

Las fotos fueron analizadas utilizando el programa ImageJ. En las fotografías de corte transversal con aumento de 4X, se midió el diámetro de forma perpendicular a los radios y el área para tres vasos en cada una de las fotografías. Luego, con aumento de 40X, se tomaron tres pares de fibras donde se midieron los diámetros en forma de cruz, área de las fibras y se agregó la medida del espesor entre las dos fibras, siendo este valor denominado 2E.

Para el corte tangencial a 4X, se realizaron dos líneas separadas de 1000 μm (1 mm) de largo cada una, y se contabilizó el número de radios presentes (frecuencia). En seguida, la misma imagen fue ampliada y se seleccionaron al azar tres radios para analizar su longitud y el número de células que los componen.

3.4.2 Macerados

Como último paso, se realizaron los macerados a partir de las láminas de 0,5 cm obtenidas de las subprobetas (Anexo No 5). Se tomaron algunos chips de madera, los cuales fueron colocados en tubos de ensayo debidamente identificados con el número de árbol al cual correspondía a la subprobeta.

Luego, a cada tubo le fue agregada una solución previamente mezclada la cual corresponde a peróxido de hidrógeno y ácido acético glacial, en proporciones iguales (Anexo No 6). Una vez completados todos los tubos de ensayo, se pasó a tapar con papel de aluminio y se dejó en estufa durante 48 horas a una temperatura de 56 °C.

Pasadas las 48 horas de cocción, cada tubo recibió un lavado con agua de forma muy suave para evitar la desintegración de los chips, dejando los mismos con agua. Luego, cada tubo, al momento de ser utilizado, fue agitado de manera muy sutil para lograr la desintegración de los chips, y con una pipeta digital se tomó una muestra de 0,1 ml y se la colocó en un portaobjeto.

Se tomaron fotos a través de Microscopio Nikon Eclipse E100, la cámara y procesador Dino- Eye, utilizando un aumento de 4X, obteniendo una cantidad considerada de fotos que permitieran observar un total de 25 fibras y vasos.

Por último, se midieron con procesador Dino- Eye el largo y ancho de fibra y el largo de vasos, transcribiendo los datos obtenidos de cada árbol y fracción de la lámina a un documento Microsoft Excel 2010.

3.4.3 Análisis de datos

Para los análisis estadísticos fueron utilizados los programas de estadística RStudio y RProject. Para un mismo individuo se analizaron variables continuas y de conteo, las cuales corresponden a dos alturas diferentes (DAP y API), algunas correspondientes a dos subprobetas (B y D) y otras a cuatro (A, B, C y D); por ende, se analizó la interacción entre la altura y la posición radial correspondiente.

Al hacer las medidas para un mismo individuo, los valores pueden verse influenciados por características del individuo, por lo cual es necesario eliminar del modelo dicho efecto. Por tal motivo, fue necesario agregar el efecto aleatorio "árbol" (ID).

Para las variables continuas donde se cumple el supuesto de distribución normal, en el análisis de varianza (ANOVA) se utilizó un modelo lineal mixto (MLMix). Para estas variables se realizaron estudios de homogeneidad de la varianza y test de normalidad. Por el contrario, en aquellas variables de conteo donde los supuestos de normalidad no se cumplen, se optó por un modelo lineal generalizado mixto (MLGM).

Cuando se encontraron diferencias significativas, es decir, cuando en el ANOVA el p-valor fue inferior a 0,05, se realizó test de media, para investigar en qué medida fueron esas diferencias, mediante análisis de Tukey, con nivel de confianza de 95% y α 5%. En los casos en que las diferencias se presentaban en uno o ambos efectos principales y en la interacción, sólo se consideró la significancia en la interacción.

3.4.4 Determinación de coeficientes de propiedad para la especie

Como última instancia se determinaron los coeficientes de propiedades de la pulpa y papel a continuación:

- Factor de Runkel;
- Coeficiente de flexibilidad;
- Coeficiente de rigidez;
- Fracción de pared;
- Factor de Luce.

Una vez obtenidos dichos valores, se comparó con literatura existente y su correspondencia con los valores aceptables para la producción de pulpa y papel.

4 RESULTADOS Y DISCUSIÓN

4.1 FIBRAS

Las fibras se caracterizaron como libriformes y carentes de septos (Figuras N°2 y N° 3). En el cuadro N° 15 se presentan los datos estadísticos para las variables estudiadas, incluyendo todas las subprobetas.

Esta caracterización coincide con la presentada por Tomazello Filho (1985), quien indica que la especie *E. grandis* está compuesta por fibras libriformes y fibrotraqueidas.

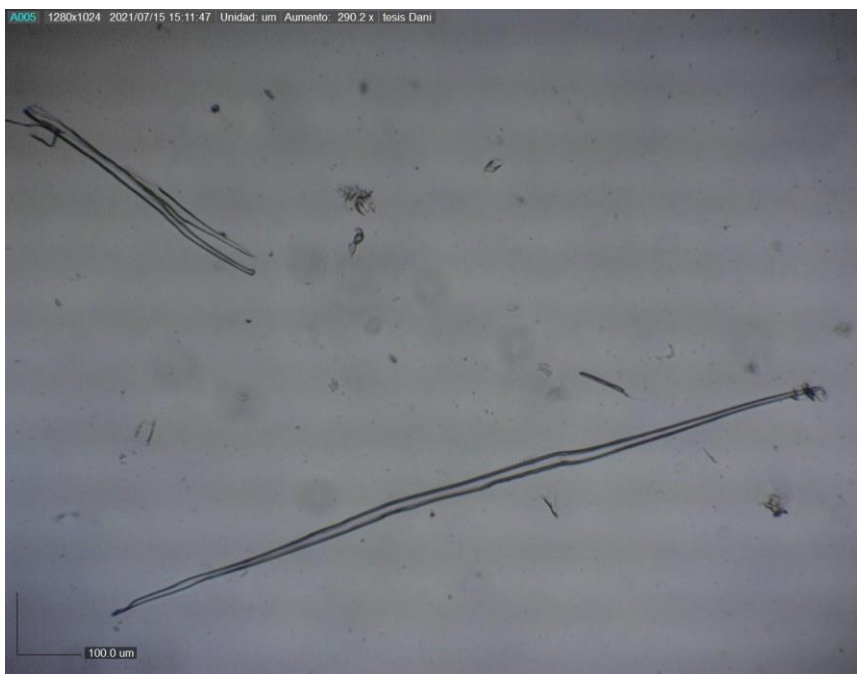


Figura N° 2: Preparado macerado de fibra.



Figura N° 3: Fibras en aumento 40X. Corte transversal.

Cuadro N° 15: Valores estadísticos para las variables estudiadas de las fibras.

Característica	Rango	Promedio	Desvío Estándar	Coefficiente de variación
Largo (μm)	321,79 - 1737,56	975,64	229,82	23,55%
Ancho (μm)	15,95 - 28,73	22,68	3,67	16,18%
Diámetro del lumen (μm)	9,92 - 13,77	12,35	0,99	8,01%
Área de la fibra (μm^2)	44,89 - 147,24	83,48	25,47	30,51%
Espesor de pared (μm)	1,52 - 2,04	1,75	0,12	6,85%

Los datos obtenidos en esta investigación fueron similares a los encontrados por Tomazello Filho (1985) para lumen y ancho de fibra, en individuos con edades similares. Sin embargo, los valores de espesor de pared celular fueron menores al encontrado por el mismo autor y similar a

los determinados por Mendoza y Rava (2009), estudio que fue realizado también en Uruguay, en una región diferente y marco de plantación distinto. Con respecto a longitud de fibra y diámetro del lumen, los valores fueron superiores a los indicados por Mendoza y Rava (2009), correlacionándose a lo estudiado por Hillis (1978), quien explica que a mayor sea la edad de los árboles, mayores serán los valores para longitud y diámetro del lumen de sus células.

Por otra parte, los datos de Dutt y Tyagi (2011) para individuos de 4 años de edad, son levemente superiores con respecto a la longitud de fibra e inferiores para ancho y diámetro de lumen en el origen Bhadrachalam y en el origen Saharanpur los promedios fueron inferiores. Para ambos orígenes, si bien se dieron valores inferiores en su mayoría, son relativamente altos para la edad que presentan los individuos (Mogliá et al., 2008). La excepción fue para el espesor de pared, que aunque los individuos tenían un tercio de la edad, presentaron fibras con la pared casi dos veces más espesa (Dutt y Tyagi, 2011).

Con respecto al análisis de los factores posición radial y altura, hubo diferencias significativas entre las alturas DAP y API para el área de fibra (p -valor=0,002174), siendo mayor el área de fibra a la altura de API, lo que puede ser explicado por la poca diferencia entre dichas alturas (aproximadamente 70 cm). Por otro lado, hubo diferencias significativas (p -valor<0,0001) para las variables diámetro del lumen y área de la fibra según posición radial, siendo los valores superiores encontrados en la zona más cercana a la corteza (zona D).

Esto se correlaciona a lo presentado por Malan (1995) para diámetro de lumen, donde explica que a medida que hay un alejamiento desde la médula existe un aumento del diámetro; sin embargo, el mismo autor indica que el lumen tiene un aumento a medida que se aumenta la altura del árbol, lo que no ha sido confirmado en el presente trabajo.

Ramos et al. (2011) no encontraron para el diámetro del lumen de la fibra variaciones claras en sentido médula – corteza; sin embargo, en el presente estudio se pudo comprobar diferencias significativas para el diámetro de lumen en cuanto a la posición radial, siendo superior en zona cercana a la corteza.

Para las variables ancho de fibra y largo de fibra, hubo interacción significativa (p -valor= 0,02213 y 0,5841, respectivamente) altura x posición radial (Figuras N° 4 y 5). Para el ancho de fibra (Figura N° 4) se observa un cambio de pendiente para la posición C, donde la media disminuye desde la altura API hacia DAP. Lo mismo ocurre para las posiciones C y D para el largo de fibra (Figura N° 5). Este efecto podría ser explicado dado que, hay una transición gradual desde la etapa juvenil hasta llegara la madurez, esta transición se observó desde los 5 hasta los 11 años Ramos et al. (2011), las posiciones C y D pueden ubicarse en las zonas de transición entre leño

juvenil y leño adulto, presentando una diferencia sensible entre las alturas DAP y API, aunque sea poca la diferencia entre ellas.

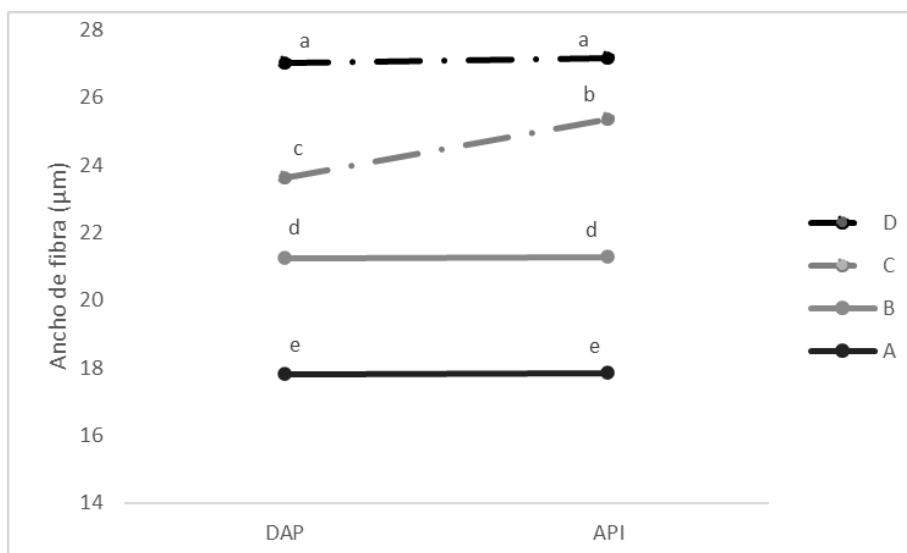


Figura N° 4: Gráfico de interacción Altura x Posición para ancho de fibra. Media ajustada (puntos negros). Letras diferentes denotan diferencias estadísticamente significativas (Tukey, $P < 0,05$). (Anexo No. 23 - 30).

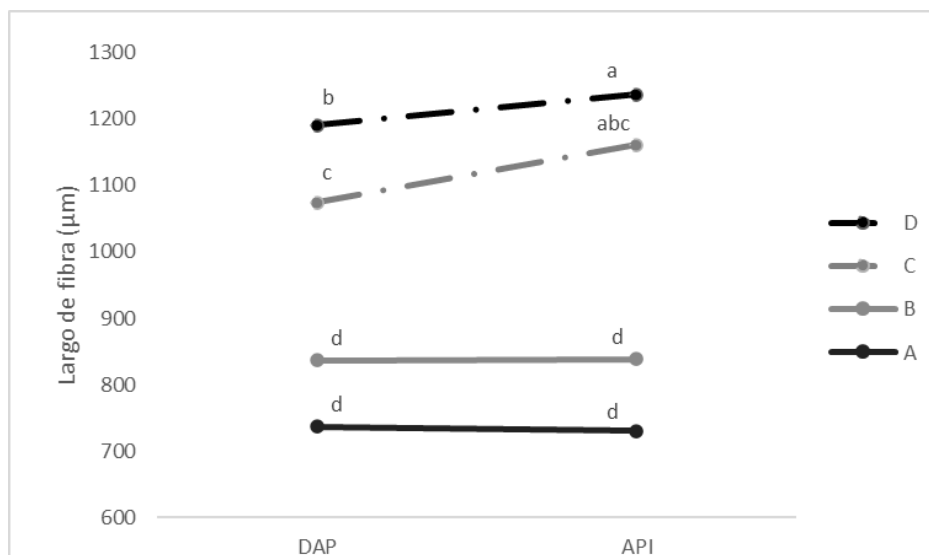


Figura N° 5: Gráfico de interacción Altura x Posición para largo de fibra. Media ajustada (puntos negros). Letras diferentes denotan diferencias estadísticamente significativas (Tukey, $P < 0,05$). (Anexo No. 15 - 22)

Malan (1995) y Ramos et al. (2011) coinciden en sus argumentos en cuanto a que las dimensiones de largo de la fibra y espesor de la pared crecen a medida que se alejan de la zona medular. Por otra parte, Malan (1995), indica que para el largo de fibra la altura del árbol tiene un bajo efecto. Los resultados de la presente investigación coinciden con lo presentado por Malan (1995) y Ramos et al. (2011) para largo de fibra, así como el efecto de la altura, mientras que se difiere respecto al espesor de pared, dado que no hubo diferencias significativas entre las posiciones radiales para esta variable.

Hillis (1978) sostiene que hay una correlación positiva para el largo y ancho de fibra al igual que el diámetro del lumen con la edad de los árboles; siendo que la distancia desde la médula influye más sobre el largo de la fibra que la altura de donde se extraen las muestras. En este estudio los árboles fueron los de más edad en comparación a los estudiados por otros autores, sin embargo, no se observa una diferencia importante entre las dimensiones. De hecho, los valores encontrados en India para árboles de 4 años son similares o mayores, lo que refuerza el posible efecto de la genética.

4.2 VASOS LEÑOSOS

Se identificaron vasos leñosos dispuestos de modo solitario, que presentan una forma oval, y porosidad difusa; las placas de perforación son simples, con bajo grado de inclinación, presentan un apéndice que varían en su longitud (Figuras N° 6 y 7). Esta descripción es similar a lo encontrado por Villegas y Rivera (2002) y Tomazello Filho (1985). A continuación, en el cuadro N° 16, se exponen los valores para vasos leñosos.

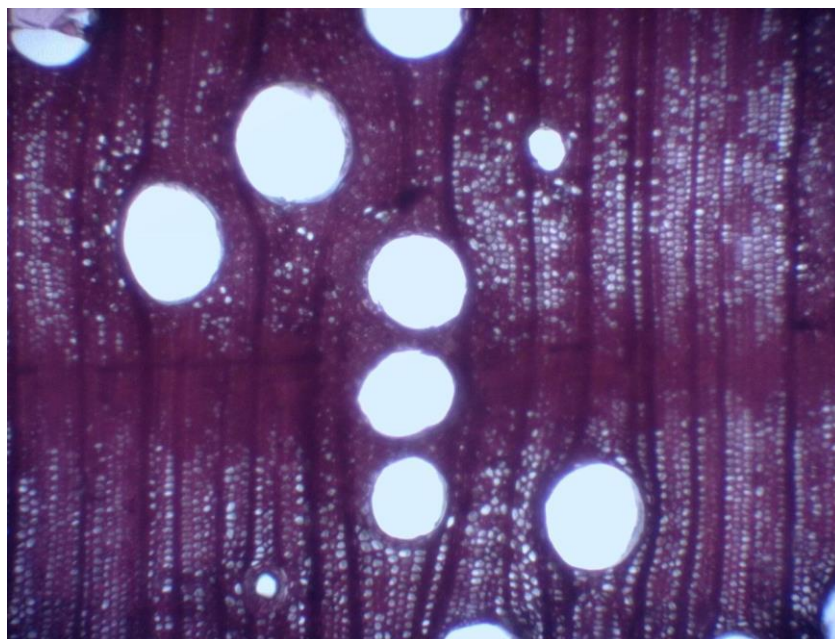


Figura N° 6: Vasos en aumento 4X. Corte transversal.

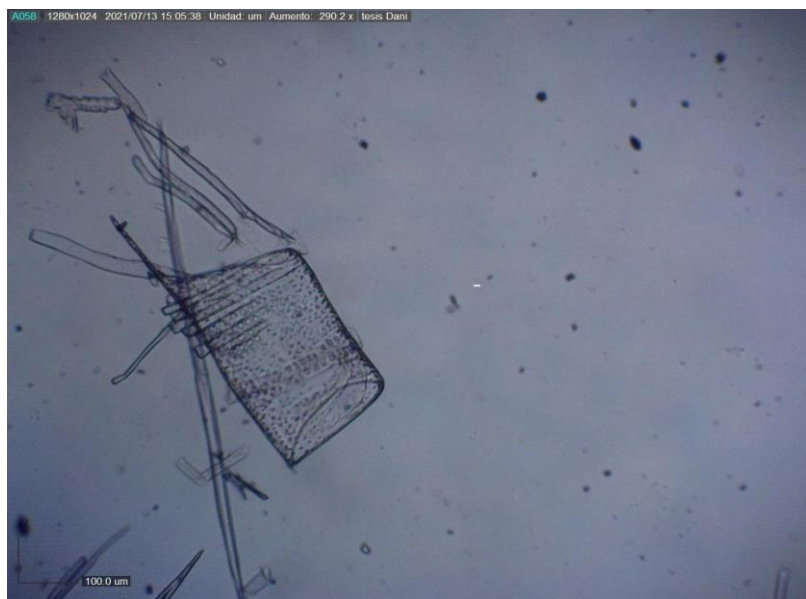


Figura N° 7: Preparado macerado de vaso leñoso. En la figura se observan la placa de perforación simple y un apéndice con un largo poco común para la especie.

Cuadro N° 16: Valores estadísticos para las variables medidas de los vasos leñosos.

Características	Rango	Promedio	Desvío Estándar	Coefficiente de variación
Diámetro tangencial (μm)	86,21 - 174,63	132,39	23,20	17,52%
Largo (μm)	178,04 - 559,51	390,08	82,71	21,20%
Frecuencia (n° vasos/ mm^2)	5,28 - 13,08	8,34	2,08	24,94%

Villegas y Rivera (2002) encontraron para *E. grandis* de edad avanzada, un diámetro tangencial promedio de 88 μm y frecuencia de 10,5 mm^{-2} . El diámetro tangencial se encuentra por debajo del resultado obtenido en este trabajo, mientras la frecuencia es levemente superior. Estas diferencias en los promedios pueden estar influenciadas por factores del sitio de cada zona estudiada. la zona del árbol que se tomó para estudiar, o bien vinculadas con respecto a la edad que consideran estos autores como árboles adultos.

Por otro lado, los valores encontrados para diámetro, largo y frecuencia son más similares, aunque todavía un poco mayores las dimensiones y menor la frecuencia, a los determinados por Mendoza y Rava (2009), para árboles de 8 años de edad, y por Tomazello Filho (1985), para individuos de 10 años.

Para el diámetro tangencial de los vasos y frecuencia hubo diferencias significativas en la posición radial (p-valor 0,0001634 y $8,16\text{e}^{-13}$, respectivamente). De igual manera como se ha observado en las fibras, el diámetro tangencial de los vasos aumenta en la medida que se aleja de la médula, sin embargo, al analizar la variable frecuencia, esta decrece en sentido médula - corteza. Estos resultados se asemejan a los presentados por Hillis (1978), donde explica que el diámetro de los vasos aumenta cuanto más alejado de la médula se encuentren, mientras que la frecuencia se ve reducida.

Para las variables área de vaso y largo de vasos (Figuras N° 6 y 7) hubo interacción significativa altura x posición radial (p-valor $5,35\text{e}^{-08}$ y 0,04547 respectivamente).

En la figura N° 8, para área de vasos, se observa que aumenta desde la médula hasta la corteza y, a su vez, el aumento del área con relación al aumento de la altura es más pronunciado en la submuestra D (cercana a la corteza), lo que podría relacionarse a la transición gradual de leño juvenil a

adulto mencionada por Ramos et al. (2011). A su vez, el resultado encontrado difiere a la conclusión que llegaron Bocage y Ulery (2005), que indican que a medida que hay un cambio de altura, únicamente hay un aumento en el número de vasos por mm^2 .

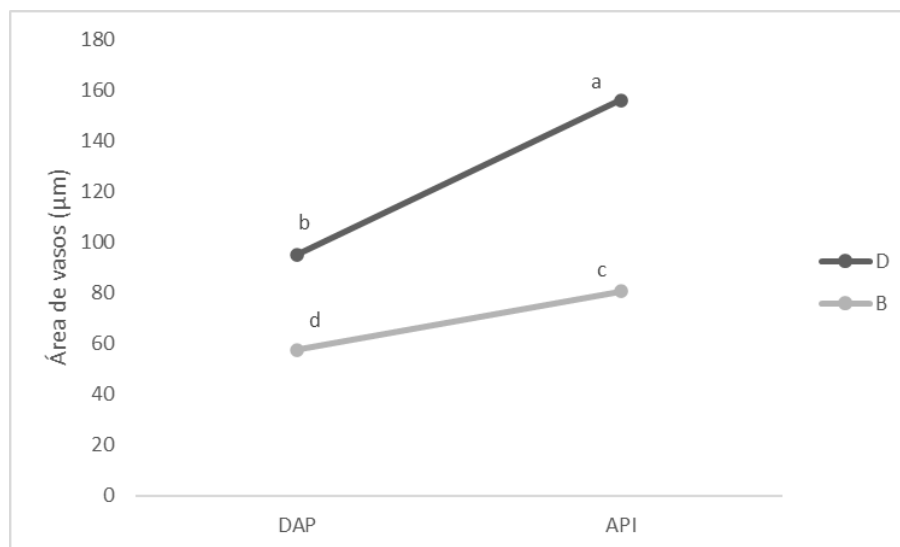


Figura N° 8: Gráfico de interacción Altura x Posición para área de vasos. Media ajustada (puntos negros). Letras diferentes denotan diferencias estadísticamente significativas (Tukey, $P < 0,05$).

Los valores para largo de vaso se pueden observar en la figura N° 9. Hubo interacción significativa, donde solamente para la posición C hubo un aumento significativo del largo del vaso con el aumento de la altura. Como se mencionó por Ramos et al. (2011) anteriormente para las fibras, este efecto podría ser debido a que la submuestra C fue extraída de una zona de transición de leño juvenil a leño adulto. Al igual que en los casos anteriores los valores, hay un aumento en sentido médula - corteza, semejante a lo presentado por Hillis y Brooks (1984), citados por Bocage y Ulery (2005) que dicen que “los vasos más pequeños se encuentran más frecuentemente cerca de la médula y aumentan hasta un máximo cerca del cambium”.

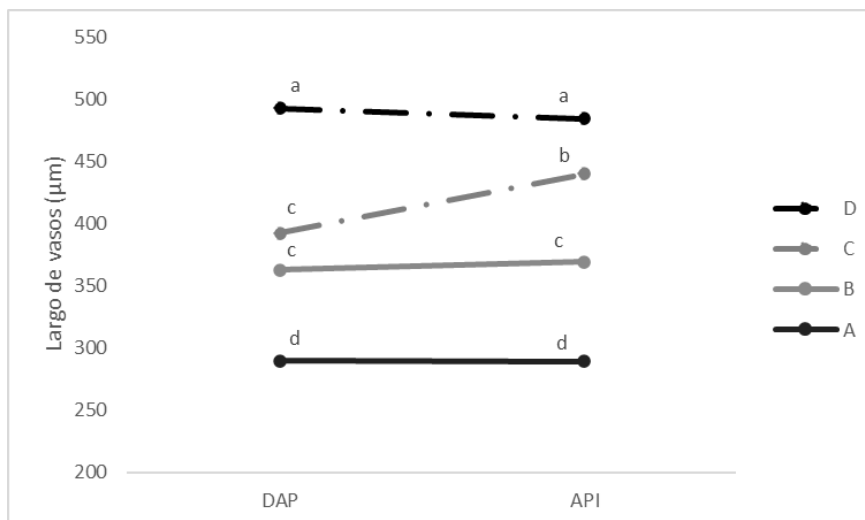


Figura N° 9: Gráfico de interacción Altura x Posición para largo de vasos. Media ajustada (puntos negros). Letras diferentes denotan diferencias estadísticamente significativas (Tukey, $P < 0,05$).

Ramos et al. (2011) no encuentran diferencias significativas en el sentido médula - corteza para el diámetro de vasos, pero se observa una tendencia a que los valores aumentan en este sentido; la zona interna, intermedia y externa comprende valores de $121,72 \mu\text{m}$, $135,31 \mu\text{m}$ y $133,47 \mu\text{m}$ respectivamente, valores que se encuentran dentro del rango presentado en este trabajo.

4.3 RADIOS LEÑOSOS

Los radios fueron caracterizados como uniseriados y homogéneos, los biseriados son pocos frecuentes, mientras que, los multiseriados no fueron observados (Figura N° 10). Los datos promedios para las variables medidas de los radios se detallan en el cuadro N° 17.

Cuadro N° 17: Valores obtenidos en radios leñosos para distintas variables estudiadas.

VARIABLES	Rango	Promedio	Desvío Estándar	Coefficiente de variación
Altura (μm)	161,13 - 448,98	193,96	42,11	21,71 %
Altura (N° células)	8,55 - 10,27	9,51	0,38	3,99 %
Frecuencia (n° de radios/mm lineal)	12,72 - 15,60	13,94	0,70	5,02 %

No hubo diferencias significativas entre las posiciones radiales y altura, ni interacción entre estos factores, para las variables frecuencia, número de células de altura y altura en micras.

Sánchez (2012) encuentra un promedio para frecuencia en mm lineal de 10 radios, ligeramente menor a lo encontrado en esta investigación; ya para la altura en micras, el mismo autor determina valores entre 130 - 360 μm , lo que se asemeja a este trabajo.

Arango (2009) considera para esta especie un predominio de radios uniseriados, con valores de altura de 160 μm , un rango de 6 a 21 células de altura y una frecuencia promedio de 15 radios por mm lineal. Si bien el autor no especifica la edad de los árboles analizados, los valores se relacionan con los estudiados en este trabajo.

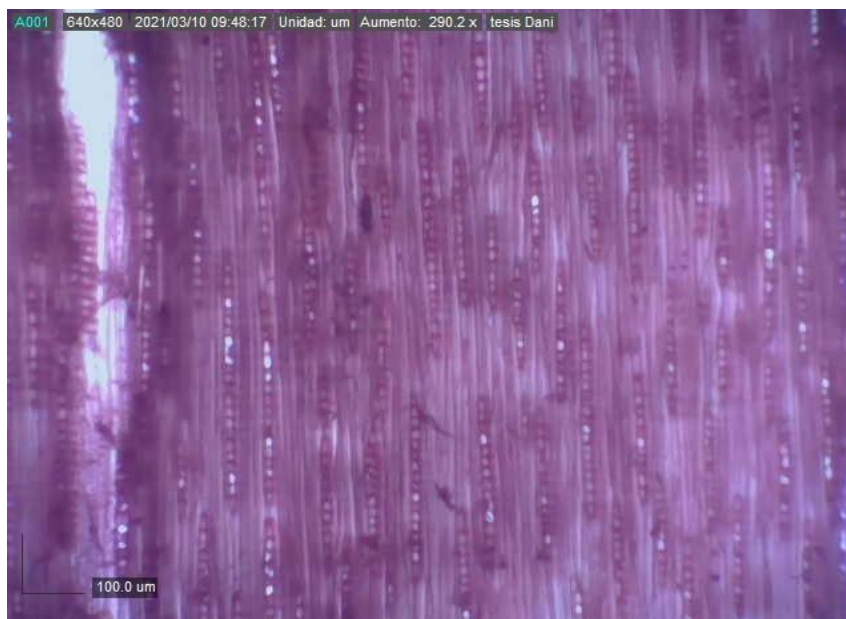


Figura N° 10: Corte tangencial en aumento 4X para *Eucalyptus grandis*.

4.4 DENSIDAD

El valor promedio obtenido fue de $0,381 \text{ g.cm}^{-3}$, con un desvío estándar de $0,03$ y su coeficiente de variación corresponde a $7,87 \%$. En la gráfica N° 6, se presenta la distribución de la densidad para todas las posiciones radiales.

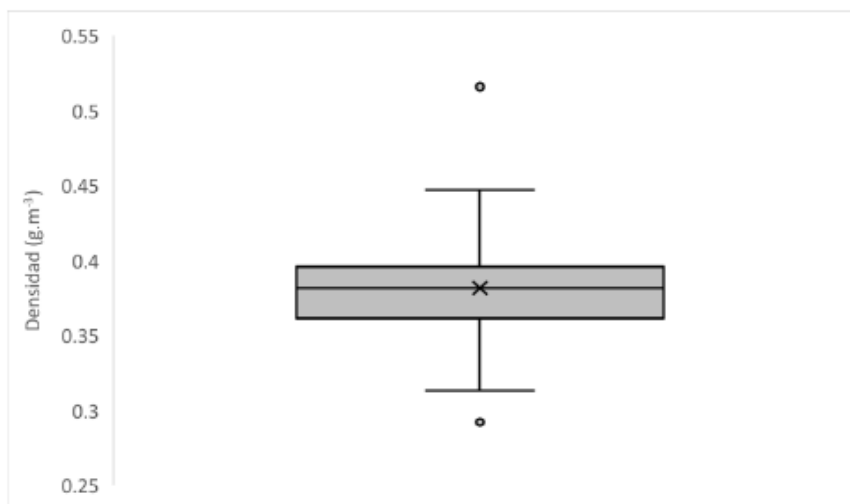


Figura N° 11: Diagrama de caja para la densidad básica aparente. Valores atípicos representados por los círculos.

Como se muestra en la figura N° 11, los valores para densidad se concentran dentro de $0,350$ y $0,400 \text{ g.cm}^{-3}$, pero se observa una gran diferencia entre el valor máximo y mínimo.

Monteoliva et al. (2015) encuentra como valor promedio de $0,421 \text{ g.cm}^{-3}$ para la densidad básica para individuos de 14 años, mayor a lo encontrado en el presente trabajo. Asimismo, Winck et al. (2014) estudiando árboles con un mayor rango de edades de 4 a 32 años, y comparando dos zonas en Misiones, Argentina, también obtuvieron un promedio mayor para la densidad con respecto al presente trabajo, siendo el mismo para la zona 1 ($0,454 \text{ gr/cm}^3$) y en la zona 2 (0.491 gr/cm^3).

Crosa y Quagliotti (2004) encontraron en individuos de 10 años de edad, densidad promedio de $0,442 \text{ gr/cm}^3$ con un coeficiente de variación 7,472 %; del mismo modo, en árboles de 8 años de edad la densidad correspondió a $0,436 \text{ gr.cm}^{-3}$, siendo el coeficiente de variación 5,33%.

Los datos promedio para densidad presentados por diferentes autores se encuentran por encima de los recabados en este trabajo. Esto podría ser explicado por el espesor de la pared, donde fue encontrado un valor más bajo comparado con otros autores, resultando en un valor inferior de la densidad. Además, puede relacionarse esta baja densidad también a la mayor porosidad de la madera debido al tamaño de los vasos en cuanto al diámetro tangencial y su área.

Con respecto al Anova, hubo diferencias significativas entre las posiciones radial para la densidad básica ($p\text{-valor}=0,0005062$), donde la diferencia fue evidenciada solamente en la posición A, cercana a la médula.

4.5 COEFICIENTES DE PROPIEDADES PARA PULPA

En el cuadro N° 18, se presentan los resultados para los diferentes coeficientes obtenidos en el presente trabajo.

Cuadro N° 18: Coeficientes para la producción de pulpa.

Factor de Runkel	Coef. de flexibilidad	Coef. de rigidez	Fracción de pared (%)	Factor de Luce
0,28	0,54	43,01	15,43	0,542

Se puede observar que el factor de Runkel muestra una gran diferencia respecto a lo encontrado por Dutt y Tyagi (2011), siendo menor el valor encontrado en el presente trabajo. Este valor encontrado se ubica dentro del rango que permite una muy buena formación de pulpa (Villaseñor y Rutiaga, 2000); además, este bajo valor generado por una pared de fibra delgada otorga una mejor flexibilidad de la fibra, mejorando las propiedades

de resistencia del papel, específicamente la resistencia a la tracción y reventamiento.

Por otra parte, el coeficiente de flexibilidad también muestra el valor más bajo en comparación a los autores estudiados, pero dentro del rango de referencia que permite una buena resistencia para la tracción y reventamiento (Bektas et al., citado por Baldin et al., 2017). Con este valor logrado para coeficiente de flexibilidad, se deduce que hay una unión relativamente propicia de las fibras, según lo planteado por Bektas et al., citado por Baldin et al. (2017). Esto se correlaciona a la clasificación presentada por Villaseñor y Rutiaga (2000), donde indica que un coeficiente entre 0,50 – 0,65 hay poco colapso de las fibras al igual que la unión fibra-fibra.

Bektas et al., citado por Baldin et al. (2017) sostienen que bajos valores del coeficiente de rigidez produce una disminución de la resistencia al papel, causado por fibras de menor tamaño, resultando en poca superficie de contacto entre las fibras; el valor estimado en el presente trabajo fue inferior a lo obtenido por este autor, pero superior a lo encontrado por Dutt y Tyagi (2011). El valor encontrado se ubicó dentro del rango presentado por Villaseñor y Rutiaga (2000), donde se caracteriza por un grosor de pared medio, en consecuencia, indica que es posible que se den problemas en la resistencia al papel.

En el presente trabajo el factor de Luce fue de 0,542 (54,2%), un valor levemente superior al estudio de Baldin et al. (2017), pero dentro del rango establecido para *Eucalyptus* spp. (50 - 60 %), para la producción de pulpa y papel (Pirralho et al., 2014).

Foelkel et al. citado por Baldin et al. (2017) recomiendan para la fracción de pared celular un límite del 60 %; el mismo autor explica que las industrias consideran que un valor mayor al 40% las fibras se vuelven más rígidas, lo cual dificulta su colapso, pero presenta baja unión de las fibras, como consecuencia, los papeles se vuelven porosos, voluminosos y absorbentes. El valor encontrado por Baldin et al. (2017) es de 41,99 %, mientras que, en el presente trabajo fue de 15,43%, que es consecuencia del bajo ancho de pared presentado para esta especie en este trabajo.

5 CONCLUSIONES

La densidad básica aparente promedio encontrada para la especie estudiada fue de $0,381 \text{ g.cm}^{-3}$. No hubo interacción significativa altura x posición, pero sí, diferencias significativas entre las posiciones radiales A con respecto a B, C y D, donde aumentó la densidad en estas posiciones más cercanas a la corteza. No se dieron diferencias significativas entre las alturas.

En el estudio anatómico, hubo interacción altura x posición para los caracteres ancho y largo de fibra, área de vasos, largo de vasos. No se encontró interacción significativa para los caracteres espesor, diámetro y área de fibra, diámetro y frecuencia de vasos.

Se encontraron diferencias entre las posiciones radiales para diámetro del lumen y área de la fibra, diámetro tangencial de los vasos, donde hay un aumento de las dimensiones en la medida que se acercó a la corteza, como excepción se encuentra la frecuencia de vasos la cual disminuye al acercarse a la corteza. En altura, únicamente se dieron diferencias en el área de fibra.

No se observan diferencias significativas en la posición radial, altura y la interacción altura x posición dentro de las distintas variables para los radios.

Los coeficientes relacionados a las propiedades de pulpa y papel encontrados en esta investigación son valores inferiores a los logrados por otros autores, pero dentro de los rangos recomendados para algunas propiedades para la producción de celulosa y papel.

Los resultados obtenidos permiten concluir que la producción de pulpa y papel con maderas de *Eucalyptus grandis* plantado en la zona este de Uruguay presentará una muy buena formación de la pulpa, mejor resistencia del papel con relación a la tracción y reventamiento. Sin embargo, la poca unión entre las fibras sumado a una poca superficie de contacto puede llegar a propiciar problemas en la resistencia al papel.

6 RESUMEN

En la industria forestal de Uruguay, el producto principal es la pulpa de celulosa química al sulfato blanqueada, siendo que la especie *Eucalyptus grandis* es la segunda especie más plantada. El presente trabajo tiene como objetivo general comprobar las características pulpables de *Eucalyptus grandis* provenientes de una plantación en el este de Uruguay. Dentro de los objetivos específicos se encuentra determinar la densidad básica de la madera y sus propiedades anatómicas; analizar el efecto de la altura y la posición radial en el tronco de las probetas en la densidad y características anatómicas; calcular los índices de calidad de pulpa y papel; relacionar los índices con aquellos recomendados para la producción de pulpa y papel. El estudio comprendió a 10 árboles de 11 años de edad pertenecientes a la empresa Redalco S. A., las trozas utilizadas se obtuvieron a dos alturas 1,30 y 2 metros (DAP y API, respectivamente). Se encontraron fibras libriformes, donde las variables a medir fueron largo, ancho, diámetro del lumen, área de la fibra y espesor de pared. En cuanto a las dos alturas no se encontraron diferencias significativas, sin embargo, se dieron diferencias significativas para las posiciones radiales en el diámetro del lumen y área de la fibra, en la interacción altura x posición las diferencias fueron en el largo y ancho de fibra. Los vasos leñosos se disponían de modo solitario, con una porosidad difusa, en la posición radial las diferencias estuvieron en el diámetro tangencial y frecuencia, mientras que, en la interacción altura x posición se dieron en área y largo de vaso. Los radios fueron mayoritariamente uniseriados y homogéneos, el promedio para la frecuencia en mm lineal fue 13,94, la altura 193,96 μm y 9,51 células. No se dieron diferencias significativas en altura, posición radial, ni en la interacción altura x posición. La densidad presentó un promedio de 0,381 $\text{g}\cdot\text{cm}^{-3}$, un desvío estándar de 0,03 y el coeficiente de variación fue de 7,87 %. Para el análisis Anova, únicamente se vieron diferencias para las posiciones radiales, especialmente en la posición A. Se calcularon los coeficientes para la producción de pulpa y papel, Índice de Runkel 0,28, Coeficiente de flexibilidad 0,54, Coeficiente de Rigidez 43,01, Fracción de pared 15,43 % y Factor de Luca 0,542. Con los resultados obtenidos en la producción de pulpa y papel con *Eucalyptus grandis* del este del país, presentan una pulpa con buena formación, con resistencia del papel en relación a la tracción y reventamiento.

Palabras clave: *Eucalyptus grandis*, Celulosa Kraft, Densidad básica, Índice Runkel, Coeficiente de flexibilidad.

7 SUMMARY

In the Uruguayan forestry industry, the main product is bleached chemical sulphate pulp, with *Eucalyptus grandis* being the second most planted species. The general objective of this work is to verify the pulpable characteristics of *Eucalyptus grandis* from a plantation in eastern Uruguay. Among the specific objectives is to determine the basic density of wood and its anatomical properties; analyze the effect of the height and the radial position in the trunk of the specimens on the density and anatomical characteristics; calculate pulp and paper quality indices; relate the indices to those recommended for pulp and paper production. The study included 10 11-year-old trees belonging to the company Redalco S. A., the logs used were obtained at two heights: 1.30 and 2 meters (DAP and API, respectively). Libriform fibers were found, where the variables to be measured were length, width, lumen diameter, fiber area and wall thickness. Regarding the two heights, no significant differences were found, however, there were significant differences for the radial positions in the diameter of the lumen and fiber area, in the interaction height x position the differences were in the length and width of the fiber. The woody vessels were arranged solitary, with a diffuse porosity, in the radial position the differences were in the tangential diameter and frequency, while in the height x position interaction they were in area and vessel length. The rays were mostly uniseriate and homogeneous; the average for the frequency in linear mm was 13.94, the height 193.96 μm and 9.51 cells. There were no significant differences in height, radial position, or in the height x position interaction. The density presented an average of 0.381 $\text{g}\cdot\text{cm}^{-3}$, a standard deviation of 0.03 and the coefficient of variation was 7.87%. For the Anova analysis, only differences were seen for the radial positions, especially in position A. Coefficients for pulp and paper production were calculated, Runkel Index 0.28, Flexibility Coefficient 0.54, Stiffness Coefficient 43.01, Wall fraction 15, 43% and Luca Factor 0.542. With the results obtained in the production of pulp and paper with *Eucalyptus grandis* from the east of the country, they present a pulp with good formation, with paper resistance in relation to traction and bursting.

Keywords: *Eucalyptus grandis*, Kraft cellulose, Basic density, Runkel index, Flexibility coefficient.

8 BIBLIOGRAFÍA

- 1 Arango Alzate, B. 2009. Estrutura anatômica da madeira de clones de *Eucalyptus*. Revista Investigaciones Aplicadas. no. 5: 1 - 14.
- 2 Baldin, T.; Marchiori, J. N. C.; Nisgoski, S.; Talgatti, M.; Denardi, L. 2017. Anatomia da madeira e potencial de produção de celulose e papel de quatro espécies jovens de *Eucalyptus* L'Hér. Ciência da madeira. 8(2): 114 - 126.
- 3 Bianchi, B.; Dibarboure, H. 1993. Selección de *Eucalyptus grandis* Hill (ex Maiden) por peso específico aparente básico y evaluación de tensiones de crecimiento. Tesis Ing. Agr. Montevideo, Uruguay. Universidad de la República. Facultad de Agronomía. 114 p.
- 4 Bocage Norman, I.; Ulery Duarte, L. A.; 2005. Caracterización anatómica de *Eucalyptus benthamii* Maiden et Cabbage cultivado en Uruguay. Tesis Ing. Agr. Montevideo, Uruguay. Universidad de la República. Facultad de Agronomía. 60 p.
- 5 Boland, D.; Brooker, M.; Chippendale, G.; Hall, N.; Hyland, B.; Johnston, R.; Kleinig, M.; McDonald, M.; Turner, J. 2006. Forest trees of Australia. (en línea). 5º ed. Collingwood, CSIRO. 735 p. Consultado dic. 2020. Disponible en https://books.google.com.uy/books?hl=es&lr=&id=CRQg11hSJ1kC&oi=fnd&pg=PR7&dq=Forest+trees+of+Australia&ots=T9HuDkf4gf&sig=nhC_873wrj22-9_ncEval2gNG8#v=onepage&q=Forest%20trees%20of%20Australia&f=false.
- 6 Brussa, C. A. 1994. *Eucalyptus*: especies de cultivo más frecuente en Uruguay y regiones de clima templado. Montevideo, Hemisferio Sur. 328 p.

- 7 Caraballo, P. V. 2006. Evaluación de peso específico aparente básico mediante pilodyn, en una prueba de progenies de *Eucalyptus grandis* Hill (ex Maiden) de 12 años de edad. Tesis Ing. Agr. Montevideo, Uruguay. Universidad de la Republica. Facultad de Agronomía. 58 p.
- 8 Coronel, E. O. 1994. Fundamentos de las propiedades físicas y mecánicas de las maderas; aspectos teóricos y prácticos para la determinación de las propiedades, y sus aplicaciones. Santiago del Estero, Facultad de Ciencias Forestales. 187 p.
- 9 Crosa, M.; Quagliotti, S. 2004. Fabricación de pastas Kraft blanqueadas de plantaciones comerciales de *Eucalyptus grandis* W. Hill ex Maiden y *Eucalyptus globulus* Labillardiere ssp. maidenii (F. Mueller) Kirkpatrick. (en línea). Tesis Ing. Agr. Montevideo, Uruguay. Universidad de la República. Facultad de Agronomía. 83 p. Consultado ene. 2022. Disponible en <https://www.colibri.udelar.edu.uy/jspui/bitstream/20.500.12008/25450/1/CrosaNadalMarcelo.pdf>.
- 10 Dutt, D.; Tyagi, C. H. 2011. Comparison of various eucalyptus species for their morphological, chemical, pulp and paper making characteristics. (en línea). Indian Journal of Chemical Technology. 18: 145 - 151. Consultado ene. 2022. Disponible en [http://nopr.niscair.res.in/bitstream/123456789/11624/1/IJCT%2018\(2\)%20145-151.pdf?utm_source=The_Journal_Database&trk=right_banner&id=1398418876&ref=8d9027a0839b09dea1d266695d529b71](http://nopr.niscair.res.in/bitstream/123456789/11624/1/IJCT%2018(2)%20145-151.pdf?utm_source=The_Journal_Database&trk=right_banner&id=1398418876&ref=8d9027a0839b09dea1d266695d529b71).

- 11 González, A.; Lago, A. 2006. Estudio de la variación axial de la densidad de la madera de *Eucalyptus grandis* Hill (ex Maiden) y *Eucalyptus dunnii* Maiden. Tesis Ing. Agr. Montevideo, Uruguay. Universidad de la República. Facultad de Agronomía. 103 p.
- 12 Hecht, E. 1998. Sólidos, líquidos y gases. In: Álgebra y trigonometría. 2ª. ed. Nueva York, Adelphi University. v. 1, pp. 289 - 338.
- 13 Hillis, W. E. 1978. Wood quality and utilization. In: Hillis, W. E.; Brown, A. G. *Eucalyptus for wood production*. s.l., CSIRO. pp. 260 - 289.
- 14 LPF (Laboratório de Produtos Florestais, BR). 1991. Normas de procedimentos em estudos de anatomia de madeira: I. Angiospermae. II. Gimnospermae. Brasília, IBAMA. 17 p. (Série técnica, v. 15).
- 15 Malan, F. 1995. *Eucalyptus Improvement for Lumber Production*. In: Seminário internacional de utilização da madeira de eucalipto para serraria (1995, São Paulo). Trabalhos apresentados. Piracicaba, IPEF/IPT. pp. 1 - 19.
- 16 Mantero, C.; Fernández, V.; Ros, A. 2008. Anatomía, peso específico aparente de la madera y porcentaje de corteza en orígenes de dos especies de *Eucalyptus* cultivadas en Uruguay (*Eucalyptus dunnii* Maiden y *Eucalyptus badjensis* Beuzev. & Welch). *Agrociencia* (Uruguay). 12(1): 20 - 30.
- 17 Mendoza Lluberas, S.; Rava Giovio, A. 2009. Estudio de la variación del plan leñoso de la madera de híbridos de *Eucalyptus grandis* Hill ex Maiden y *Eucalyptus globulus* Labillardiere ssp. *Globulus*. Tesis Ing. Agr. Montevideo, Uruguay. Universidad de la República. Facultad de Agronomía. 73 p.

- 18 MGAP (Ministerio de Ganadería, Agricultura y Pesca, UY). 2020. Coneat. (en línea). Montevideo. s. p. Consultado jun. 2022. Disponible en <https://www.gub.uy/ministerio-ganaderia-agricultura-pesca/politicas-y-gestion/coneat>.
- 19 MGAP. DGF (Ministerio de Ganadería, Agricultura y Pesca. Dirección General Forestal, UY). 2021a. Cartografía Nacional Forestal 2021. (en línea). Montevideo. s.p. Consultado ene. 2022. Disponible en <https://www.gub.uy/ministerio-ganaderia-agricultura-pesca/comunicacion/publicaciones/cartografia-nacional-forestal-2021>.
- 20 _____ . 2021b. Estadísticas Forestales 2021. (en línea). Montevideo, MGAP. 69 p. Consultado ene. 2022. Disponible en https://www.gub.uy/ministerio-ganaderia-agricultura-pesca/sites/ministerio-ganaderia-agricultura-pesca/files/2021-05/DGF%20Boletin%20Estadistico_2021_0.pdf.
- 21 MGAP. RENARE (Ministerio de Ganadería, Agricultura y Pesca. Recursos Naturales Renovables, UY). 2020. [Visor de suelos] CO.N.E.A.T. (en línea). Montevideo. s.p. Consultado jun. 2022. Disponible en <http://web.renare.gub.uy/js/visores/coneat/>.
- 22 Moglia, J. G.; Bravo, S.; Gerez, R. 2008. Anatomía comparada del leño de *Eucalyptus camaldulensis* (Myrtaceae) de dos orígenes, ensayados en Santiago del Estero. (en línea). Boletín de la Sociedad Argentina de Botánica. 43(3-4): 239 - 246. Consultado jun. 2022. Disponible en http://www.scielo.org.ar/scielo.php?pid=S1851-23722008000200008&script=sci_arttext&lng=pt.

- 23 Monteoliva, S.; Barotto, A. J.; Fernández, M. E. 2015. Anatomía y densidad de la madera en *Eucalyptus*: variación interespecífica e implicancia en la resistencia al estrés abiótico. Revista de la Facultad de Agronomía. 114(2): 209 - 217.
- 24 _____.; _____.; Alarcón, P.; Tesón, N.; Fernández, M. E. 2017. Densidad de la madera como variable integradora de la anatomía del leño: análisis de ramas y fuste en cuatro especies de *Eucalyptus*. (en línea). Revista de la Facultad de Agronomía. 116(1): 1 - 11. Consultado feb. 2021
Disponible en
http://sedici.unlp.edu.ar/bitstream/handle/10915/61781/Documento_completo.pdf?sequence=1.
- 25 Pirralho, M.; Flores, D.; Souza, V.; Quilhò, T.; Knapic, S.; Pereira, H. 2014. Evaluation on paper making potential of nine *Eucalyptus* species based on wood anatomical features. (en línea). Industrial Crops and Products. 54: 327 - 334.
Consultado jun. 2022 Disponible en
<https://www.repository.utl.pt/bitstream/10400.5/13595/1/RE-P-H.Pereira%2C%20S.Knapic-2014.pdf>.
- 26 Piter, J. C. J. 2003. Clasificación por resistencia de la madera aserrada como material estructural. Desarrollo de un método para el *Eucalyptus grandis* de Argentina. (en línea) Tesis Dr. en Ing. La Plata, Argentina. Universidad Nacional de La Plata. Facultad de Ingeniería, Departamento de Construcciones. 206 p. Consultado jun. 2021. Disponible en
http://sedici.unlp.edu.ar/bitstream/handle/10915/1344/Tesis_completa.pdf?sequence=11&isAllowed=y.

- 27 Ramos Alves, L. M.; De Figueiredo Latorraca, J. V.; Scaramussa Pastro, M.; Teixeira De Souza, M.; Garcia, R.; Monteiro De Carvalho, A. 2011. Variação radial dos caracteres anatômicos da madeira de *Eucalyptus grandis* W. Hill Ex Maiden e idade de transição entre lenho juvenil e adulto. *Scientia Forestalis*. 39(92): 411 - 418.
- 28 Resquin, F.; De Mello, J.; Faria, I.; Mieres, J.; Assandri, L. 2005. Caracterización de la celulosa de especies del género *Eucalyptus* plantadas en Uruguay. (en línea). Montevideo, INIA. 82 p. (Serie Técnica no. 152). Consultado jun. 2021. Disponible en <http://www.inia.uy/Publicaciones/Documentos%20compartidos/18429160709160425.pdf>.
- 29 Sánchez Acosta, M. M. 2012. Caracterización de la madera del nuevo híbrido *Eucalyptus grandis*, Hill ex Maiden x *Eucalyptus tereticornis*, Smith, su aptitud de usos en Argentina. (en línea). Tesis Dr. Ing. de Montes. Valladolid, España. Universidad de Valladolid. 125 p. Consultado mar. 2021. Disponible en http://uvadoc.uva.es/bitstream/handle/10324/1708/TEISIS21_1_121025.pdf?sequence=1&isAllowed=y.
- 30 Soria, L. A. 1979. Aptitud del *E. grandis* como materia prima para la obtención de pastas celulósicas. Tesis Ing. Agr. Montevideo, Uruguay. Universidad de la República. Facultad de Agronomía. 69 p.
- 31 TAPPI (Technical Association of the Pulp and Paper Industries, EU). 2006. Basic density and moisture content of pulpwood: (Reaffirmation of T 258 om-02). (en línea). s.n.t. 22 p. Consultado mar. 2020. Disponible en <https://www.tappi.org/content/SARG/T258.pdf>.

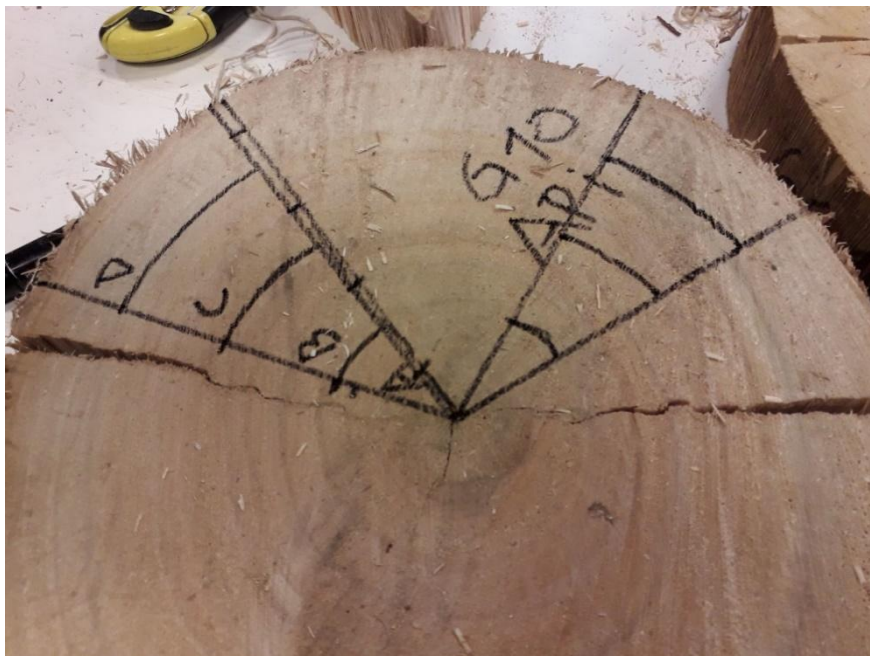
- 32 Tomazello Filho, M. 1985. Estrutura anatômica da madeira de oito espécies de eucalipto cultivadas no Brasil. IPEF. no. 29: 25 - 36.
- 33 Tuset, R.; Durán, F. 2008. Manual de maderas comerciales, equipos y procesos de utilización. Montevideo, Hemisferio Sur. v. 1, 503 p.
- 34 Villaseñor Araiza, J. C.; Rutiaga Quiñones, J. G. 2000. La madera de Casuarina equisetifolia L., química e índices de calidad de pulpa. (en línea). Madera y bosques. 6(1): 29 - 40. Consultado may. 2022. Disponible en <https://doi.org/10.21829/myb.2000.611340>.
- 35 Villegas, M. S.; Rivera, S. M. 2002. Revisión xilológica de las principales especies del género Eucalyptus L'Herit. cultivadas en Argentina. Revista de la Facultad de Agronomía. 105(1): 9 - 28.
- 36 Winck, R. Á.; Fassola, H. E.; Barth; S. R.; Keller, A. E.; Crechi, E. H. 2014. Variación de la densidad básica de Eucalyptus grandis para diferentes edades y zonas agroecológicas de la región mesopotámica. (en línea). s.n.t. 11 p. Consultado mar. 2021. Disponible en https://www.researchgate.net/profile/Rosa-Winck-2/publication/340683897_VARIACION_DE_LA_DENSIDAD_BASICA_DE_Eucalyptus_grandis_PARA_DIFERENTES_EDADES_Y_ZONAS_AGROECOLOGICAS_DE_LA_REGION_MESOPOTAMICA/links/5e99301192851c2f52aa0535/VARIACION-DE-LA-DENSIDAD-BASICA-DE-Eucalyptus-grandis-PARA-DIFERENTES-EDADES-Y-ZONAS-AGROECOLOGICAS-DE-LA-REGION-MESOPOTAMICA.pdf.
- 37 Zobel, B.; Talbert, J. 1994. Técnicas de mejoramiento genético de árboles forestales. México, Uteha, Noriega. 545 p.

9 ANEXOS

Anexo No. 1 Troncos seleccionados para el trabajo



Anexo No 2. Probetas para medir densidad.



Anexo No 3. Corte de preparado histológico en Microtomo



Anexo No 4. Preparado histológico finalizado



Anexo No 5. Sub probeta para macerado



Anexo No 6. Macerados próximos a su cocción.



Anexo No 7. Áreas promedio por par de fibras DAP, posición B

N° foto	G 6			G 10			G 12		
	1	77,3	56,1	43,0	55,1	36,3	58,5	47,3	48,2
2	56,4	55,7	35,4	62,3	34,7	39,4	33,0	57,8	50,0
3	40,4	46,2	80,5	46,7	36,4	32,2	30,6	50,7	47,6
4	70,1	66,3	63,6	42,9	48,4	53,0	30,2	49,0	47,8
5	60,4	55,6	63,3	51,5	52,7	46,7	59,0	68,2	62,3
6	57,0	61,5	47,7	52,7	62,9	47,0	61,2	74,7	51,5
7	51,2	46,3	52,7	62,6	66,2	65,5	60,3	54,6	50,2
8	53,1	39,3	29,1	36,4	35,6	32,0	50,3	55,9	49,8
9	71,3	52,3	40,7	36,0	46,0	45,9	48,0	56,2	44,6
10	64,2	44,5	45,9	41,5	32,9	45,4	55,1	45,9	42,7
11	53,1	75,7	70,6	52,6	43,1	50,5	55,9	35,9	43,9
12	45,2	51,2	45,0	32,6	52,8	43,9	56,8	46,8	34,4
13	72,7	69,9	79,1	32,9	54,2	46,1	47,4	52,2	43,1
14	69,5	52,0	58,9	33,4	50,1	45,3	54,1	51,7	35,1
15	57,4	53,8	67,2	33,1	37,4	46,8	75,1	59,3	68,4
16	68,8	52,4	65,0	42,7	47,7	38,7	42,3	58,7	58,5
17	74,7	58,9	41,2	34,3	50,4	41,8	61,7	60,1	50,3
18	69,3	76,2	71,3	37,1	43,7	41,2	53,3	56,9	45,2
19	48,2	35,7	52,8	36,2	48,2	41,6	54,4	65,8	49,2
20	47,2	65,8	55,7	53,4	68,1	34,1	60,2	56,8	73,1
21	67,4	56,0	58,0	49,2	43,9	57,6	56,4	58,7	72,9
22	59,9	40,9	49,0	29,4	23,8	37,9	61,8	59,8	66,8
23	69,2	67,8	61,6	45,6	35,3	34,0	59,6	66,0	77,5
24	68,8	66,7	72,8	35,9	33,7	32,3	61,4	64,8	73,0
25	90,1	48,8	68,9	56,0	60,5	72,3	70,3	75,1	59,3

N° foto	G 41			G 51			G 57		
	1	65,8	57,2	46,2	59,8	57,2	52,9	46,8	55,1
2	61,7	52,3	47,6	51,3	61,1	59,8	50,0	56,2	58,4
3	53,3	56,0	64,3	61,0	63,6	67,8	33,7	54,9	42,4
4	54,4	64,6	62,2	69,0	63,1	70,0	65,0	58,8	69,6
5	60,2	65,5	50,3	55,9	49,8	63,5	51,3	35,5	30,7
6	56,4	60,4	48,0	56,2	44,6	61,3	51,6	44,8	30,1
7	61,8	54,6	37,3	49,0	35,0	51,3	63,2	50,4	32,1
8	63,5	60,7	35,2	45,1	30,5	49,8	62,6	55,6	67,6
9	61,3	68,1	34,1	38,2	72,1	68,1	58,1	61,0	36,3
10	59,4	72,2	67,6	57,3	53,1	58,5	67,0	38,2	59,1
11	56,2	65,8	64,6	55,2	55,4	56,3	59,5	60,6	48,8
12	48,1	34,0	38,5	35,1	51,9	52,6	60,8	66,9	58,9
13	37,1	32,3	37,3	36,4	37,7	51,7	69,2	57,1	69,2

14	54,4	72,3	45,6	43,2	59,3	54,8	65,0	51,6	53,5
15	68,0	60,9	66,2	57,6	52,2	56,2	61,7	68,3	58,2
16	75,5	56,6	48,3	66,9	45,5	74,7	71,2	36,9	36,2
17	49,6	39,9	51,8	36,6	63,0	54,6	59,4	30,6	51,3
18	55,5	46,5	60,2	50,9	65,8	55,9	54,2	56,3	64,6
19	60,4	45,1	55,1	50,9	60,0	56,2	44,5	69,1	44,0
20	60,9	53,3	50,7	53,3	60,1	55,7	39,7	37,8	47,7
21	66,1	59,3	45,1	57,7	51,1	61,4	41,8	41,4	54,2
22	64,0	57,2	69,1	46,0	56,8	48,7	47,8	63,7	61,1
23	56,8	51,6	59,7	45,0	32,6	74,0	69,1	52,9	64,7
24	51,0	55,0	70,3	36,1	37,7	44,3	54,3	63,6	68,6
25	68,4	68,0	60,9	66,1	68,3	51,7	60,7	65,4	66,1

N° foto	G 68			G 71			G 77		
1	67,2	58,8	64,9	59,4	30,6	50,7	38,7	59,3	52,6
2	72,1	53,3	68,5	52,6	30,2	49,0	44,4	48,2	53,2
3	69,8	59,7	59,1	74,5	59,0	68,2	59,5	53,9	54,8
4	75,2	65,0	66,5	70,5	61,2	74,7	67,0	59,8	67,6
5	54,0	57,2	64,1	67,0	55,4	36,4	60,6	52,5	58,0
6	66,2	53,5	37,8	59,5	42,8	36,0	62,2	54,9	44,7
7	72,6	74,4	68,3	60,8	66,6	41,5	58,9	59,3	57,8
8	70,3	36,1	47,9	69,2	45,5	52,6	56,5	61,7	53,4
9	62,4	55,7	47,0	42,7	52,7	47,2	64,3	69,6	67,8
10	51,5	44,3	41,9	74,5	32,9	49,6	69,9	61,2	60,0
11	66,1	68,3	60,3	55,1	45,9	42,7	71,3	81,9	47,1
12	50,5	57,0	58,6	55,9	35,9	43,9	76,0	68,6	49,5
13	57,0	55,2	65,2	60,3	67,4	65,0	83,2	66,8	57,6
14	58,6	58,7	58,3	52,1	58,9	54,7	51,0	41,1	40,2
15	72,6	62,9	68,4	61,7	60,1	50,3	63,8	63,2	70,9
16	73,4	59,6	54,6	53,3	56,9	45,2	59,6	43,4	47,5
17	60,0	70,8	60,9	43,9	56,2	65,8	49,9	53,3	54,2
18	67,0	56,2	67,4	34,4	48,1	34,0	74,1	41,1	41,6
19	47,1	60,9	51,4	43,1	37,1	32,3	66,2	68,1	67,9
20	65,5	53,5	63,7	35,1	54,4	72,3	67,7	63,6	56,8
21	45,6	62,8	47,7	58,9	70,7	45,6	67,9	59,5	44,9
22	50,3	55,9	49,8	63,3	57,2	46,2	78,1	68,9	52,6
23	60,8	63,7	62,9	55,4	67,3	77,4	49,2	49,4	60,4
24	52,3	58,5	73,3	59,6	66,0	77,5	42,9	45,3	46,1
25	60,9	64,5	71,1	58,5	71,7	58,9	58,1	57,4	63,5

N° foto	G 89		
1	65,2	54,0	60,0
2	69,8	64,3	61,0
3	57,2	44,8	49,4
4	42,6	47,5	59,5
5	62,3	68,8	79,9
6	58,5	72,4	79,3
7	47,6	53,3	56,9
8	47,8	54,4	65,8
9	62,3	60,2	56,8
10	51,5	56,4	58,7
11	42,3	46,1	53,3
12	55,2	45,3	41,1
13	57,2	57,7	60,8
14	53,5	45,4	51,9
15	68,3	49,0	55,3
16	55,7	64,8	55,3
17	41,1	56,6	36,0
18	32,2	46,0	38,9
19	44,4	49,4	57,0
20	67,5	56,4	57,2
21	43,1	54,8	49,3
22	44,4	49,4	54,5
23	50,9	48,4	30,9
24	72,2	64,4	65,8
25	69,7	64,8	72,9

Anexo No 8. Áreas promedio por par de fibras DAP, posición D

N° foto	G 6			G 10			G 12		
1	93,0	59,6	98,0	83,0	98,0	103,3	99,9	82,5	103,4
2	151,9	97,1	57,1	83,0	75,3	123,0	117,4	125,4	103,7
3	90,6	117,6	72,4	73,8	133,5	110,7	90,6	97,6	98,6
4	106,6	118,6	54,6	91,5	81,2	77,3	86,6	77,4	77,2
5	75,2	55,4	69,2	80,1	70,0	97,2	81,3	112,4	119,2
6	62,9	39,8	58,6	87,9	76,3	67,8	100,9	88,5	77,8
7	69,6	50,7	65,0	129,2	72,8	76,9	95,5	77,7	117,9

8	183,3	116,0	107,6	96,3	78,7	106,7	81,3	123,1	106,4
9	131,5	90,4	105,2	92,1	83,8	109,9	83,5	85,3	82,7
10	104,8	115,8	125,0	94,4	99,0	101,8	82,5	79,9	85,4
11	76,1	106,5	112,3	111,3	102,9	103,9	103,4	155,7	130,5
12	70,1	53,6	75,7	105,0	90,5	86,8	92,2	113,6	111,1
13	86,6	72,7	50,7	98,3	98,5	91,8	133,7	96,5	122,6
14	49,6	41,5	43,6	104,8	91,5	61,4	101,1	90,7	87,5
15	47,4	38,8	48,2	84,4	109,5	51,3	80,3	99,9	82,5
16	169,2	120,5	62,5	90,4	126,9	39,3	125,1	85,1	107,7
17	100,4	68,2	76,0	87,6	112,2	53,8	96,4	74,5	91,9
18	64,2	73,0	89,9	86,3	86,9	69,7	129,3	106,7	117,0
19	101,5	93,5	60,9	92,3	92,6	119,2	123,8	79,6	82,0
20	123,8	99,0	103,3	120,9	116,0	86,7	124,8	109,8	120,9
21	36,1	33,2	42,4	83,5	115,7	102,7	91,4	72,6	81,4
22	140,5	56,6	62,6	73,2	48,9	98,9	79,4	76,9	79,7
23	106,1	67,7	73,2	71,8	54,7	82,2	98,0	104,4	96,6
24	73,2	46,3	158,9	54,6	40,4	85,0	123,0	88,6	105,0
25	71,8	41,6	104,8	81,8	97,0	95,4	89,6	128,8	131,6

N° foto	G 41			G 51			G 57		
1	75,4	82,4	73,8	93,0	119,0	116,8	115,3	128,0	122,2
2	88,4	120,4	86,6	72,3	83,7	71,8	86,5	92,1	82,2
3	95,1	80,1	85,1	77,3	79,9	79,9	112,7	121,8	113,7
4	78,9	71,3	78,7	113,3	95,3	90,1	89,0	88,8	84,9
5	114,6	78,2	80,5	99,0	113,3	82,8	76,0	77,8	85,1
6	80,7	84,1	90,7	84,4	99,4	91,7	68,7	70,6	72,8

7	85,1	72,4	75,3	121,4	129,9	107,9	85,9	77,2	80,0
8	106,5	84,0	105,0	88,4	97,4	86,3	105,8	95,9	94,5
9	116,3	100,9	120,7	87,5	82,9	84,4	113,3	116,4	95,5
10	109,1	85,7	95,7	115,6	91,9	89,4	99,9	83,7	99,7
11	83,9	75,2	92,5	118,7	98,3	96,4	76,6	76,9	75,6
12	91,3	86,1	89,7	131,5	117,2	108,3	103,1	76,7	85,3
13	100,7	98,8	119,3	90,4	100,0	75,5	77,8	74,3	85,2

14	87,5	110,9	98,7	89,7	109,5	86,5	61,6	74,8	77,2
15	70,9	109,3	94,5	72,1	99,0	97,8	102,1	111,5	95,7
16	114,1	112,1	115,6	72,6	107,3	97,0	101,9	90,3	94,2
17	79,2	95,3	122,4	78,2	107,5	76,9	99,9	92,7	88,6
18	99,0	75,1	84,5	93,5	86,9	80,6	82,7	81,5	105,0
19	128,0	112,8	109,5	78,2	78,0	80,7	118,5	108,7	86,4
20	97,9	102,0	84,0	103,3	100,6	95,3	78,3	88,8	107,0
21	77,9	78,9	83,2	90,4	84,3	85,0	87,8	88,6	95,6
22	83,0	120,2	88,6	87,4	79,1	86,3	98,4	82,5	90,4
23	119,8	82,0	119,4	87,9	83,1	102,5	93,9	78,0	77,1
24	80,0	102,1	111,5	79,2	78,3	83,9	79,7	94,5	100,8
25	91,9	84,9	81,4	72,6	91,8	105,8	109,3	108,3	104,4

N° foto	G 68			G 71			G 77		
1	121,9	81,8	86,9	120,2	120,6	120,1	103,6	97,3	94,8
2	76,1	81,3	82,0	90,2	116,7	112,6	116,5	109,2	110,6
3	105,3	67,6	98,5	94,3	106,0	103,3	113,8	96,9	95,5
4	120,5	102,2	106,8	101,6	117,1	126,9	107,2	107,2	97,5
5	126,2	113,9	110,3	103,2	94,6	95,2	95,5	82,6	120,7
6	81,2	88,1	95,2	112,1	109,4	104,9	87,1	79,4	111,6
7	90,1	99,7	95,5	119,8	101,6	124,0	69,7	112,8	116,1

8	99,5	82,8	83,9	111,9	124,2	111,6	112,7	99,7	107,6
9	80,2	81,3	82,3	92,1	117,1	106,1	92,8	83,7	90,5
10	92,2	80,6	94,6	84,9	83,0	85,2	94,1	113,9	101,5
11	121,7	111,5	101,5	96,5	119,7	102,1	92,2	106,8	126,9
12	116,8	120,8	124,8	109,2	108,0	94,6	84,7	98,9	112,2
13	103,5	88,4	95,1	130,9	122,6	105,5	95,5	82,6	120,7
14	98,4	100,6	105,9	108,3	109,2	108,4	87,1	79,4	111,6
15	89,7	94,0	89,2	110,5	124,1	123,0	112,4	87,9	122,3
16	127,2	130,3	115,1	113,0	110,1	114,0	106,4	129,2	83,6
17	121,0	98,0	101,0	108,7	85,4	112,5	66,7	94,9	113,5
18	90,6	96,4	90,7	112,7	101,0	112,0	82,7	116,3	100,9
19	103,9	109,0	105,0	102,4	81,4	92,5	97,5	81,3	65,4
20	108,1	122,9	93,9	109,8	97,3	93,6	108,7	78,9	48,8
21	109,1	91,6	79,5	118,5	127,3	113,8	111,2	115,7	82,0
22	98,3	99,3	102,0	127,5	116,0	99,7	81,6	39,8	58,6
23	87,1	79,4	111,6	120,3	109,0	109,5	106,6	123,6	99,6
24	105,0	95,2	95,6	115,7	84,7	98,9	104,3	117,8	103,0
25	103,3	107,7	92,7	95,8	76,6	86,7	117,0	107,2	107,2

N° foto	G 89		
1	108,8	100,7	103,5
2	81,8	100,1	123,5
3	87,5	107,7	101,5
4	107,3	104,9	100,2
5	117,5	106,5	125,2
6	86,8	120,7	106,3
7	90,7	97,5	102,1
8	93,3	118,0	94,7
9	113,8	102,9	92,3
10	102,8	102,7	86,3
11	107,6	101,3	98,1
12	104,4	91,2	98,9
13	107,3	101,8	90,9
14	109,2	96,1	99,3
15	109,5	86,1	94,9
16	86,7	83,5	96,8
17	118,7	97,7	103,3

18	90,9	111,4	95,6
19	105,1	125,1	106,9
20	124,5	113,9	104,7
21	117,0	108,6	117,7
22	81,8	100,1	115,8
23	539,3	94,7	96,9
24	94,7	102,1	102,2
25	97,1	101,2	113,8

Anexo No 9. Áreas promedio por par de fibras API, posición B

N° foto	G 6			G 10			G 12		
1	41,6	71,9	70,2	39,5	46,3	58,5	67,3	73,5	101,8
2	65,4	48,7	37,7	73,6	50,0	87,0	78,4	69,3	78,7
3	60,3	72,0	47,5	69,0	64,4	50,2	66,5	74,9	71,6
4	61,8	113,7	73,8	88,3	63,6	38,7	60,7	42,6	41,9
5	72,6	52,0	93,1	51,1	36,4	61,8	83,1	49,3	62,6
6	55,9	62,8	82,3	49,3	24,4	41,6	71,9	81,2	58,0
7	62,8	72,9	86,6	69,8	71,1	65,4	48,7	68,7	71,7
8	96,8	76,0	68,5	51,1	53,6	60,3	72,0	44,9	66,7
9	49,5	56,4	67,3	49,6	49,1	60,1	63,8	58,5	68,2
10	34,4	29,2	51,1	51,8	46,5	58,0	126,0	99,4	62,7
11	68,8	41,5	66,0	67,1	101,3	83,9	77,0	151,5	104,3
12	55,7	66,8	63,4	54,2	60,8	67,1	102,2	151,2	107,0
13	60,2	100,6	29,2	80,0	100,5	75,0	90,3	68,8	78,4
14	56,9	62,3	60,6	78,7	88,1	108,4	49,3	60,8	64,2
15	50,6	66,5	104,1	53,3	38,2	53,7	138,7	127,5	75,9
16	27,9	71,5	53,0	55,1	62,1	102,4	88,3	69,0	104,3
17	63,3	45,8	30,2	103,5	96,3	62,1	141,5	112,7	133,4
18	73,0	52,4	29,2	110,4	83,6	127,0	101,2	140,3	123,4
19	63,6	38,4	85,6	79,7	63,8	86,2	101,0	133,5	122,7
20	90,3	74,2	70,9	114,8	118,8	74,8	59,1	73,7	59,5
21	64,6	59,8	91,5	50,3	53,4	58,1	92,5	97,6	64,6
22	81,2	55,6	171,4	104,7	58,4	84,9	60,3	75,7	67,1
23	79,2	67,4	54,0	71,1	84,0	97,1	48,1	48,7	38,4
24	61,2	65,1	84,3	63,4	50,0	46,7	61,8	49,2	56,2
25	89,4	70,4	70,3	47,0	68,7	55,6	59,0	43,6	46,0

N° foto	G 41			G 51			G 57		
1	48,7	88,5	54,3	35,2	35,5	63,9	73,8	112,3	104,5

2	52,2	70,8	61,1	32,9	49,0	62,4	29,1	25,8	33,3
3	59,8	69,8	62,1	32,9	37,4	27,7	33,2	30,8	32,3
4	129,1	77,8	86,3	88,6	68,2	79,3	91,1	37,6	48,0
5	62,6	66,9	49,5	81,0	61,5	80,3	55,3	69,7	59,0
6	65,8	45,4	61,8	113,7	65,0	42,8	57,4	43,0	38,7
7	59,1	55,8	72,6	52,0	31,0	58,6	34,5	35,7	52,7
8	75,0	80,2	55,9	62,8	48,2	39,4	30,8	29,2	23,5
9	33,6	63,8	62,8	72,9	56,3	48,2	31,8	60,6	36,0
10	84,8	88,3	96,8	76,0	54,1	49,5	56,4	104,1	90,0
11	80,3	84,0	77,2	104,7	40,6	34,4	29,2	53,0	50,3
12	55,6	66,4	55,2	52,1	83,9	68,8	41,5	30,2	28,8
13	58,5	63,9	69,3	91,1	104,8	65,8	33,1	29,2	27,2
14	28,6	32,5	27,6	41,4	47,7	65,2	60,6	66,7	61,3
15	51,2	55,1	61,2	69,0	58,2	56,9	82,2	54,0	58,5
16	95,9	68,1	57,6	76,8	59,4	60,4	94,3	40,6	83,0
17	96,7	93,6	88,7	95,2	66,0	62,3	66,2	38,0	50,8
18	93,0	92,3	100,0	135,3	139,7	57,7	113,3	66,0	55,3
19	67,6	88,9	68,0	61,8	51,1	60,0	49,9	70,3	76,2
20	92,1	83,4	99,7	53,1	45,4	47,4	54,2	25,0	49,4
21	77,4	91,7	86,0	50,7	75,4	29,6	64,5	74,7	30,7
22	91,7	115,3	90,8	94,5	53,0	68,7	45,4	37,5	38,2
23	65,0	59,4	71,4	76,5	50,8	71,1	47,9	46,9	22,0
24	112,8	57,0	42,0	44,2	76,7	87,0	91,6	87,3	69,6
25	80,9	52,9	47,2	117,1	158,8	72,9	92,6	76,2	87,0

N° foto	G 68			G 71			G 77		
1	86,0	72,3	86,9	55,0	83,8	69,3	88,0	56,1	39,7
2	92,2	56,6	46,9	37,3	41,6	61,9	56,9	50,6	80,9
3	52,7	52,9	44,2	54,2	45,2	71,4	72,4	94,4	90,3
4	18,6	22,7	27,9	71,5	77,8	51,2	73,0	77,2	64,6
5	43,0	43,6	63,3	45,8	31,5	70,2	73,9	98,9	81,2
6	77,2	56,5	73,0	52,4	32,9	60,4	79,6	79,3	77,6
7	62,1	49,1	63,6	38,4	57,3	66,4	66,9	56,2	95,6
8	95,1	83,6	102,0	75,5	84,6	78,0	52,0	79,3	83,4
9	68,5	85,6	59,8	50,4	99,0	88,1	32,8	99,1	81,2
10	77,8	70,9	60,2	61,7	37,4	54,1	77,2	94,1	82,2
11	61,7	91,5	71,3	39,0	44,0	47,3	55,7	68,8	72,4
12	128,1	171,4	176,0	50,0	40,4	47,4	64,5	67,2	83,2
13	63,5	72,2	56,4	63,6	70,8	80,6	97,5	83,0	80,5
14	74,2	47,5	44,6	42,8	85,8	93,9	84,3	67,0	79,2
15	68,6	72,5	55,1	79,9	52,6	55,7	66,8	58,7	61,2
16	93,4	84,8	111,1	65,2	74,7	60,2	100,6	77,2	89,4
17	111,5	98,5	62,4	83,2	60,0	56,9	62,3	60,8	79,5

18	90,1	92,2	46,0	58,0	55,2	50,6	66,5	46,9	60,0
19	121,8	82,5	89,6	43,3	44,3	65,5	88,0	67,1	75,3
20	79,5	55,8	51,2	41,4	51,2	68,3	66,8	89,4	79,3
21	75,3	72,0	69,5	52,5	101,6	70,5	66,1	43,3	63,6
22	97,2	94,5	55,5	87,1	81,8	71,3	81,5	46,8	79,9
23	60,5	46,1	44,8	90,4	72,0	103,9	97,9	75,4	89,1
24	75,6	35,3	43,9	55,3	68,0	35,8	76,0	77,7	38,5
25	65,8	103,1	76,6	96,5	59,0	69,5	62,6	63,4	42,8

N° foto	G 89		
1	70,4	86,0	186,2
2	81,2	80,4	85,7
3	74,2	83,7	71,1
4	59,8	62,1	73,0
5	55,6	54,0	41,9
6	98,6	84,3	98,2
7	82,1	70,3	58,4
8	64,7	59,1	61,0
9	56,8	63,3	65,1
10	58,8	70,6	70,2
11	63,8	84,4	57,2
12	64,0	61,0	63,9
13	106,4	118,1	86,0
14	67,4	37,8	43,4
15	65,1	58,0	90,9
16	70,4	73,3	56,9
17	47,7	53,3	40,3
18	62,5	70,4	64,7
19	67,8	101,4	78,5
20	62,6	41,4	77,0
21	67,5	74,2	60,2
22	66,5	73,0	75,4
23	43,3	112,7	62,2
24	71,6	67,2	53,2
25	68,9	85,5	76,5

Anexo No 10. Áreas promedio por par de fibras API, posición D

N° foto	G 6			G 10			G 12		
1	123,4	127,7	126,1	109,9	100,9	129,9	56,1	99,7	102,6
2	108,6	131,4	131,3	168,4	102,0	98,7	99,7	69,6	70,5
3	128,1	77,1	95,3	128,0	103,2	109,3	92,4	105,7	100,0

4	67,1	111,7	112,1	112,3	108,7	117,4	632,5	130,2	143,2
5	123,2	117,4	140,1	129,7	116,2	112,3	143,8	146,0	136,1
6	112,0	138,1	169,3	144,1	178,0	175,0	59,6	81,3	128,1
7	70,4	48,6	84,4	127,1	201,1	133,2	105,7	82,3	67,1
8	42,1	103,3	119,9	137,3	164,9	147,6	101,9	96,1	81,6
9	108,2	88,3	127,1	133,4	137,9	138,4	95,3	82,8	89,7
10	44,1	84,7	65,4	138,9	146,7	147,9	112,1	118,7	111,2
11	131,0	130,6	76,2	90,3	82,9	84,8	140,1	156,3	156,3
12	92,2	115,8	46,7	102,0	108,8	120,3	169,3	144,6	132,0
13	132,2	74,8	50,8	158,6	134,3	116,8	160,6	119,6	126,8
14	152,3	129,2	60,4	143,5	133,2	133,8	142,1	131,6	155,0
15	171,0	108,5	83,3	161,4	134,4	153,9	162,0	114,8	126,7
16	214,5	148,1	69,4	132,4	103,4	123,4	127,7	148,9	152,3
17	103,5	160,7	133,7	118,8	109,1	108,6	131,4	197,9	171,0
18	94,5	126,1	87,3	125,3	148,3	115,4	141,0	1415,1	214,5
19	136,1	67,4	109,4	94,0	119,1	131,0	130,6	141,7	140,1
20	91,5	135,7	114,8	124,1	110,1	92,2	115,8	141,0	159,2
21	74,1	136,1	92,0	124,7	152,0	132,2	74,8	140,1	99,7
22	160,8	115,0	134,9	117,1	170,6	112,7	107,8	134,4	139,4
23	135,9	111,4	109,9	143,8	131,5	100,6	127,9	101,0	117,4
24	138,0	113,8	137,1	109,4	145,9	48,8	132,7	132,3	118,7
25	116,0	42,2	94,5	140,4	76,3	93,1	144,9	143,4	121,3

N° foto	G 41			G 51			G 57		
1	114,3	115,4	129,3	78,6	72,9	121,0	85,0	82,4	92,4
2	147,3	117,9	56,3	116,7	77,0	82,0	101,4	94,6	43,6
3	189,1	135,4	144,0	118,3	61,1	88,5	94,6	88,0	93,6
4	181,3	122,3	87,1	93,8	41,4	92,8	83,1	100,0	53,6
5	150,7	118,4	88,3	138,3	84,7	107,0	125,4	56,1	73,9
6	77,1	83,1	116,5	82,4	68,3	93,8	102,7	80,3	67,1
7	111,7	74,2	99,7	174,6	113,9	144,2	86,0	82,8	78,6
8	147,0	154,4	148,8	119,1	148,8	102,8	78,7	84,8	70,7
9	120,4	97,7	106,9	117,1	83,7	69,9	72,1	94,5	105,0
10	159,1	148,2	124,7	156,1	84,4	129,4	93,5	90,8	103,5
11	195,8	167,4	162,3	131,9	119,9	122,1	111,9	157,6	94,5
12	163,5	225,7	90,7	111,3	127,1	102,7	125,9	125,8	136,1
13	102,8	158,6	212,4	116,1	94,3	95,1	27,1	60,3	112,4
14	216,6	138,4	125,3	101,4	122,5	109,7	27,3	37,3	83,8
15	118,4	129,2	148,2	112,8	140,9	117,1	129,8	119,3	114,0
16	129,2	141,8	189,6	109,5	167,8	91,4	113,4	89,4	106,4
17	108,5	130,0	124,8	141,0	110,8	167,9	62,4	72,3	115,5
18	148,1	136,8	147,0	116,3	107,2	131,4	73,3	70,0	51,9

19	207,7	148,8	193,2	145,1	132,6	147,4	120,8	65,6	87,9
20	137,3	136,2	153,3	127,5	134,1	117,2	70,2	134,1	85,1
21	94,5	95,1	98,0	144,7	158,6	74,1	103,9	41,2	91,2
22	93,2	152,0	150,5	103,1	120,5	130,8	124,2	106,3	116,5
23	91,9	125,5	106,8	87,0	68,6	48,4	56,1	68,2	114,8
24	124,7	165,1	169,1	191,2	62,4	198,6	113,5	102,5	68,1
25	125,2	121,3	134,2	94,2	135,2	166,4	117,3	111,8	73,3

N° foto	G 68			G 71			G 77		
1	77,7	132,1	123,4	98,4	91,4	94,2	121,5	147,7	115,9
2	189,9	126,6	131,5	121,0	115,9	112,6	71,7	67,0	71,5
3	133,4	147,0	120,1	121,1	140,5	103,9	149,2	106,1	114,6
4	133,8	59,2	156,0	98,6	123,0	118,7	65,6	66,9	91,9
5	104,2	132,7	87,3	114,1	100,6	81,1	85,2	54,9	169,0
6	144,6	94,4	178,2	91,8	108,4	78,2	81,9	64,8	47,7
7	103,9	106,9	105,8	160,0	132,3	131,3	109,8	109,3	167,1
8	94,0	179,9	120,3	116,6	138,1	102,8	52,9	106,9	66,9
9	73,8	87,8	106,0	91,0	103,4	59,0	113,6	100,1	64,3
10	160,7	123,1	141,6	174,6	82,1	91,4	65,9	48,4	42,1
11	126,1	95,8	115,8	85,7	97,4	99,0	88,3	124,9	108,2
12	67,4	66,7	56,4	130,1	133,7	92,4	223,2	79,8	44,1
13	64,5	65,4	78,4	123,1	120,5	123,2	117,4	106,8	82,8
14	59,4	76,2	52,8	133,0	122,0	112,0	138,1	96,6	91,0
15	61,9	46,7	58,2	112,1	129,4	70,4	48,6	57,2	79,8
16	76,8	50,8	110,8	131,6	99,0	97,1	53,7	94,0	54,1
17	44,3	60,4	37,3	82,8	79,7	80,8	138,8	122,2	158,5
18	69,4	55,8	87,0	117,4	106,7	113,0	103,4	37,9	49,3
19	66,1	56,9	95,4	146,6	111,9	175,5	98,2	155,1	85,2
20	58,2	89,1	92,9	132,1	150,6	142,4	131,9	139,5	126,5
21	103,0	78,5	156,0	94,8	88,7	91,5	135,7	65,4	66,4
22	131,9	67,0	87,5	100,2	135,1	74,1	136,1	62,7	195,0
23	91,9	152,7	115,1	172,3	139,8	160,8	115,0	99,7	117,8
24	86,6	167,3	205,3	92,1	91,1	141,4	97,1	56,0	50,1
25	109,4	89,6	226,0	93,2	95,2	115,8	92,7	44,0	77,7

N° foto	G 89		
1	130,8	98,6	120,5
2	105,5	182,3	172,4
3	114,0	140,1	151,0

4	85,1	108,2	128,0
5	185,1	167,1	115,7
6	61,9	168,3	140,2
7	120,0	94,5	81,5
8	86,6	78,9	95,8
9	125,1	75,7	106,0
10	103,3	90,4	112,5
11	88,3	111,8	91,2
12	84,7	104,5	122,0
13	173,8	84,8	78,7
14	100,8	110,3	88,4
15	71,8	74,5	89,9
16	121,1	103,1	73,8
17	63,1	71,7	86,8
18	133,6	77,8	111,2
19	193,0	158,2	80,5
20	120,9	75,8	122,4
21	96,0	87,7	88,9
22	132,8	134,6	70,6
23	105,1	93,5	117,3
24	113,9	130,2	126,3
25	95,8	141,8	111,8

Anexo No 11. Promedio de espesor de pared API, posición B

N° foto	G 6			G 10			G 12		
1	2,022	2,758	2,222	1,844	2,262	1,652	1,836	2,066	1,599
2	1,600	1,956	2,592	3,406	2,585	2,222	1,213	1,682	1,346
3	2,152	1,621	2,044	2,022	2,258	2,077	1,682	1,493	1,493
4	1,597	1,761	2,139	2,165	2,202	2,346	1,715	1,189	1,482
5	1,812	2,562	2,214	1,554	1,404	1,359	1,330	1,783	1,065
6	1,286	1,347	2,248	2,509	2,514	1,977	1,812	1,170	1,715
7	1,447	2,250	2,638	2,857	2,594	3,733	1,489	1,715	1,383
8	1,383	2,096	1,069	2,573	2,864	2,474	1,941	2,138	1,812
9	1,138	2,383	1,299	2,007	2,981	3,191	1,719	1,836	2,021
10	1,628	1,350	1,823	2,484	2,862	2,262	2,296	2,431	2,244
11	1,430	1,523	1,281	1,354	2,191	1,504	2,244	1,927	1,745
12	1,075	1,818	1,245	1,431	1,534	1,956	1,504	1,599	1,836
13	1,332	1,505	0,971	1,882	1,095	2,214	1,599	2,562	2,343
14	1,334	2,225	1,582	1,953	1,745	2,292	2,555	1,213	2,529
15	1,428	1,281	1,049	2,154	2,428	2,221	1,987	1,599	1,755
16	2,510	2,562	1,245	1,597	1,632	2,046	2,553	1,783	1,719
17	1,170	1,690	1,610	0,959	2,096	1,437	1,652	1,761	1,665
18	1,387	1,837	2,289	1,383	1,715	1,189	1,818	1,682	1,652
19	1,277	1,930	2,598	1,732	1,662	1,620	1,783	1,858	2,018
20	1,387	2,097	1,596	1,745	1,383	1,299	1,755	1,705	2,120
21	1,456	1,665	1,327	2,214	1,979	2,379	2,151	2,138	1,705
22	1,259	1,953	1,175	1,447	1,447	2,575	1,705	2,296	2,170
23	1,346	1,600	1,784	2,044	1,771	1,953	1,285	1,478	1,069
24	1,398	1,684	2,240	2,055	2,221	1,732	2,024	1,818	1,599
25	1,554	1,912	2,128	2,144	1,700	2,598	1,447	1,427	2,141

N° foto	G 41			G 51			G 57		
1	1,812	1,294	2,257	1,346	1,571	1,662	1,861	1,702	2,018
2	1,316	2,128	2,151	1,427	3,255	2,128	1,682	2,237	1,281
3	1,987	1,956	1,918	1,956	2,237	1,245	2,355	2,120	2,493
4	1,571	1,478	1,956	1,493	1,489	2,128	2,046	1,534	1,745
5	1,861	2,096	1,705	1,830	1,346	1,761	1,427	2,296	1,861
6	1,523	1,682	1,504	1,719	1,665	2,193	1,599	1,095	1,387
7	1,715	2,193	1,783	1,277	1,383	1,048	1,523	1,478	1,478
8	1,596	1,549	1,447	1,170	1,281	1,809	2,007	1,333	1,705
9	1,427	1,858	1,294	1,069	1,599	2,044	1,281	1,821	1,383
10	2,504	1,761	1,783	1,095	1,333	1,610	1,662	1,281	1,285
11	1,599	1,523	1,732	2,906	2,668	2,323	1,682	1,805	2,301
12	1,665	1,836	1,596	1,523	1,662	0,957	1,581	1,478	1,596
13	2,237	1,818	1,858	1,599	1,489	1,581	1,245	2,400	1,581

14	1,596	1,620	1,427	1,277	1,682	1,189	1,979	1,241	1,719
15	1,146	1,285	1,927	1,362	1,956	2,234	1,682	1,447	1,783
16	1,383	1,482	1,299	2,343	1,131	1,427	1,399	1,682	1,858
17	1,346	1,549	1,719	1,383	1,095	1,285	1,858	1,447	1,447
18	1,581	1,346	1,858	1,927	1,812	1,732	1,245	1,095	1,596
19	1,419	1,383	1,299	1,175	1,504	1,069	1,719	1,861	1,478
20	1,918	1,419	1,761	1,715	1,387	1,821	1,818	1,333	1,009
21	1,549	1,927	1,652	1,387	1,493	1,489	1,534	1,447	1,512
22	1,549	1,419	1,523	1,858	2,096	2,221	1,812	2,007	1,962
23	1,732	1,447	1,610	1,812	1,599	1,281	1,241	1,761	1,534
24	1,387	1,482	1,346	2,046	2,244	1,915	2,221	1,620	2,141
25	1,346	1,665	1,523	1,627	1,175	1,245	2,191	2,112	2,090

N° foto	G 68			G 71			G 77		
1	1,894	1,682	2,098	1,702	1,702	1,399	2,098	1,624	1,682
2	1,665	1,362	1,818	2,138	1,599	2,141	2,573	2,032	1,962
3	1,652	2,921	1,581	2,400	1,745	1,705	1,665	2,292	1,885
4	1,387	1,571	1,523	1,620	1,627	1,665	1,596	1,427	1,596
5	1,755	2,112	2,098	1,783	1,571	1,745	1,719	1,956	1,719
6	1,719	1,346	2,257	1,624	1,482	1,285	1,761	1,620	1,665
7	2,193	1,956	2,391	1,719	1,818	1,346	1,610	1,927	1,652
8	1,346	1,095	1,523	1,482	1,624	1,682	2,193	1,861	1,987
9	1,715	1,383	2,154	1,427	1,285	1,627	1,482	1,732	1,719
10	1,761	2,428	1,571	1,627	1,523	1,836	1,858	1,571	1,362
11	1,333	1,812	1,732	1,489	1,885	1,662	1,805	2,066	1,812
12	2,237	1,523	1,599	1,427	1,489	1,333	1,447	1,362	1,894
13	1,624	1,715	1,581	1,745	1,962	1,333	1,624	1,918	1,624
14	1,316	1,482	1,620	1,571	1,581	1,387	1,624	2,193	1,732
15	1,620	2,474	2,237	2,066	1,665	2,221	2,120	2,391	1,624
16	1,836	2,355	2,193	1,581	1,482	1,478	1,719	1,719	1,903
17	2,090	1,715	1,427	1,861	1,918	1,818	1,478	1,953	1,241
18	1,333	1,836	1,999	1,771	1,431	1,151	1,571	1,771	1,956
19	1,918	1,447	1,953	1,482	1,610	1,915	1,571	1,682	1,858
20	1,523	2,044	2,066	1,245	1,732	1,419	1,596	1,213	1,918
21	1,596	1,809	1,999	2,090	1,783	1,715	1,809	1,956	1,941
22	1,903	1,064	1,809	1,581	1,715	1,682	1,571	1,447	1,512
23	2,096	2,066	1,478	1,581	1,719	1,812	1,620	1,534	1,213
24	1,918	1,962	1,682	1,362	1,903	1,682	1,534	1,581	1,771
25	1,745	1,549	1,755	1,962	1,962	1,581	2,379	2,055	1,493

N° foto	G 89		
1	1,189	1,489	1,715

2	1,581	1,599	1,387
3	1,333	1,493	1,504
4	1,918	1,299	1,812
5	1,858	1,682	1,523
6	1,004	0,767	1,956
7	2,193	1,523	1,571
8	1,962	2,170	1,277
9	1,175	1,277	1,705
10	1,493	1,277	1,489
11	1,189	1,277	1,682
12	1,419	1,534	1,419
13	1,294	1,189	1,281
14	1,064	1,447	1,387
15	1,665	1,523	1,241
16	1,419	1,281	1,333
17	1,682	1,755	1,316
18	0,952	1,346	1,620
19	2,090	1,549	1,362
20	1,493	1,705	1,702
21	1,610	1,809	1,581
22	1,858	1,571	2,193
23	1,241	1,383	1,715
24	1,419	1,427	1,383
25	1,771	1,705	1,624

Anexo No 12. Promedio de espesor de pared API, posición D

N° foto	G 6			G 10			G 12		
1	1,346	1,571	1,662	1,812	1,294	2,257	1,189	1,489	1,715
2	1,427	3,255	2,128	1,316	2,128	2,151	1,581	1,599	1,387
3	1,956	2,237	1,245	1,987	1,956	1,918	1,333	1,493	1,504
4	1,493	1,489	2,128	1,571	1,478	1,956	1,918	1,299	1,812
5	1,830	1,346	1,761	1,861	2,096	1,705	1,858	1,682	1,523
6	1,719	1,665	2,193	1,523	1,682	1,504	1,004	0,767	1,956
7	1,277	1,383	1,048	1,715	2,193	1,783	2,193	1,523	1,571
8	1,170	1,281	1,809	1,596	1,549	1,447	1,962	2,170	1,277
9	1,069	1,599	2,044	1,427	1,858	1,294	1,175	1,277	1,705
10	1,095	1,333	1,610	2,504	1,761	1,783	1,493	1,277	1,489
11	2,906	2,668	2,323	1,599	1,523	1,732	1,189	1,277	1,682
12	1,523	1,662	0,957	1,665	1,836	1,596	1,419	1,534	1,419
13	1,599	1,489	1,581	2,237	1,818	1,858	1,294	1,189	1,281
14	1,277	1,682	1,189	1,596	1,620	1,427	1,064	1,447	1,387
15	1,362	1,956	2,234	1,146	1,285	1,927	1,665	1,523	1,241

16	2,343	1,131	1,427	1,383	1,482	1,299	1,419	1,281	1,333
17	1,383	1,095	1,285	1,346	1,549	1,719	1,682	1,755	1,316
18	1,927	1,812	1,732	1,581	1,346	1,858	0,952	1,346	1,620
19	1,175	1,504	1,069	1,419	1,383	1,299	2,090	1,549	1,362
20	1,715	1,387	1,821	1,918	1,419	1,761	1,493	1,705	1,702
21	1,387	1,493	1,489	1,549	1,927	1,652	1,610	1,809	1,581
22	1,858	2,096	2,221	1,549	1,419	1,523	1,858	1,571	2,193
23	1,812	1,599	1,281	1,732	1,447	1,610	1,241	1,383	1,715
24	2,046	2,244	1,915	1,387	1,482	1,346	1,419	1,427	1,383
25	1,627	1,175	1,245	1,346	1,665	1,523	1,771	1,705	1,624

N° foto	G 41			G 51			G 57		
1	1,844	2,262	1,652	2,022	2,758	2,222	1,346	1,571	1,662
2	3,406	2,585	2,222	1,600	1,956	2,592	1,427	3,255	2,128
3	2,022	2,258	2,077	2,152	1,621	2,044	1,956	2,237	1,245
4	2,165	2,202	2,346	1,597	1,761	2,139	1,493	1,489	2,128
5	1,554	1,404	1,359	1,812	2,562	2,214	1,830	1,346	1,761
6	2,509	2,514	1,977	1,286	1,347	2,248	1,719	1,665	2,193
7	2,857	2,594	3,733	1,447	2,250	2,638	1,277	1,383	1,048
8	2,573	2,864	2,474	1,383	2,096	1,069	1,170	1,281	1,809
9	2,007	2,981	3,191	1,138	2,383	1,299	1,069	1,599	2,044
10	2,484	2,862	2,262	1,628	1,350	1,823	1,095	1,333	1,610
11	1,354	2,191	1,504	1,430	1,523	1,281	2,906	2,668	2,323
12	1,431	1,534	1,956	1,075	1,818	1,245	1,523	1,662	0,957
13	1,882	1,095	2,214	1,332	1,505	0,971	1,599	1,489	1,581
14	1,953	1,745	2,292	1,334	2,225	1,582	1,277	1,682	1,189
15	2,154	2,428	2,221	1,428	1,281	1,049	1,362	1,956	2,234
16	1,597	1,632	2,046	2,510	2,562	1,245	2,343	1,131	1,427
17	0,959	2,096	1,437	1,170	1,690	1,610	1,383	1,095	1,285
18	1,383	1,715	1,189	1,387	1,837	2,289	1,927	1,812	1,732
19	1,732	1,662	1,620	1,277	1,930	2,598	1,175	1,504	1,069
20	1,745	1,383	1,299	1,387	2,097	1,596	1,715	1,387	1,821
21	2,214	1,979	2,379	1,456	1,665	1,327	1,387	1,493	1,489
22	1,447	1,447	2,575	1,259	1,953	1,175	1,858	2,096	2,221
23	2,044	1,771	1,953	1,346	1,600	1,784	1,812	1,599	1,281
24	2,055	2,221	1,732	1,398	1,684	2,240	2,046	2,244	1,915
25	2,144	1,700	2,598	1,554	1,912	2,128	1,627	1,175	1,245

N° foto	G 68			G 71			G 77		
1	1,702	1,702	1,399	1,836	2,066	1,599	1,894	1,682	2,098
2	2,138	1,599	2,141	1,213	1,682	1,346	1,665	1,362	1,818
3	2,400	1,745	1,705	1,682	1,493	1,493	1,652	2,921	1,581

4	1,620	1,627	1,665	1,715	1,189	1,482	1,387	1,571	1,523
5	1,783	1,571	1,745	1,330	1,783	1,065	1,755	2,112	2,098
6	1,624	1,482	1,285	1,812	1,170	1,715	1,719	1,346	2,257
7	1,719	1,818	1,346	1,489	1,715	1,383	2,193	1,956	2,391
8	1,482	1,624	1,682	1,941	2,138	1,812	1,346	1,095	1,523
9	1,427	1,285	1,627	1,719	1,836	2,021	1,715	1,383	2,154
10	1,627	1,523	1,836	2,296	2,431	2,244	1,761	2,428	1,571
11	1,489	1,885	1,662	2,244	1,927	1,745	1,333	1,812	1,732
12	1,427	1,489	1,333	1,504	1,599	1,836	2,237	1,523	1,599
13	1,745	1,962	1,333	1,599	2,562	2,343	1,624	1,715	1,581
14	1,571	1,581	1,387	2,555	1,213	2,529	1,316	1,482	1,620
15	2,066	1,665	2,221	1,987	1,599	1,755	1,620	2,474	2,237
16	1,581	1,482	1,478	2,553	1,783	1,719	1,836	2,355	2,193
17	1,861	1,918	1,818	1,652	1,761	1,665	2,090	1,715	1,427
18	1,771	1,431	1,151	1,818	1,682	1,652	1,333	1,836	1,999
19	1,482	1,610	1,915	1,783	1,858	2,018	1,918	1,447	1,953
20	1,245	1,732	1,419	1,755	1,705	2,120	1,523	2,044	2,066
21	2,090	1,783	1,715	2,151	2,138	1,705	1,596	1,809	1,999
22	1,581	1,715	1,682	1,705	2,296	2,170	1,903	1,064	1,809
23	1,581	1,719	1,812	1,285	1,478	1,069	2,096	2,066	1,478
24	1,362	1,903	1,682	2,024	1,818	1,599	1,918	1,962	1,682
25	1,962	1,962	1,581	1,447	1,427	2,141	1,745	1,549	1,755

N° foto	G 89		
1	2,098	1,624	1,682
2	2,573	2,032	1,962
3	1,665	2,292	1,885
4	1,596	1,427	1,596
5	1,719	1,956	1,719
6	1,761	1,620	1,665
7	1,610	1,927	1,652
8	2,193	1,861	1,987
9	1,482	1,732	1,719
10	1,858	1,571	1,362
11	1,805	2,066	1,812
12	1,447	1,362	1,894
13	1,624	1,918	1,624
14	1,624	2,193	1,732
15	2,120	2,391	1,624
16	1,719	1,719	1,903
17	1,478	1,953	1,241
18	1,571	1,771	1,956
19	1,571	1,682	1,858

20	1,596	1,213	1,918
21	1,809	1,956	1,941
22	1,571	1,447	1,512
23	1,620	1,534	1,213
24	1,534	1,581	1,771
25	2,379	2,055	1,493

Anexo No 13. Promedio de espesor de pared DAP, posición B

N° foto	G 6			G 10			G 12		
1	2,090	2,296	2,170	1,294	1,064	1,621	1,732	1,189	1,599
2	2,032	2,292	1,755	1,241	1,818	2,477	2,138	1,987	1,962
3	1,885	2,257	2,024	1,666	1,286	1,833	1,316	2,333	1,383
4	1,493	1,705	1,170	1,582	2,491	1,808	1,702	1,652	1,927
5	2,362	1,858	1,755	2,054	2,413	1,942	1,213	1,493	1,809
6	2,244	1,821	1,624	2,184	2,504	2,502	1,504	1,715	1,705
7	2,141	1,858	1,962	1,596	2,074	1,596	1,489	1,596	1,702
8	2,066	1,665	1,941	2,401	1,971	1,478	2,032	2,449	2,151
9	1,783	2,032	1,962	1,737	1,723	2,063	1,682	1,755	1,999
10	1,662	1,294	2,274	1,662	1,437	1,894	2,055	2,449	2,046
11	1,732	1,783	1,962	2,019	2,076	1,823	1,732	1,918	1,523
12	2,343	2,221	2,296	2,112	1,285	1,684	1,299	1,493	2,234
13	1,523	1,918	2,154	1,624	2,358	1,147	1,549	1,387	1,715
14	2,098	1,715	1,953	1,968	2,942	1,646	1,277	1,599	1,523
15	1,662	1,662	1,624	1,674	1,527	1,923	1,493	0,858	1,523
16	2,191	2,098	1,861	1,600	1,556	1,575	1,812	1,482	1,489
17	2,336	1,830	1,809	1,837	1,228	1,788	1,549	1,652	2,066
18	1,999	2,412	2,504	2,047	1,274	2,276	1,927	1,705	1,652
19	2,055	2,504	1,523	1,207	1,615	1,316	1,818	1,447	1,333
20	2,254	2,120	2,193	1,399	1,682	2,139	1,755	1,624	1,755
21	2,221	2,257	1,962	1,527	1,346	2,565	1,493	1,523	1,383
22	2,490	1,809	2,130	2,120	1,230	1,861	1,682	1,064	1,419
23	2,193	2,193	2,522	1,483	2,509	1,621	1,294	1,346	2,024
24	2,193	1,818	1,783	2,112	2,080	2,416	1,836	1,493	1,732
25	2,529	2,632	2,963	1,905	1,608	1,448	1,836	1,624	1,809

N° foto	G 41			G 51			G 57		
1	1,956	1,915	1,745	1,652	1,962	1,346	1,333	1,281	1,285
2	1,987	2,558	1,620	1,241	2,170	1,571	1,383	1,523	1,534
3	1,702	1,732	1,956	1,241	1,858	2,191	1,652	1,571	1,719
4	1,719	1,627	2,055	1,512	1,333	1,596	2,120	1,715	1,620
5	2,046	1,624	1,620	1,523	1,333	1,719	1,478	1,482	1,571

6	1,821	1,482	1,927	1,732	1,662	1,512	1,346	1,277	1,627
7	2,170	1,705	1,048	1,362	1,387	1,523	1,915	1,755	1,999
8	1,761	1,956	1,962	1,419	1,387	1,478	1,885	1,682	2,090
9	2,588	1,755	2,362	1,427	1,665	1,285	1,571	1,512	1,427
10	1,493	1,523	1,818	1,299	1,285	1,146	1,478	1,213	1,387
11	2,400	2,391	1,431	1,383	1,818	1,482	1,719	1,610	1,918
12	1,771	1,783	1,682	1,783	1,245	1,447	1,903	1,346	1,715
13	1,999	1,504	2,120	1,956	1,285	1,009	1,478	1,665	1,581
14	1,682	1,682	2,170	0,952	1,478	1,285	1,732	1,478	1,245
15	1,627	1,489	1,620	1,830	1,523	1,151	1,610	1,755	1,858
16	1,818	1,523	1,858	1,918	1,719	1,962	1,549	1,316	1,858
17	1,281	1,294	1,281	2,007	1,818	2,154	2,096	1,745	1,627
18	1,523	2,066	1,755	1,581	1,682	1,882	1,858	1,918	1,399
19	1,665	1,761	1,836	1,599	1,858	1,549	1,662	1,665	1,812
20	1,596	1,387	1,383	1,241	1,809	1,682	1,979	1,581	1,861
21	2,046	1,665	2,128	1,719	2,066	1,702	2,055	1,783	1,818
22	1,427	1,281	1,482	1,346	1,399	1,482	1,665	1,858	1,858
23	1,170	1,245	1,665	1,399	1,610	1,682	1,482	1,745	1,941
24	2,021	1,346	2,138	1,581	1,903	1,512	1,431	1,333	1,316
25	1,596	1,836	1,387	1,682	1,715	1,665	1,346	1,915	1,894

N° foto	G 68			G 71			G 77		
1	1,652	1,732	1,885	2,400	2,760	1,581	1,858	2,018	1,702
2	1,755	1,665	1,682	2,355	2,221	1,830	2,066	1,783	1,316
3	1,482	2,431	1,111	1,610	1,447	2,141	2,032	1,316	1,719
4	1,719	2,090	2,449	1,885	2,456	1,918	1,836	2,504	2,784
5	1,581	1,523	2,024	1,830	1,918	1,755	1,493	2,066	1,682
6	2,193	2,839	2,130	2,151	2,274	1,962	2,024	2,138	2,151
7	2,193	2,323	2,504	1,732	1,596	1,523	1,383	1,771	1,821
8	1,383	2,244	1,918	1,715	1,419	2,046	1,858	1,783	1,705
9	2,112	2,096	1,581	1,818	2,055	2,490	1,962	2,474	1,858
10	1,918	1,523	1,549	1,682	1,761	2,055	1,333	1,241	1,596
11	2,018	1,682	1,783	1,809	1,571	1,903	2,018	1,956	1,665
12	1,903	1,918	2,522	1,818	1,956	1,783	1,652	2,018	2,018
13	1,482	1,387	1,245	1,504	2,098	1,719	1,504	1,493	1,818
14	1,885	1,482	1,918	1,599	1,489	1,652	1,504	1,523	2,120
15	1,581	1,705	2,426	1,447	1,493	1,534	1,523	1,523	1,549
16	1,705	1,941	1,715	1,732	1,665	1,821	2,151	2,170	1,836
17	1,549	1,581	2,237	1,732	1,489	1,918	1,419	2,024	1,493
18	1,715	1,581	1,918	2,128	2,237	1,732	1,987	1,596	2,024
19	1,682	1,682	1,665	2,538	2,046	1,962	1,956	1,523	1,956
20	1,624	1,719	1,048	2,098	1,858	1,523	1,549	1,918	1,956
21	2,474	1,861	1,783	1,809	2,018	1,882	1,818	1,581	2,221

22	2,379	2,490	1,478	2,798	2,098	1,918	1,941	1,830	1,732
23	1,903	1,858	1,665	1,956	1,809	1,826	1,620	1,571	1,383
24	1,918	1,620	1,783	1,627	1,732	1,523	1,549	1,493	1,383
25	1,665	1,478	1,285	1,836	1,702	1,620	1,821	2,193	1,294

N° foto	G 89		
1	2,400	2,691	2,154
2	2,154	2,141	1,732
3	1,523	1,285	1,761
4	1,962	1,682	2,066
5	1,493	1,812	2,024
6	1,281	1,493	1,596
7	2,244	2,138	1,170
8	1,755	1,581	1,821
9	2,018	1,836	1,821
10	2,244	1,783	2,193
11	1,705	1,146	1,523
12	1,599	1,419	1,489
13	1,399	1,504	1,048
14	1,732	1,504	1,294
15	1,809	1,175	1,387
16	1,493	1,812	1,189
17	1,610	1,809	1,599
18	1,812	2,296	1,599
19	1,821	1,812	1,009
20	2,138	2,032	2,024
21	1,771	1,478	1,809
22	1,610	1,715	1,383
23	1,489	2,679	2,340
24	2,234	1,915	2,573
25	1,599	1,755	1,836

Anexo No 14. Promedio de espesor de pared DAP, posición D

N° foto	G 6			G 10			G 12		
1	1,652	1,732	1,885	1,956	1,915	1,745	2,400	2,691	2,154
2	1,755	1,665	1,682	1,987	2,558	1,620	2,154	2,141	1,732
3	1,482	2,431	1,111	1,702	1,732	1,956	1,523	1,285	1,761
4	1,719	2,090	2,449	1,719	1,627	2,055	1,962	1,682	2,066
5	1,581	1,523	2,024	2,046	1,624	1,620	1,493	1,812	2,024
6	2,193	2,839	2,130	1,821	1,482	1,927	1,281	1,493	1,596
7	2,193	2,323	2,504	2,170	1,705	1,048	2,244	2,138	1,170

8	1,383	2,244	1,918	1,761	1,956	1,962	1,755	1,581	1,821
9	2,112	2,096	1,581	2,588	1,755	2,362	2,018	1,836	1,821
10	1,918	1,523	1,549	1,493	1,523	1,818	2,244	1,783	2,193
11	2,018	1,682	1,783	2,400	2,391	1,431	1,705	1,146	1,523
12	1,903	1,918	2,522	1,771	1,783	1,682	1,599	1,419	1,489
13	1,482	1,387	1,245	1,999	1,504	2,120	1,399	1,504	1,048
14	1,885	1,482	1,918	1,682	1,682	2,170	1,732	1,504	1,294
15	1,581	1,705	2,426	1,627	1,489	1,620	1,809	1,175	1,387
16	1,705	1,941	1,715	1,818	1,523	1,858	1,493	1,812	1,189
17	1,549	1,581	2,237	1,281	1,294	1,281	1,610	1,809	1,599
18	1,715	1,581	1,918	1,523	2,066	1,755	1,812	2,296	1,599
19	1,682	1,682	1,665	1,665	1,761	1,836	1,821	1,812	1,009
20	1,624	1,719	1,048	1,596	1,387	1,383	2,138	2,032	2,024
21	2,474	1,861	1,783	2,046	1,665	2,128	1,771	1,478	1,809
22	2,379	2,490	1,478	1,427	1,281	1,482	1,610	1,715	1,383
23	1,903	1,858	1,665	1,170	1,245	1,665	1,489	2,679	2,340
24	1,918	1,620	1,783	2,021	1,346	2,138	2,234	1,915	2,573
25	1,665	1,478	1,285	1,596	1,836	1,387	1,599	1,755	1,836

N° foto	G 41			G 51			G 57		
1	1,858	1,732	1,885	1,915	1,745	2,400	2,090	2,296	2,170
2	1,755	1,665	1,682	2,558	1,620	2,154	2,032	2,292	1,755
3	1,482	2,431	1,111	1,732	1,956	1,523	1,885	2,257	2,024
4	1,719	2,090	2,449	1,627	2,055	1,962	1,493	1,705	1,170
5	1,581	1,523	2,024	1,624	1,620	1,493	2,362	1,858	1,755
6	2,193	2,839	2,130	1,482	1,927	1,281	2,244	1,821	1,624
7	2,193	2,323	2,504	1,705	1,048	2,244	2,141	1,858	1,962
8	1,383	2,244	1,918	1,956	1,962	1,755	2,066	1,665	1,941
9	2,112	2,096	1,581	1,755	2,362	2,018	1,783	2,032	1,962
10	1,918	1,523	1,549	1,523	1,818	2,244	1,662	1,294	2,274
11	2,018	1,682	1,783	2,391	1,431	1,705	1,732	1,783	1,962
12	1,903	1,918	2,522	1,783	1,682	1,599	2,343	2,221	2,296
13	1,482	1,387	1,245	1,504	2,120	1,399	1,523	1,918	2,154
14	1,885	1,482	1,918	1,682	2,170	1,732	2,098	1,715	1,953
15	1,581	1,705	2,426	1,489	1,620	1,809	1,662	1,662	1,624
16	1,705	1,941	1,715	1,523	1,858	1,493	2,191	2,098	1,861
17	1,549	1,581	2,237	1,294	1,281	1,610	2,336	1,830	1,809
18	1,715	1,581	1,918	2,066	1,755	1,812	1,999	2,412	2,504
19	1,682	1,682	1,665	1,761	1,836	1,821	2,055	2,504	1,523
20	1,624	1,719	1,048	1,387	1,383	2,138	2,254	2,120	2,193
21	2,474	1,861	1,783	1,665	2,128	1,771	2,221	2,257	1,962
22	2,379	2,490	1,478	1,281	1,482	1,610	2,490	1,809	2,130
23	1,903	1,858	1,665	1,245	1,665	1,489	2,193	2,193	2,522

24	1,918	1,620	1,783	1,346	2,138	2,234	2,193	1,818	1,783
25	1,665	1,478	1,285	1,836	1,387	1,599	2,529	2,632	2,963

N° foto	G 68			G 71			G 77		
1	1,732	1,189	1,599	1,294	1,064	1,621	1,885	1,915	1,745
2	2,138	1,987	1,962	1,241	1,818	2,477	1,682	2,558	1,620
3	1,316	2,333	1,383	1,666	1,286	1,833	1,111	1,732	1,956
4	1,702	1,652	1,927	1,582	2,491	1,808	2,449	1,627	2,055
5	1,213	1,493	1,809	2,054	2,413	1,942	2,024	1,624	1,620
6	1,504	1,715	1,705	2,184	2,504	2,502	2,130	1,482	1,927
7	1,489	1,596	1,702	1,596	2,074	1,596	2,504	1,705	1,048
8	2,032	2,449	2,151	2,401	1,971	1,478	1,918	1,956	1,962
9	1,682	1,755	1,999	1,737	1,723	2,063	1,581	1,755	2,362
10	2,055	2,449	2,046	1,662	1,437	1,894	1,549	1,523	1,818
11	1,732	1,918	1,523	2,019	2,076	1,823	1,783	2,391	1,431
12	1,299	1,493	2,234	2,112	1,285	1,684	2,522	1,783	1,682
13	1,549	1,387	1,715	1,624	2,358	1,147	1,245	1,504	2,120
14	1,277	1,599	1,523	1,968	2,942	1,646	1,918	1,682	2,170
15	1,493	0,858	1,523	1,674	1,527	1,923	2,426	1,489	1,620
16	1,812	1,482	1,489	1,600	1,556	1,575	1,715	1,523	1,858
17	1,549	1,652	2,066	1,837	1,228	1,788	2,237	1,294	1,281
18	1,927	1,705	1,652	2,047	1,274	2,276	1,918	2,066	1,755
19	1,818	1,447	1,333	1,207	1,615	1,316	1,665	1,761	1,836
20	1,755	1,624	1,755	1,399	1,682	2,139	1,048	1,387	1,383
21	1,493	1,523	1,383	1,527	1,346	2,565	1,783	1,665	2,128
22	1,682	1,064	1,419	2,120	1,230	1,861	1,478	1,281	1,482
23	1,294	1,346	2,024	1,483	2,509	1,621	1,665	1,245	1,665
24	1,836	1,493	1,732	2,112	2,080	2,416	1,783	1,346	2,138
25	1,836	1,624	1,809	1,905	1,608	1,448	1,285	1,836	1,387

N° foto	G 89		
1	1,652	1,962	1,346
2	1,241	2,170	1,571
3	1,241	1,858	2,191
4	1,512	1,333	1,596
5	1,523	1,333	1,719
6	1,732	1,662	1,512
7	1,362	1,387	1,523
8	1,419	1,387	1,478
9	1,427	1,665	1,285
10	1,299	1,285	1,146
11	1,383	1,818	1,482

12	1,783	1,245	1,447
13	1,956	1,285	1,009
14	0,952	1,478	1,285
15	1,830	1,523	1,151
16	1,918	1,719	1,962
17	2,007	1,818	2,154
18	1,581	1,682	1,882
19	1,599	1,858	1,549
20	1,241	1,809	1,682
21	1,719	2,066	1,702
22	1,346	1,399	1,482
23	1,399	1,610	1,682
24	1,581	1,903	1,512
25	1,682	1,715	1,665

Anexo No 15. Macerado largo de fibra (API), posición A

N° foto	G 6	G 10	G 12	G 41	G 51	G 57	G 68	G 71	G 77	G 89
1	541	660	669	747	569	737	715	697	713	599
2	642	658	653	817	608	778	775	675	840	645
3	699	788	709	747	669	878	828	644	720	768
4	714	649	543	749	745	686	804	372	761	783
5	769	762	667	567	724	905	802	385	710	775
6	745	789	715	727	719	724	715	707	859	782
7	732	667	720	652	752	774	803	648	781	846
8	655	751	755	871	698	782	788	725	777	827
9	676	724	555	770	730	711	690	694	763	813
10	709	549	724	719	800	776	742	734	767	795
11	739	656	820	586	699	708	785	802	573	665
12	815	817	743	655	772	713	761	714	780	702
13	555	721	612	677	809	796	641	783	784	846
14	625	664	664	744	758	738	712	726	665	737

15	742	670	760	781	732	858	701	796	614	791
16	724	660	743	678	769	761	836	739	606	868
17	780	730	698	657	820	783	717	755	819	913
18	715	736	726	680	763	797	726	674	807	831
19	711	618	804	611	717	804	747	774	732	787
20	809	729	741	813	710	890	752	775	716	733
21	824	892	713	625	749	655	782	830	723	744
22	865	802	824	768	589	770	667	726	663	796
23	727	729	773	891	690	731	636	725	646	801
24	736	625	719	693	724	684	683	721	671	861
25	756	742	737	749	749	661	730	665	742	800

Anexo No 16. Macerado largo de fibra (API), posición B

N° foto	G 6	G 10	G 12	G 41	G 51	G 57	G 68	G 71	G 77	G 89
1	954	739	885	918	910	978	1000	941	787	831
2	963	715	913	984	895	716	953	828	887	955
3	895	697	873	752	917	910	944	994	996	972
4	911	915	910	910	1001	701	851	788	979	976
5	1019	910	927	765	990	800	835	861	1007	1052
6	1004	1037	917	931	891	691	663	857	810	1008
7	985	1036	887	800	914	873	725	948	911	950
8	963	963	977	831	949	655	842	959	807	979
9	888	1018	959	883	932	827	754	844	840	809
10	847	735	948	749	789	899	883	922	902	751
11	760	1010	1011	759	926	766	739	878	944	938

12	796	1031	993	894	961	826	1004	861	823	999
13	918	1086	959	779	976	1006	767	861	861	911
14	950	938	893	745	866	903	926	982	813	1057
15	976	861	865	1045	835	818	975	836	824	853
16	930	1026	776	869	954	938	913	952	996	871
17	942	883	823	944	944	918	908	817	993	971
18	836	976	943	803	925	901	899	855	948	983
19	869	709	925	882	929	918	927	806	896	817
20	901	943	850	928	971	878	991	904	947	958
21	954	847	947	735	867	813	898	850	945	840
22	1000	930	935	862	909	884	916	910	978	1008
23	987	928	1101	799	937	836	925	829	851	834
24	899	973	1005	790	976	978	889	848	835	972
25	845	907	924	835	1010	838	836	844	936	971

Anexo No 17. Macerado largo de fibra (API), posición C

N° foto	G 6	G 10	G 12	G 41	G 51	G 57	G 68	G 71	G 77	G 89
1	1010	1113	1015	973	999	1311	1001	1052	1287	1016
2	1120	1015	1125	1263	1013	990	1023	1074	1190	1096
3	1015	1216	986	1200	1056	961	1083	1174	1091	1002
4	1162	1128	994	1208	1054	967	1173	1054	1093	1025
5	1059	1417	1100	1163	1100	927	1061	1124	1135	1108
6	1094	1161	1028	1080	1029	1018	1103	1083	1083	1214
7	1085	1144	1094	952	1042	1103	1122	1221	1005	1090
8	1143	1187	1043	1198	1094	1148	1087	1116	1081	1020

9	1204	996	1120	924	1074	1312	1067	1230	990	1079
10	1120	1110	1041	1186	1010	1000	1183	1195	1064	1000
11	1042	1111	979	1109	1049	1185	1317	936	1099	1131
12	1016	1154	1045	1228	1037	1177	1106	1003	1100	1066
13	1049	1277	1099	1351	1120	1196	1124	1002	1111	1100
14	1066	1057	1152	1034	1055	1135	1205	1019	1050	925
15	1054	1033	1249	948	1082	1167	1051	1175	1103	1107
16	1008	1006	1230	1084	1240	1080	1242	1075	994	1111
17	1149	1244	1174	1208	1142	1066	1217	1091	1001	947
18	1035	1358	1025	1266	965	1164	1155	1122	1157	1122
19	1054	1021	1085	1052	1009	1166	1059	1168	1066	1156
20	1111	1174	1059	1003	1047	1200	1252	1060	1119	982
21	1219	1090	1044	1083	1138	1014	1113	1039	1079	1186
22	1020	1284	1163	1276	1083	1190	1145	1141	1100	1060
23	1041	1286	1036	1152	1070	1022	1181	950	952	1051
24	1078	1091	1092	1409	989	1191	1061	1009	1144	1032
25	1183	979	1145	1335	1066	1190	1107	1088	1049	1044

Anexo No 18. Macerado largo de fibra (API), posición D

N° foto	G 6	G 10	G 12	G 41	G 51	G 57	G 68	G 71	G 77	G 89
1	1254	1162	1254	1076	1288	1254	1263	1152	1107	1193
2	1315	1330	1199	1189	1273	1269	1495	1263	1384	1353
3	1286	925	1320	1071	1354	1420	1210	1191	1252	1156
4	1192	1505	1315	1058	1193	1316	1271	1212	1360	1328
5	1245	1161	1259	1042	1142	1254	1295	1161	1046	1286

6	1329	1350	1285	1299	1186	1400	1420	1238	1099	1245
7	1241	1166	1288	1197	1240	1345	1375	1350	1210	1157
8	1219	701	1198	1133	1213	1271	1129	1056	1287	1173
9	1296	1471	1166	1100	1228	1384	1206	1023	1263	1328
10	1274	1128	1245	1174	1388	1331	1250	1308	1158	1181
11	1209	1384	1258	1080	1284	1230	1228	1064	1333	1274
12	1185	1145	1265	1167	1264	1263	1313	1379	1137	1197
13	1180	1096	1355	1092	1294	1295	1327	1178	1229	1220
14	1195	1216	1247	1191	1075	1216	1215	1238	1358	1134
15	1199	1285	1236	1030	1143	1289	1400	1256	1154	1309
16	1269	1295	1285	1020	1284	1399	1166	1297	1151	1141
17	1257	1209	1093	1289	1230	1276	1105	1411	1402	1241
18	1248	1316	1147	1148	1251	1208	1304	1430	1241	1209
19	1225	1058	1244	1159	1259	1349	1135	1506	1233	1033
20	1420	1050	1268	1063	1264	1309	1368	1135	1274	1322
21	1158	1201	1187	1213	1263	1294	1370	1201	1338	1193
22	1296	1282	1249	1158	1202	1239	1252	1248	1260	1273
23	1255	1123	1255	1216	1294	1202	1049	1297	1264	1155
24	1286	1194	1150	1096	1130	1452	1377	1331	1222	1305
25	1149	1263	1384	1237	1246	1387	1202	1268	1318	1099

Anexo No 19. Macerado largo de fibra (DAP), posición A

N° foto	G 6	G 10	G 12	G 41	G 51	G 57	G 68	G 71	G 77	G 89
1	705	734	869	751	742	772	762	745	714	790
2	736	777	706	780	698	788	757	797	551	519

3	656	877	640	743	720	854	839	635	689	664
4	712	889	816	788	740	805	664	722	765	851
5	841	779	598	598	658	800	794	606	672	685
6	726	887	692	749	746	751	685	791	863	757
7	585	714	777	811	787	687	827	709	766	904
8	649	797	694	814	723	787	762	746	789	759
9	755	665	600	779	794	886	811	705	591	737
10	767	718	760	734	757	763	696	855	813	644
11	665	655	469	671	781	826	739	712	819	797
12	745	607	591	665	759	912	899	752	664	676
13	810	719	710	816	774	684	731	689	768	873
14	716	697	632	790	569	657	723	725	755	864
15	735	748	833	836	808	723	717	672	714	736
16	766	767	616	578	760	768	788	807	847	707
17	698	727	667	911	659	757	780	783	818	834
18	741	827	527	806	800	781	774	617	642	732
19	855	708	545	538	689	730	672	822	762	859
20	591	687	801	812	779	759	704	810	714	911
21	629	666	684	754	798	694	574	682	763	709
22	796	754	883	713	730	774	798	614	526	879
23	757	724	684	760	764	757	675	826	725	726
24	782	715	637	659	758	734	740	691	640	798
25	764	671	862	813	809	773	818	794	585	767

Anexo No 20. Macerado largo de fibra (DAP), posición B

N° foto	G 6	G 10	G 12	G 41	G 51	G 57	G 68	G 71	G 77	G 89
1	885	961	935	767	822	885	807	849	865	904
2	935	1064	964	822	892	709	921	875	856	836
3	965	798	874	740	874	829	995	885	1019	846
4	996	935	1090	849	993	930	933	808	947	864
5	853	999	874	1031	915	877	824	1055	827	947
6	914	822	859	847	963	907	969	819	836	835
7	952	973	821	993	898	929	1086	975	959	804
8	870	768	698	1045	907	943	871	902	860	838
9	929	1085	820	895	882	994	904	944	956	894
10	966	807	894	922	876	885	886	803	933	908
11	878	827	651	968	960	974	933	870	913	835
12	795	653	699	768	933	964	1033	865	909	869
13	842	983	929	964	842	857	903	1036	924	949
14	925	697	941	902	915	796	960	856	893	845
15	942	847	867	916	874	902	950	940	894	833
16	932	916	889	876	910	817	953	874	950	890
17	1019	940	954	932	983	882	930	872	994	860
18	879	765	763	943	917	946	947	911	980	915
19	840	908	844	1018	872	827	920	870	943	895
20	956	911	871	887	889	915	842	939	823	930
21	830	734	746	963	894	960	915	860	980	952
22	775	728	913	1006	922	876	890	909	892	901
23	852	740	855	910	983	878	905	856	919	948
24	943	870	917	983	769	907	849	945	959	865

25	965	829	617	759	887	920	945	863	920	965
----	-----	-----	-----	-----	-----	-----	-----	-----	-----	-----

Anexo No 21. Macerado largo de fibra (DAP), posición C

N° foto	G 6	G 10	G 12	G 41	G 51	G 57	G 68	G 71	G 77	G 89
1	1135	846	830	971	998	1063	1117	1047	1166	1041
2	1111	1213	743	1106	1057	1065	981	918	999	1031
3	989	1134	881	1160	1089	961	1114	1042	1005	980
4	1045	1263	1111	1276	1109	1054	1038	984	1060	1165
5	1036	1187	922	1111	1098	1179	957	980	969	1143
6	1015	1176	933	990	1010	1009	1029	957	999	1067
7	1025	984	1085	1006	1146	947	1056	964	1041	1116
8	1145	1123	881	1086	1187	1104	1100	1009	1056	995
9	1214	1139	1091	1164	1036	1016	1019	1014	1107	1054
10	1258	1099	1215	1097	1068	1085	908	1055	1129	1006
11	1113	1171	913	1040	1018	1085	1154	1033	993	1111
12	1027	1275	1017	1070	1111	984	1054	1002	996	1267
13	1089	930	933	909	1162	1002	1142	1097	1012	1071
14	1043	1175	1001	1028	1124	1233	1069	956	1022	1214
15	1110	1314	1036	1041	1000	1110	1290	1060	1249	1015
16	1045	1138	1126	1058	1018	1146	1036	1170	1180	1147
17	1171	1229	1128	1023	1131	1193	1135	1085	1195	1106
18	1085	1296	922	1005	1045	974	1162	1060	1046	1145
19	991	1305	1157	975	985	1187	1103	998	1006	1053
20	1036	1170	1045	969	998	1278	1005	1002	1174	994
21	975	1136	1044	1008	1008	1127	1117	900	1156	1151

22	1099	1176	1000	1062	1017	1055	1003	1100	1150	1102
23	1008	1153	1018	964	1062	1100	1020	1055	990	1131
24	1000	1365	957	1162	1100	1243	1131	1084	1146	1188
25	1062	1280	1098	1132	984	1146	1205	1007	1116	1197

Anexo No 22. Macerado largo de fibra (DAP), posición D

N° foto	G 6	G 10	G 12	G 41	G 51	G 57	G 68	G 71	G 77	G 89
1	1190	1279	1184	1037	1287	1196	1269	1029	1311	1305
2	1183	1194	1180	1203	1197	1208	1094	1105	1322	1156
3	1254	976	1207	1303	1240	1180	1294	1124	1138	1230
4	1155	1254	1048	1055	1229	1250	1110	1104	1100	1247
5	1287	1167	1106	1237	1298	1080	1347	1251	1238	1158
6	1359	1141	1044	1329	1287	1109	1215	951	1243	1181
7	1259	1228	1160	1223	1172	1144	1324	1108	1102	1266
8	1125	1137	1185	1275	1257	1271	1186	1019	1127	1272
9	1187	1416	1150	1387	1159	955	1149	1096	1198	1280
10	1355	1059	1084	1320	1178	1133	1012	1161	1334	1214
11	1584	1164	1000	1160	1233	1181	1017	1173	1128	1250
12	1325	1138	935	1254	1172	1153	1225	1243	1331	1573
13	1231	1173	1295	1099	1185	1206	1194	1085	1172	1219
14	1252	1274	1122	1048	1128	1128	1190	1126	1366	1190
15	1159	1202	1133	1173	1278	1051	1160	1130	1369	1115
16	1098	1308	1172	1226	1208	1119	1047	1048	1116	1222
17	1050	1232	1084	1260	1352	1025	1442	1111	1336	1223
18	1248	1172	1000	1172	1187	1248	1025	1150	1200	1237

19	1213	1292	1068	1111	1312	1312	1324	1007	1177	1195
20	1293	1058	1074	1121	1347	1274	1270	1166	1119	1274
21	1238	1140	1113	1244	1369	1184	1204	1106	1190	1454
22	1258	1308	1257	1149	1249	1368	1306	1104	1214	1132
23	1068	1231	936	1096	1272	1213	1198	1125	1126	1238
24	1328	1186	1072	1152	1288	1217	1123	1107	1254	1229
25	1355	1148	1023	1285	1233	1437	1366	1028	1298	1359

Anexo No 23. Macerado ancho de fibra (API), posición A

N° foto	G 6	G 10	G 12	G 41	G 51	G 57	G 68	G 71	G 77	G 89
1	15,5	20,6	17,9	20,8	15,5	16,4	14,8	15,1	17,3	17,9
2	15,6	17,0	16,5	17,9	19,8	18,1	19,0	16,0	15,3	14,1
3	14,0	21,7	18,0	19,4	17,0	16,0	22,7	19,0	19,0	16,9
4	16,8	19,4	18,1	16,0	17,8	21,6	18,1	16,9	16,9	13,3
5	17,9	19,9	17,9	17,6	18,6	19,0	18,0	16,1	17,2	16,9
6	17,3	21,6	15,1	16,8	17,4	21,4	19,7	17,0	17,7	19,3
7	18,6	18,9	16,6	15,1	17,9	19,4	22,3	12,3	16,0	18,4
8	17,8	21,1	16,4	19,0	16,4	21,0	19,8	15,3	16,9	17,6
9	19,4	23,8	19,0	17,5	15,4	19,4	18,1	14,8	16,9	17,9
10	18,6	18,0	19,4	17,3	19,3	15,1	16,9	15,2	14,8	15,3
11	19,1	22,2	17,7	16,9	17,0	19,4	17,6	18,1	15,3	16,9
12	17,9	20,6	16,6	19,8	18,1	18,1	20,5	18,0	13,3	17,9
13	19,8	19,0	18,0	17,0	19,0	17,8	21,0	19,0	14,8	16,0
14	17,5	16,4	18,8	16,4	19,4	17,8	22,6	18,1	15,1	16,4
15	15,6	19,4	17,7	17,3	20,0	19,9	17,4	17,9	16,9	18,8

16	16,2	18,1	20,3	16,9	16,1	22,6	19,0	16,9	14,1	17,9
17	16,5	18,1	19,4	18,8	21,6	19,8	16,0	19,8	14,7	17,8
18	16,4	19,8	18,9	16,9	17,4	18,8	17,2	13,3	15,3	15,3
19	17,7	19,4	18,3	15,3	19,6	19,8	18,8	17,3	16,9	16,9
20	15,0	19,4	21,6	16,5	20,2	22,0	17,3	16,9	15,2	16,1
21	16,7	23,1	20,6	17,7	17,9	18,1	16,9	16,4	16,4	18,8
22	19,8	18,8	21,0	17,8	18,9	19,4	16,9	16,5	15,3	19,0
23	20,3	21,0	18,9	18,9	17,5	16,4	17,4	17,9	16,0	16,9
24	17,0	19,9	18,8	15,1	15,9	19,0	21,6	19,0	14,1	15,9
25	17,3	21,6	17,4	17,8	17,4	19,3	15,1	19,8	16,3	16,4

Anexo No 24. Macerado ancho de fibra (API), posición B

Nº foto	G 6	G 10	G 12	G 41	G 51	G 57	G 68	G 71	G 77	G 89
1	19,3	16,9	20,7	21,4	20,1	16,4	21,9	19,4	21,1	20,0
2	20,0	17,8	22,7	18,8	19,8	19,0	22,3	21,0	19,0	19,9
3	19,5	22,7	21,1	20,7	18,6	23,5	19,9	21,1	18,9	21,0
4	22,9	23,5	21,6	18,9	21,1	18,9	23,2	22,0	21,0	18,6
5	22,7	22,7	21,6	19,9	19,6	24,5	16,9	18,0	18,0	21,4
6	21,6	19,8	19,4	21,0	20,7	18,9	19,8	22,7	19,8	21,6
7	21,0	25,3	18,9	21,6	21,0	19,6	22,7	21,9	17,0	22,3
8	24,0	24,6	19,4	19,4	21,6	21,0	23,5	21,7	19,9	20,1
9	20,8	23,1	17,3	21,0	20,8	21,6	22,7	21,1	20,0	21,1
10	22,5	25,6	20,7	21,6	20,8	21,0	21,8	23,9	20,1	21,2
11	20,6	23,5	19,2	19,8	22,6	21,9	21,6	25,0	20,7	21,6
12	25,2	26,6	19,2	17,3	21,1	21,1	21,0	20,1	18,0	19,0

13	18,0	24,0	21,1	17,0	19,2	23,1	20,7	19,5	23,2	20,5
14	17,3	21,0	20,7	21,1	21,1	20,8	23,4	23,3	21,1	19,0
15	20,4	19,4	19,8	21,1	22,0	22,6	21,1	22,4	19,0	18,9
16	21,1	25,6	21,0	21,4	23,6	23,5	22,4	19,4	25,4	20,8
17	21,4	27,6	18,7	21,1	22,1	19,8	23,2	19,8	22,4	18,9
18	19,4	26,6	18,5	18,1	23,6	20,7	19,5	20,5	20,3	21,0
19	21,4	24,5	22,5	21,0	21,4	19,8	23,1	21,1	20,1	19,5
20	18,4	21,6	23,1	19,3	21,2	23,3	25,6	23,2	20,2	20,8
21	20,1	23,5	27,4	21,2	19,6	21,1	23,2	20,3	21,3	21,6
22	24,5	27,4	21,6	20,7	20,7	22,3	22,8	21,7	21,9	21,0
23	21,6	22,7	24,5	22,2	21,4	22,7	23,5	23,9	21,2	19,9
24	21,6	28,6	20,7	22,0	23,0	21,4	19,9	22,7	20,0	20,7
25	22,8	21,0	21,4	21,4	19,1	21,0	21,7	21,8	22,4	21,5

Anexo No 25. Macerado ancho de fibra (API), posición C

N° foto	G 6	G 10	G 12	G 41	G 51	G 57	G 68	G 71	G 77	G 89
1	24,6	20,7	24,6	23,5	25,5	25,6	23,1	26,9	23,2	25,3
2	23,2	24,6	24,8	27,6	24,4	24,0	26,3	29,5	22,7	23,5
3	27,0	29,4	27,0	24,6	27,3	28,3	25,4	23,2	23,5	27,6
4	28,4	28,3	28,7	28,6	24,4	23,6	24,5	27,3	22,3	24,0
5	24,1	26,3	26,9	26,0	26,6	25,3	20,8	27,8	24,6	24,5
6	24,5	23,8	24,0	26,3	24,5	26,3	24,6	25,4	25,0	27,3
7	26,9	23,5	23,1	23,1	27,1	24,3	25,6	25,1	22,3	23,2
8	25,6	28,0	25,0	28,0	29,0	28,6	25,3	25,9	20,7	26,6
9	25,5	26,9	24,0	20,7	25,6	27,4	23,8	34,2	24,0	25,4

10	23,0	24,6	26,9	27,3	23,2	25,6	25,2	23,0	21,6	24,1
11	22,4	25,6	26,7	24,5	28,6	26,9	24,5	28,0	23,6	21,4
12	24,8	26,9	27,8	27,4	26,6	25,3	27,4	26,4	23,9	25,6
13	25,2	24,6	25,6	24,5	25,5	22,6	25,4	26,9	22,2	25,5
14	27,3	23,5	26,5	26,6	26,5	23,2	26,7	26,7	25,6	21,6
15	22,7	24,5	28,8	27,3	26,7	23,0	21,9	28,5	22,7	25,4
16	23,8	20,7	27,1	28,2	25,3	28,6	28,3	29,5	21,1	26,0
17	23,1	25,3	26,3	25,6	26,6	27,4	22,4	27,3	22,2	24,7
18	22,4	26,3	25,0	26,0	27,6	29,9	23,2	25,9	21,3	24,3
19	20,7	29,7	28,3	25,3	28,8	25,3	23,6	25,0	23,6	19,8
20	21,0	26,7	26,3	26,7	26,8	26,3	23,1	27,4	23,2	22,3
21	19,5	26,3	24,5	24,5	24,0	22,2	25,6	23,9	25,2	26,7
22	28,9	28,2	26,8	23,5	23,9	26,5	27,3	28,4	23,2	25,4
23	22,5	26,7	27,4	23,5	25,5	25,3	26,8	25,4	21,7	22,7
24	21,4	22,7	26,5	26,3	28,9	26,9	28,8	28,7	23,3	24,0
25	23,5	22,6	20,7	27,3	26,5	28,6	28,9	30,1	26,9	25,2

Anexo No 26. Macerado ancho de fibra (API), posición D

N° foto	G 6	G 10	G 12	G 41	G 51	G 57	G 68	G 71	G 77	G 89
1	25,1	22,6	28,1	22,7	27,4	26,4	22,0	24,8	27,8	29,2
2	24,0	19,9	21,0	27,4	29,5	29,0	31,0	28,5	31,3	24,6
3	22,1	21,0	28,6	23,5	30,5	22,9	25,7	28,8	23,2	28,2
4	28,4	26,3	31,5	25,6	28,6	29,7	25,3	26,9	28,4	30,5
5	30,7	24,6	29,7	30,1	28,1	30,8	29,7	32,4	29,5	29,7
6	30,1	24,0	28,6	25,6	27,9	26,3	28,0	32,2	28,5	26,6

7	27,0	21,9	28,3	26,6	25,0	21,9	26,6	29,3	29,1	23,8
8	26,3	21,1	25,1	26,0	27,0	25,8	28,6	28,7	27,8	25,5
9	27,8	25,6	26,3	24,0	24,0	25,4	29,4	26,4	22,4	31,6
10	27,7	20,7	28,8	27,4	31,5	27,4	23,6	28,0	28,7	28,3
11	30,3	24,6	30,7	26,3	28,6	28,1	24,0	28,3	26,9	28,6
12	29,2	23,8	32,5	27,3	29,7	29,6	21,6	26,9	27,5	29,9
13	29,2	21,0	28,5	22,3	26,7	27,0	23,5	24,8	28,5	26,7
14	25,1	26,0	29,9	28,0	23,6	20,9	18,0	29,7	25,9	26,9
15	24,8	30,1	27,3	27,3	26,9	31,5	26,7	26,4	28,7	28,0
16	28,3	22,7	22,7	25,6	28,2	28,9	28,6	29,8	30,6	24,0
17	28,5	28,6	28,9	26,9	28,2	22,6	30,3	24,8	32,9	28,3
18	28,2	25,3	30,1	29,2	22,3	25,1	26,4	30,1	25,4	22,6
19	30,9	21,0	22,7	30,6	30,1	28,9	25,6	27,4	27,4	27,4
20	24,5	26,6	23,1	28,2	30,3	26,5	25,0	24,8	31,7	25,4
21	26,6	27,4	29,8	30,1	27,2	26,3	26,9	31,0	27,3	26,3
22	26,3	29,4	27,5	31,5	28,2	30,1	25,7	30,7	27,9	29,2
23	30,5	26,3	30,0	29,7	26,6	21,0	31,5	26,1	28,5	27,6
24	29,0	22,6	26,5	25,3	25,6	29,3	27,0	29,1	33,4	28,4
25	22,7	24,0	29,1	28,3	29,7	27,7	27,6	29,2	30,4	25,6

Anexo No 27. Macerado ancho de fibra (DAP), posición A

N° foto	G 6	G 10	G 12	G 41	G 51	G 57	G 68	G 71	G 77	G 89
1	17,6	19,8	18,8	16,0	17,2	17,9	17,1	17,8	16,9	16,0
2	17,9	18,9	17,9	17,9	15,3	17,6	16,9	15,3	18,8	16,4
3	18,9	19,0	17,3	19,9	17,0	14,8	15,3	16,0	18,0	15,3

4	17,5	22,7	21,0	19,4	18,7	18,8	14,8	13,6	16,9	18,1
5	16,4	18,8	16,4	17,9	16,0	17,9	16,0	19,0	17,9	16,0
6	16,8	20,8	18,9	17,8	14,6	17,8	14,7	21,1	16,4	15,1
7	14,0	20,7	16,8	18,9	18,1	17,0	16,9	20,1	18,5	16,9
8	16,4	19,8	19,8	19,9	16,4	16,0	14,7	17,0	17,9	20,7
9	17,0	16,9	18,1	22,6	17,1	17,3	18,0	18,4	17,3	19,9
10	18,8	17,0	16,9	20,7	15,8	17,9	19,0	16,4	16,8	19,8
11	18,9	17,8	17,4	18,1	16,5	14,8	14,6	15,1	15,3	17,4
12	15,2	15,1	18,0	16,8	15,1	16,9	18,9	17,3	19,4	18,1
13	14,4	17,8	16,4	17,3	18,0	18,8	16,4	19,5	15,3	18,2
14	13,9	19,9	19,8	21,0	16,8	16,4	16,0	17,7	19,8	18,9
15	14,1	19,4	19,4	17,9	19,3	19,8	21,1	13,0	15,1	16,4
16	17,4	19,0	16,9	16,7	20,8	19,4	18,1	19,0	17,8	17,9
17	16,4	19,0	19,5	21,0	19,7	16,8	18,8	16,5	17,3	15,3
18	18,7	20,8	16,4	19,8	17,0	18,1	19,0	18,0	12,2	19,8
19	18,0	18,1	16,4	17,3	19,5	15,1	20,7	21,3	18,1	16,3
20	14,3	19,5	17,9	21,6	21,4	17,3	16,9	17,4	16,9	14,8
21	15,3	16,0	16,9	19,8	17,0	18,0	18,9	20,3	17,3	18,1
22	15,8	17,0	16,4	19,4	16,5	16,4	19,9	21,2	16,7	17,3
23	18,9	19,8	19,8	16,4	17,9	18,0	15,8	22,4	17,6	16,5
24	20,5	16,4	20,7	17,8	18,4	18,1	16,5	16,7	17,5	16,9
25	17,2	19,0	21,7	21,0	19,2	21,1	17,3	17,0	19,3	18,5

Anexo No 28. Macerado ancho de fibra (DAP), posición B

N° foto	G 6	G 10	G 12	G 41	G 51	G 57	G 68	G 71	G 77	G 89
------------	-----	------	------	------	------	------	------	------	------	------

1	17,8	17,9	18,1	22,3	21,8	21,9	17,3	23,8	20,1	21,1
2	19,5	18,1	21,0	19,0	20,8	19,5	21,0	21,9	19,5	18,9
3	21,6	22,7	21,0	21,9	23,5	22,3	21,9	20,8	20,2	17,3
4	21,0	19,4	20,7	23,2	21,6	23,5	24,5	19,8	20,3	20,1
5	20,7	21,6	17,8	21,1	21,0	19,8	22,0	24,6	22,4	20,9
6	22,4	19,8	16,0	21,2	22,8	21,0	24,5	25,4	20,9	21,9
7	18,9	19,4	21,4	23,5	19,7	21,1	21,0	22,6	21,1	21,6
8	20,7	23,5	19,4	25,3	22,6	22,7	20,8	21,9	20,3	21,4
9	19,4	20,7	19,4	21,6	19,4	22,0	20,	20,8	19,0	20,2
10	19,6	22,7	17,9	18,9	17,8	21,8	22,4	20,9	17,7	20,7
11	18,1	19,4	22,5	26,3	21,7	19,4	19,8	17,9	21,9	19,8
12	23,0	18,1	19,4	21,6	22,3	22,3	21,5	23,5	20,1	19,0
13	22,7	22,6	21,6	23,5	20,9	18,2	21,7	22,0	21,7	21,9
14	23,1	21,0	19,9	25,3	23,2	19,0	21,6	22,7	20,0	21,7
15	26,6	20,7	20,7	21,6	18,7	20,8	22,4	21,0	21,3	19,8
16	22,6	23,2	18,8	22,3	24,9	19,8	19,8	22,6	20,8	19,8
17	23,4	21,9	20,1	27,4	22,9	16,9	22,6	20,8	21,4	21,7
18	17,8	19,8	21,0	19,4	25,6	22,3	24,5	21,1	22,2	22,7
19	22,0	21,0	21,6	22,0	23,5	22,7	25,0	22,3	19,0	22,7
20	21,2	16,9	22,6	19,5	22,9	21,0	23,5	22,8	21,3	22,7
21	21,4	22,6	19,4	21,6	21,4	24,0	22,6	20,6	20,1	23,0
22	20,0	19,9	21,0	21,0	22,5	19,4	21,4	21,4	22,2	20,8
23	24,0	21,1	19,6	20,7	22,1	20,8	23,2	20,9	21,7	22,9
24	23,9	20,7	24,0	19,4	20,7	18,8	20,7	22,5	15,8	20,4
25	22,8	23,2	21,4	18,8	20,7	18,7	21,6	20,8	21,0	22,6

Anexo No 29. Macerado ancho de fibra (DAP), posición C

N° foto	G 6	G 10	G 12	G 41	G 51	G 57	G 68	G 71	G 77	G 89
1	27,5	19,8	21,8	24,5	25,5	21,1	24,5	25,0	23,2	24,6
2	22,8	27,4	19,9	26,9	25,8	21,4	25,3	22,7	25,4	24,6
3	25,5	21,6	21,4	22,7	23,8	26,3	22,3	21,5	22,8	23,5
4	25,4	25,6	23,1	27,6	24,6	23,8	24,0	26,0	26,4	24,5
5	26,0	24,5	21,7	24,6	21,8	24,0	23,8	24,0	22,6	24,4
6	27,4	21,0	20,8	23,8	24,3	20,3	27,3	25,0	20,7	20,6
7	24,6	24,5	19,8	25,4	24,9	25,2	23,8	23,2	24,5	22,3
8	23,0	18,9	21,0	26,3	27,3	25,3	26,3	25,4	21,9	24,5
9	26,9	23,5	22,3	24,5	22,6	25,6	27,6	22,4	25,2	19,8
10	26,8	18,8	21,6	24,6	24,6	19,4	25,0	23,4	25,6	25,2
11	22,3	19,4	22,7	25,4	24,5	24,0	23,3	25,6	22,7	24,8
12	21,3	25,0	19,0	25,7	25,0	24,0	20,3	24,5	24,5	25,3
13	19,0	20,7	21,0	23,0	23,0	21,9	20,4	25,3	23,3	23,8
14	22,4	21,4	22,3	26,3	22,8	21,9	24,8	27,3	25,9	23,5
15	23,1	22,7	22,4	25,6	25,6	24,5	23,3	26,3	24,0	21,9
16	20,7	22,5	23,4	17,6	19,9	22,6	24,0	23,2	21,5	25,3
17	25,0	21,0	21,8	24,0	20,0	25,2	25,4	18,1	23,2	24,0
18	22,5	25,3	19,0	27,3	27,8	24,6	20,9	29,2	26,9	24,0
19	18,6	21,9	21,6	26,7	26,2	25,3	26,0	27,4	24,3	23,4
20	25,4	19,8	22,3	21,6	26,1	25,4	25,5	28,6	26,0	29,7
21	21,8	22,3	23,1	26,9	24,3	24,6	23,2	25,6	25,0	26,3
22	22,7	23,8	20,9	25,6	23,4	22,4	24,3	24,8	23,3	20,8
23	26,4	21,1	19,8	21,9	26,0	21,4	27,8	25,0	23,9	22,0

24	24,0	22,6	19,6	20,7	24,9	25,4	24,9	27,5	24,4	23,6
25	22,7	23,5	22,4	22,7	25,4	20,8	20,6	24,9	24,8	23,9

Anexo No 30. Macerado ancho de fibra (DAP), posición D

N° foto	G 6	G 10	G 12	G 41	G 51	G 57	G 68	G 71	G 77	G 89
1	29,1	24,5	25,3	26,6	29,6	23,9	28,4	28,5	26,3	27,4
2	28,6	24,0	19,8	20,8	31,0	22,6	33,1	28,4	25,2	28,6
3	25,1	26,9	23,8	28,2	28,1	22,9	26,4	29,8	27,6	26,9
4	26,3	23,2	27,4	26,0	25,4	27,6	24,1	24,6	28,6	27,8
5	25,9	23,5	23,2	29,3	27,8	25,2	28,3	29,1	26,6	27,6
6	29,9	24,1	19,9	27,4	25,5	22,6	28,0	28,8	22,6	25,8
7	32,3	27,3	22,7	28,2	26,4	27,4	26,1	23,9	26,7	30,1
8	28,5	25,3	24,6	24,6	31,4	25,6	28,0	26,1	25,6	29,3
9	27,3	25,4	26,0	27,3	25,0	29,5	30,7	30,2	21,1	27,6
10	27,0	23,2	22,3	26,6	29,0	24,8	26,8	26,7	23,2	28,4
11	25,8	25,4	25,5	29,9	28,7	26,6	28,3	25,0	22,0	26,0
12	27,6	23,4	23,8	29,4	28,1	24,6	28,4	26,4	32,2	32,1
13	25,5	29,2	25,3	24,5	32,1	25,5	26,9	29,5	19,8	27,2
14	24,4	23,5	27,3	24,8	27,9	29,7	29,7	28,3	29,3	26,7
15	24,3	20,8	26,0	31,2	29,3	33,2	30,3	30,6	25,4	30,0
16	22,9	26,0	23,6	26,0	27,3	26,0	30,0	28,5	23,7	32,1
17	23,3	23,8	22,3	34,0	30,4	26,7	31,4	28,7	23,6	28,0
18	29,7	23,5	28,4	31,9	31,6	29,6	26,9	31,7	26,7	28,2
19	28,3	29,7	24,3	25,3	28,3	33,9	23,7	25,0	26,6	26,0
20	25,6	25,3	27,6	29,2	28,2	28,3	23,9	30,4	31,5	28,0

21	26,2	23,5	26,0	25,4	29,8	29,2	27,1	34,4	23,5	27,3
22	27,6	25,6	31,5	29,9	28,0	31,5	29,8	26,9	29,7	28,5
23	27,1	27,4	24,0	23,1	26,1	25,3	26,9	28,0	28,6	28,6
24	26,4	23,1	22,3	25,6	30,9	25,6	26,0	27,4	28,6	29,7
25	25,6	22,3	26,0	24,5	30,1	27,3	32,9	27,9	27,9	28,8

Anexo No 31. Frecuencia vasos API, posición radial B

N° foto	G 6	G 10	G 12	G 41	G 51	G 57	G 68	G 71	G 77	G 89
1	10	7	11	10	10	8	11	12	8	10
2	9	7	10	9	10	8	9	10	8	9
3	11	7	10	14	11	8	6	8	8	12
4	11	5	8	12	12	8	10	7	7	10
5	15	6	9	11	13	10	11	6	11	11
6	13	8	9	20	10	14	6	7	5	8
7	17	9	5	17	13	16	9	11	6	10
8	9	8	9	13	11	15	7	10	6	8
9	9	5	8	15	11	20	7	11	6	6
10	11	6	7	12	6	13	9	10	7	9
11	12	8	6	11	10	18	5	11	6	12
12	15	11	5	19	9	13	7	12	9	12
13	14	10	6	27	10	14	8	14	10	8
14	12	11	8	16	11	12	8	9	11	11
15	12	8	8	17	12	14	4	11	8	13
16	11	9	5	9	8	14	7	10	15	12
17	10	8	6	8	8	15	8	18	16	17

18	8	7	10	13	10	11	7	15	17	16
19	7	9	6	19	12	12	6	18	21	20
20	7	11	8	20	11	10	7	14	18	13
21	13	7	10	7	13	9	6	11	10	8
22	11	8	13	6	7	10	6	12	18	8
23	11	11	9	6	12	12	9	10	13	7
24	15	7	9	8	11	7	8	6	13	6
25	17	10	10	8	10	10	6	10	11	9

Anexo No 32. Frecuencia vasos API, posición radial D

N° foto	G 6	G 10	G 12	G 41	G 51	G 57	G 68	G 71	G 77	G 89
1	7	9	4	6	9	6	4	8	8	6
2	5	8	5	6	6	7	5	5	7	6
3	5	6	6	6	7	6	5	6	9	7
4	8	9	6	5	8	7	6	7	6	5
5	6	9	7	5	5	8	5	5	7	7
6	6	8	8	6	6	6	3	8	10	5
7	7	7	11	7	6	7	4	7	6	5
8	9	7	11	6	7	6	5	6	8	6
9	10	8	8	6	7	8	5	7	6	5
10	4	11	12	5	7	5	4	7	6	5
11	5	6	7	8	6	8	4	4	3	4
12	8	7	5	9	8	8	5	4	5	6
13	8	9	4	6	6	7	3	3	6	7
14	7	8	8	7	7	7	7	5	6	4

15	5	7	7	6	6	9	8	5	7	6
16	6	8	6	11	5	9	8	4	7	4
17	6	6	5	8	5	4	7	4	4	5
18	9	4	5	10	6	6	9	6	5	4
19	7	7	4	14	6	7	6	4	5	5
20	7	6	4	10	8	5	6	8	6	5
21	8	4	8	6	5	6	5	5	6	4
22	5	6	6	7	5	6	5	7	6	8
23	6	6	8	6	7	7	5	9	5	5
24	7	6	8	6	8	5	7	8	4	6
25	7	6	8	7	7	6	4	7	7	6

Anexo No 33. Frecuencia vasos DAP, posición B

N° foto	G 6	G 10	G 12	G 41	G 51	G 57	G 68	G 71	G 77	G 89
1	6	7	14	12	6	9	8	10	12	10
2	10	10	13	16	12	10	10	10	7	7
3	7	7	12	10	14	10	12	12	6	7
4	9	9	12	11	9	12	9	12	8	10
5	6	10	12	9	9	8	11	10	8	11
6	5	8	8	6	17	14	8	11	7	4
7	8	6	9	9	16	12	10	14	5	8
8	7	9	7	8	17	12	9	11	6	6
9	5	7	10	7	12	8	8	8	10	11
10	7	9	11	15	14	11	12	11	10	5
11	10	10	8	10	8	16	8	8	7	7
12	7	10	10	8	8	11	6	9	11	10

13	4	11	7	7	10	12	7	7	12	6
14	7	11	9	9	7	11	5	10	8	7
15	7	8	10	10	12	14	5	9	7	6
16	10	11	11	11	9	13	7	5	10	8
17	12	11	12	8	10	15	7	7	6	6
18	10	10	7	10	9	17	6	10	8	10
19	10	9	9	11	8	13	7	9	10	11
20	9	11	10	9	6	16	5	11	8	10
21	10	13	7	12	10	8	4	12	11	17
22	9	13	7	10	11	11	6	15	14	18
23	11	11	6	8	11	14	8	12	16	14
24	13	9	9	13	10	5	8	10	11	16
25	9	10	9	14	9	7	10	8	7	13

Anexo No 34. Frecuencia vasos DAP, posición D

N° foto	G 6	G 10	G 12	G 41	G 51	G 57	G 68	G 71	G 77	G 89
1	3	3	9	7	8	8	5	7	6	9
2	5	5	7	5	8	10	6	7	6	9
3	4	5	9	8	7	8	6	8	5	8
4	5	6	9	6	6	10	5	6	7	10
5	3	6	8	4	8	7	7	11	5	11
6	4	4	10	5	10	11	5	8	5	6
7	5	6	10	7	9	6	4	7	8	7
8	6	5	11	10	13	9	5	6	8	6
9	8	4	12	7	12	9	6	6	10	9
10	4	5	9	7	10	10	5	8	7	9

11	7	4	8	11	10	6	6	6	4	8
12	4	5	11	9	10	6	4	5	4	7
13	10	6	12	11	9	9	4	6	5	8
14	7	9	8	9	11	9	5	9	6	6
15	9	7	7	10	10	8	6	6	6	6
16	5	3	5	11	9	7	4	5	4	6
17	8	6	6	5	7	11	4	5	8	6
18	10	5	5	4	7	7	7	7	6	8
19	8	6	6	7	6	10	5	4	5	7
20	7	5	6	6	8	7	7	8	4	7
21	6	6	7	8	8	7	5	7	6	8
22	6	5	8	7	6	6	4	7	6	8
23	5	7	7	8	10	10	6	8	6	9
24	7	8	7	4	9	10	6	7	6	10
25	7	7	6	7	8	11	5	9	6	7

Anexo No 35. Diámetro tangencial de vasos (API), posición B

N° foto	G 6			G 10			G 12		
1	121	130	132	136	126	129	151	134	145
2	101	117	124	144	152	145	109	144	103
3	144	157	111	143	116	139	132	126	159
4	134	134	160	157	150	130	137	121	121
5	130	144	152	147	130	124	139	128	128
6	108	153	122	145	139	160	137	126	122
7	146	148	129	132	158	139	160	145	116
8	147	112	115	157	129	149	128	120	138
9	160	97	171	123	135	131	88	93	126
10	112	145	180	124	159	110	136	140	136
11	136	105	95	132	126	134	126	110	138
12	124	117	116	141	125	121	132	134	166
13	174	123	155	137	149	147	122	150	115
14	159	117	138	150	117	150	126	146	122

15	105	101	122	143	121	131	126	94	137
16	113	136	176	131	171	171	132	140	122
17	119	132	157	149	126	173	136	137	149
18	140	144	154	170	142	173	147	137	140
19	127	121	148	159	147	135	133	134	134
20	92	112	144	134	144	139	96	121	116
21	103	126	132	146	161	180	128	125	124
22	97	133	116	143	154	154	131	109	116
23	104	99	174	167	154	158	144	137	116
24	182	102	135	173	148	135	124	112	129
25	133	110	101	135	128	154	130	119	122

N° foto	G 41			G 51			G 57		
1	163	130	128	138	147	121	147	130	143
2	146	126	140	118	142	124	140	135	137
3	122	122	111	136	118	121	136	123	112
4	130	106	115	114	153	121	108	107	126
5	86	118	96	120	125	109	122	115	124
6	118	91	92	139	132	149	101	103	98
7	105	106	111	131	122	112	115	117	97
8	121	118	124	140	138	138	98	113	116
9	131	118	110	132	121	150	119	94	118
10	122	127	138	154	146	132	92	112	95
11	125	123	118	144	114	116	107	107	103
12	101	120	103	151	117	118	113	102	95
13	107	93	102	141	133	121	98	101	111
14	103	103	95	146	144	128	105	113	105
15	94	107	98	152	130	124	104	93	94
16	117	116	124	152	137	128	100	108	105
17	138	117	118	143	160	135	104	105	97
18	126	141	120	160	132	144	124	133	114
19	115	101	98	147	157	135	113	115	115
20	112	114	117	159	162	131	109	96	103
21	158	137	135	139	116	112	105	90	98
22	145	152	145	160	155	147	109	113	92
23	182	135	136	145	132	145	109	123	110
24	132	145	115	134	147	129	108	113	110
25	173	130	139	150	157	129	97	97	111

N° foto	G 68			G 71			G 77		
1	121	121	100	85	99	99	126	128	111
2	129	131	111	99	84	88	96	98	88

3	137	147	141	103	99	114	115	96	105
4	122	137	147	110	94	100	100	109	97
5	139	118	141	91	86	80	90	116	113
6	164	141	145	92	106	116	100	105	91
7	148	164	135	101	104	98	108	106	73
8	147	173	157	104	92	88	104	79	85
9	160	132	128	97	104	110	105	75	105
10	142	133	122	100	94	95	100	100	101
11	127	148	143	92	101	95	103	98	90
12	141	137	149	95	108	110	116	103	94
13	144	144	122	117	115	102	92	84	105
14	152	115	156	108	114	93	104	123	118
15	149	152	168	123	81	98	101	108	124
16	139	154	144	97	95	96	72	104	91
17	113	158	124	109	92	83	96	91	97
18	134	139	160	105	84	81	93	89	89
19	171	129	174	90	120	101	107	94	90
20	146	145	129	102	108	95	106	101	101
21	158	129	158	108	107	98	101	91	90
22	132	137	137	104	113	116	92	90	83
23	130	137	167	91	118	133	77	81	107
24	130	137	162	113	108	119	105	94	100
25	143	126	152	104	119	114	75	92	85

N° foto	G 89		
1	105	98	86
2	105	126	109
3	92	94	104
4	112	118	135
5	106	117	103
6	108	114	118
7	118	113	145
8	103	107	118
9	98	101	138
10	133	118	107
11	109	94	134
12	102	126	109
13	131	105	133
14	128	121	117
15	141	119	103
16	104	91	111
17	93	121	96
18	103	99	94

19	112	92	100
20	108	94	116
21	122	124	147
22	149	97	127
23	121	124	121
24	119	130	102
25	105	105	107

Anexo No 36. Diámetro tangencial de vasos (API), posición D

N° foto	G 6			G 10			G 12		
1	135	180	169	192	160	176	205	197	196
2	141	162	155	181	163	185	192	180	221
3	197	139	209	151	178	156	202	212	195
4	141	213	207	175	162	159	210	184	189
5	207	153	162	152	136	143	187	213	188
6	175	163	123	135	115	137	164	179	169
7	160	147	113	159	176	169	171	175	188
8	164	142	136	155	166	169	157	181	157
9	177	133	177	155	165	163	164	174	187
10	148	155	205	135	169	148	166	167	163
11	199	169	228	141	143	171	169	148	184
12	120	126	154	183	164	171	180	192	154
13	132	186	148	183	145	169	198	171	188
14	188	175	157	152	160	166	198	151	163
15	152	209	195	172	173	155	164	181	142
16	192	142	189	139	155	148	194	195	142
17	173	165	181	160	145	175	140	162	201
18	145	199	162	145	149	136	141	163	154
19	183	169	113	149	126	177	183	195	205
20	157	186	129	164	145	128	211	145	143
21	172	201	144	177	199	209	175	180	155
22	116	142	186	174	175	209	136	148	172
23	134	158	117	222	137	186	156	151	159
24	129	180	110	160	211	177	192	153	159
25	169	150	112	217	209	207	133	156	189

N° foto	G 41			G 51			G 57		
1	134	170	162	186	175	149	129	137	111
2	158	164	161	203	153	149	129	138	131
3	169	200	165	241	153	162	153	156	147
4	142	183	206	207	170	182	135	134	138

5	158	178	186	155	184	205	147	135	145
6	152	173	175	158	172	150	163	151	129
7	178	152	163	173	159	187	105	115	120
8	190	195	172	175	169	228	149	114	90
9	188	152	154	206	201	195	129	111	131
10	171	192	175	172	190	195	143	186	123
11	162	201	163	203	160	158	116	131	112
12	169	177	164	179	174	165	130	142	120
13	163	135	145	157	209	172	109	116	113
14	172	160	150	197	188	155	127	116	105
15	137	165	203	159	161	146	125	126	120
16	164	145	137	160	182	147	186	139	157
17	150	147	139	150	169	177	111	140	110
18	145	141	154	171	213	169	151	153	148
19	167	158	162	198	194	181	120	142	134
20	177	178	153	186	180	185	131	138	136
21	182	154	139	204	170	196	123	145	133
22	173	172	176	152	165	167	128	119	120
23	192	186	175	197	160	124	134	121	117
24	199	164	177	167	142	162	141	133	110
25	207	186	181	151	137	149	132	146	108

N° foto	G 68			G 71			G 77		
1	161	134	96	194	192	174	139	114	108
2	135	136	124	178	178	172	136	109	100
3	205	167	171	188	187	175	150	110	116
4	155	154	173	206	228	153	125	123	116
5	149	160	160	175	170	201	136	132	135
6	154	161	169	187	157	156	126	114	124
7	164	159	135	169	153	138	141	109	102
8	160	126	133	133	128	138	152	136	102
9	183	127	136	166	133	152	110	101	104
10	168	165	163	130	130	139	133	96	101
11	160	150	153	189	146	157	116	143	123
12	194	149	166	139	134	140	142	145	130
13	168	199	140	124	131	78	116	122	107
14	151	132	129	163	167	134	125	142	104
15	134	118	160	155	146	176	129	143	97
16	170	155	113	142	132	147	120	116	124
17	151	116	107	169	137	133	147	112	106
18	120	126	144	139	148	118	153	147	122
19	116	105	97	167	143	150	152	156	169
20	128	127	128	163	134	125	167	153	120

21	174	167	124	97	93	114	144	123	133
22	179	179	161	104	100	112	147	145	131
23	164	173	150	108	105	98	127	144	121
24	188	161	145	145	140	115	166	140	129
25	170	167	195	130	124	158	160	160	92

N° foto	G 89		
1	136	96	98
2	128	119	119
3	107	84	93
4	135	107	122
5	127	114	134
6	140	131	116
7	124	96	137
8	154	136	114
9	153	158	130
10	147	134	131
11	139	135	119
12	146	126	129
13	140	106	126
14	133	131	126
15	146	141	107
16	167	137	137
17	146	139	126
18	128	135	134
19	144	128	153
20	168	141	121
21	147	152	141
22	135	130	133
23	138	127	110
24	118	112	117
25	126	109	116

Anexo No 37. Diámetro tangencial de vasos (DAP), posición B

N° foto	G 6			G 10			G 12		
1	119	114	113	126	105	98	98	87	92
2	97	107	132	122	124	110	102	83	88
3	132	127	130	99	119	113	77	80	97
4	129	133	137	86	113	97	96	91	82
5	101	114	108	109	106	115	98	94	81
6	135	137	85	128	110	109	86	76	62

7	139	126	120	97	101	117	83	89	82
8	120	122	111	112	124	98	98	112	89
9	93	126	105	124	100	85	99	100	93
10	133	114	105	110	106	102	86	94	98
11	117	142	112	107	92	83	93	90	104
12	106	101	121	97	113	104	95	92	88
13	109	134	125	110	95	108	104	95	82
14	111	132	109	103	107	128	89	96	93
15	128	126	116	113	111	131	95	81	73
16	127	126	118	111	125	92	89	88	67
17	114	116	137	109	101	104	81	94	92
18	120	102	126	103	92	92	106	83	93
19	107	106	128	96	118	113	94	86	97
20	113	120	107	101	89	103	102	92	90
21	113	106	102	102	106	109	85	90	95
22	103	109	115	98	104	103	94	88	102
23	120	121	130	119	116	103	98	97	79
24	132	110	142	83	110	95	84	92	97
25	128	113	100	106	111	87	96	98	108

N° foto	G 41			G 51			G 57		
1	116	82	87	107	100	73	110	107	109
2	103	105	115	84	90	97	124	114	116
3	105	124	112	81	80	81	132	79	77
4	109	114	119	109	102	114	102	102	90
5	118	134	132	108	112	102	107	104	119
6	105	97	109	86	84	89	109	116	113
7	115	110	124	90	75	74	118	118	96
8	110	125	123	84	83	74	135	120	114
9	108	99	134	88	94	69	130	109	111
10	96	98	113	68	64	63	133	120	126
11	92	85	92	79	86	93	118	111	103
12	115	94	100	75	95	67	134	105	126
13	117	117	109	85	94	103	103	124	143
14	107	121	124	100	93	82	130	109	97
15	105	110	101	109	120	71	106	96	123
16	105	100	100	88	86	89	109	121	94
17	102	98	116	84	76	85	114	104	103
18	135	118	103	82	94	80	92	109	109
19	94	92	122	81	86	73	102	113	113
20	98	100	100	63	85	65	101	120	99
21	111	109	98	104	83	79	139	126	120
22	109	98	102	79	83	89	117	126	132

23	120	118	117	73	95	84	122	126	129
24	117	120	116	80	68	82	131	128	167
25	121	101	110	106	93	70	135	116	137

N° foto	G 68			G 71			G 77		
	1	152	143	126	112	119	133	107	116
2	128	102	141	111	119	131	151	112	158
3	137	139	115	105	102	98	155	147	137
4	100	152	105	115	113	88	153	155	156
5	122	134	140	113	109	109	141	149	116
6	132	120	139	111	114	119	138	140	124
7	137	145	136	126	113	113	149	155	163
8	156	156	132	135	107	120	143	151	173
9	131	130	148	115	115	117	141	111	169
10	135	139	145	98	98	107	134	135	118
11	158	165	153	120	109	105	109	126	135
12	154	145	173	111	98	94	117	113	139
13	134	130	134	100	113	130	149	103	104
14	179	160	167	129	120	127	124	109	101
15	179	141	116	120	113	127	107	111	112
16	111	141	154	103	119	109	126	128	145
17	120	142	133	122	119	130	116	137	115
18	152	158	174	107	126	115	160	114	140
19	166	98	153	120	100	107	158	133	136
20	109	130	159	113	124	137	136	138	113
21	149	187	193	129	120	110	107	103	124
22	143	141	164	122	111	107	117	105	105
23	139	169	188	107	124	122	112	100	115
24	169	154	99	127	141	122	129	109	140
25	118	120	160	161	142	121	124	119	95

N° foto	G 89		
	1	98	107
2	117	103	107
3	95	110	120
4	101	97	111
5	91	100	108
6	118	109	85
7	112	111	99
8	94	101	88
9	81	90	109
10	105	73	111

11	88	81	88
12	94	77	98
13	96	96	83
14	88	90	107
15	107	84	124
16	96	94	79
17	111	81	101
18	102	105	111
19	117	115	85
20	104	90	81
21	113	88	91
22	91	90	77
23	92	90	100
24	100	88	88
25	85	81	75

Anexo No 38. Diámetro tangencial de vasos (DAP), posición D

N° foto	G 6			G 10			G 12		
1	122	126	134	104	116	82	176	204	149
2	139	113	122	108	123	124	176	196	165
3	117	120	106	157	140	173	174	191	146
4	160	124	120	119	139	102	149	156	155
5	132	152	95	140	129	128	211	193	169
6	115	129	98	135	159	116	182	171	152
7	139	140	119	112	122	101	154	154	139
8	143	141	153	136	112	128	157	144	144
9	169	146	149	126	107	112	170	160	138
10	120	86	106	108	118	116	144	158	149
11	152	163	124	142	148	97	166	168	223
12	122	134	123	135	159	134	171	173	172
13	129	125	116	153	131	120	195	215	179
14	132	151	113	129	134	117	183	161	174
15	152	126	121	134	141	124	196	182	153
16	112	112	95	128	133	103	178	191	179
17	117	121	142	144	102	98	200	173	226
18	132	116	118	116	134	105	198	191	172
19	119	121	104	122	129	122	210	179	174
20	143	128	112	104	116	138	174	168	166
21	131	131	112	124	141	111	199	177	193
22	144	124	122	137	141	138	185	178	170
23	160	143	133	154	137	137	169	168	153
24	150	139	152	141	140	123	185	170	204

25	118	121	115	129	147	143	192	168	166
----	-----	-----	-----	-----	-----	-----	-----	-----	-----

N° foto	G 41			G 51			G 57		
1	131	129	107	162	154	139	144	143	136
2	130	108	148	192	162	160	145	146	129
3	132	113	98	154	145	141	126	126	129
4	128	130	126	166	169	185	164	167	152
5	145	120	117	180	165	156	158	147	122
6	107	126	107	148	141	145	154	143	158
7	152	122	103	152	130	136	167	182	169
8	133	115	120	154	147	137	139	124	120
9	162	148	122	150	147	137	138	153	156
10	115	123	133	143	149	130	122	120	154
11	125	133	116	139	147	134	156	133	157
12	115	112	101	158	141	128	147	162	112
13	120	122	109	179	173	167	169	162	150
14	137	122	113	148	154	160	161	147	122
15	120	124	107	156	138	140	177	107	124
16	132	117	100	162	154	141	156	145	173
17	126	111	100	165	145	141	139	145	162
18	128	122	114	164	145	158	177	154	171
19	122	120	111	126	141	148	150	140	153
20	126	111	111	150	117	143	162	141	147
21	117	137	113	143	154	156	177	146	171
22	130	124	111	141	139	141	190	164	160
23	120	111	109	145	141	133	186	158	171
24	111	98	83	145	146	120	171	164	146
25	133	117	112	152	143	127	181	145	137

N° foto	G 68			G 71			G 77		
1	175	139	154	144	120	131	169	139	139
2	175	195	179	150	143	119	138	158	124
3	191	186	141	154	137	142	173	160	157
4	190	164	152	163	144	122	167	160	161
5	178	172	132	148	144	127	148	133	118
6	161	156	134	185	191	181	154	143	96
7	156	184	175	170	170	143	137	149	139
8	160	156	171	157	173	200	139	143	139
9	163	156	164	169	166	161	137	141	122
10	186	162	143	199	154	175	146	142	135
11	154	128	182	158	147	124	171	167	160
12	165	157	170	189	143	164	192	192	152

13	158	130	137	127	117	120	201	220	179
14	156	111	157	130	127	118	212	175	182
15	218	205	149	138	127	116	171	171	172
16	162	164	142	170	118	121	173	143	148
17	135	109	172	149	141	149	184	178	173
18	141	158	152	135	141	136	160	188	156
19	107	169	115	159	163	141	188	175	194
20	160	128	132	148	147	139	194	155	222
21	148	154	150	135	101	103	146	173	175
22	115	167	145	141	122	126	214	179	178
23	158	118	112	113	103	115	190	225	174
24	152	162	103	126	138	107	169	143	147
25	181	133	203	119	92	108	229	169	175

N° foto	G 89		
1	137	134	124
2	111	138	116
3	168	163	138
4	148	147	142
5	176	159	130
6	148	150	133
7	144	143	146
8	163	143	149
9	157	159	139
10	164	143	143
11	150	139	124
12	162	128	129
13	159	120	134
14	143	137	146
15	159	143	153
16	142	135	133
17	166	145	131
18	132	129	119
19	160	134	125
20	178	146	138
21	144	156	125
22	115	138	132
23	136	137	137
24	137	132	128
25	149	147	109

Anexo No 39. Macerado largo de vaso (API), posición A

N° foto	G 6	G 10	G 12	G 41	G 51	G 57	G 68	G 71	G 77	G 89
1	245	314	228	195	287	266	286	288	241	314
2	309	258	275	234	353	275	367	323	223	273
3	274	253	392	188	412	358	251	283	218	300
4	207	252	228	286	399	259	343	272	289	374
5	284	256	267	274	350	267	381	272	238	392
6	198	436	258	260	388	270	331	263	222	258
7	232	212	351	257	326	370	284	351	273	290
8	348	229	198	240	268	235	259	210	282	217
9	309	337	304	258	333	370	218	247	207	276
10	337	269	338	287	369	302	205	301	307	289
11	311	286	367	310	308	288	353	353	263	266
12	325	223	263	266	336	275	290	201	277	336
13	301	262	283	241	271	283	234	234	255	400
14	340	296	297	207	285	317	290	340	278	323
15	282	324	290	253	279	323	337	337	267	325
16	267	355	325	228	256	311	282	334	282	309
17	329	281	332	338	410	367	293	274	285	349
18	284	396	272	258	389	294	258	259	267	236
19	261	303	296	233	363	296	224	267	302	305
20	325	367	409	200	355	297	227	282	323	319
21	266	311	330	197	307	367	325	283	330	326
22	259	324	299	199	266	351	354	256	306	340
23	248	291	278	314	294	393	305	284	328	305
24	258	256	296	261	251	306	297	274	281	438

25	322	269	325	248	276	349	256	313	266	296
----	-----	-----	-----	-----	-----	-----	-----	-----	-----	-----

Anexo No 40. Macerado largo de vaso (API), posición B

000 ON° foto	G 6	G 10	G 12	G 41	G 51	G 57	G 68	G 71	G 77	G 89
1	400	401	339	389	315	311	314	394	536	286
2	456	485	351	248	274	321	397	335	257	316
3	369	393	444	363	404	282	310	399	365	431
4	399	338	388	284	352	349	437	395	361	412
5	387	321	335	313	437	350	315	323	448	409
6	453	399	380	299	326	412	353	397	259	385
7	354	432	265	274	288	341	341	348	367	404
8	311	258	257	374	304	443	320	323	320	383
9	336	332	393	268	264	350	390	436	333	405
10	325	388	349	466	295	240	301	419	312	397
11	449	216	404	369	360	400	431	361	371	464
12	416	449	415	259	374	335	371	352	284	414
13	380	303	366	332	464	301	404	403	464	440
14	352	475	453	305	448	311	308	434	398	546
15	550	343	500	558	393	299	322	376	298	447
16	476	583	339	334	407	315	326	332	335	449
17	477	400	425	304	435	332	505	347	439	478
18	329	300	397	424	254	297	392	453	413	416
19	467	334	432	425	370	285	376	415	440	375
20	498	336	395	344	257	376	407	308	336	426

21	288	447	455	254	398	393	372	360	317	412
22	333	292	275	400	368	380	415	272	292	384
23	376	321	450	348	315	360	377	257	333	333
24	450	264	433	371	383	385	399	376	253	406
25	399	310	376	382	355	338	332	425	268	367

Anexo No 41. Macerado largo de vaso (API), posición C

N° foto	G 6	G 10	G 12	G 41	G 51	G 57	G 68	G 71	G 77	G 89
1	401	401	339	389	315	311	314	394	536	286
2	456	485	351	248	274	321	397	335	257	316
3	369	393	444	363	404	282	310	399	365	431
4	399	338	388	284	352	349	437	395	361	412
5	387	321	335	313	437	350	315	323	448	409
6	453	399	380	299	326	412	353	397	259	385
7	354	432	265	274	288	341	341	348	367	404
8	311	258	257	374	304	443	320	323	320	383
9	336	332	393	268	264	350	390	436	333	405
10	325	388	349	466	295	240	301	419	312	397
11	449	216	404	369	360	400	431	361	371	464
12	416	449	415	259	374	335	371	352	284	414
13	380	303	366	332	464	301	404	403	464	440
14	352	475	453	305	448	311	308	434	398	546
15	550	343	500	558	393	299	322	376	298	447
16	476	583	339	334	407	315	326	332	335	449
17	477	400	425	304	435	332	505	347	439	478

18	329	300	397	424	254	297	392	453	413	416
19	467	334	432	425	370	285	376	415	440	375
20	498	336	395	344	257	376	407	308	336	426
21	288	447	455	254	398	393	372	360	317	412
22	333	292	275	400	368	380	415	272	292	384
23	376	321	450	348	315	360	377	257	333	333
24	450	264	433	371	383	385	399	376	253	406
25	399	310	376	382	355	338	332	425	268	367

Anexo No 42. Macerado largo de vaso (API), posición D

N° foto	G 6	G 10	G 12	G 41	G 51	G 57	G 68	G 71	G 77	G 89
1	399	431	415	324	330	399	513	408	760	526
2	554	537	559	305	650	361	427	391	383	386
3	495	535	504	326	520	490	548	409	421	430
4	396	611	458	427	588	645	551	527	424	589
5	449	510	452	514	425	409	497	515	323	554
6	580	302	390	486	434	508	490	468	498	505
7	507	352	528	584	514	514	536	518	454	493
8	415	530	492	528	568	499	425	361	609	571
9	462	400	525	508	576	555	401	428	615	681
10	460	467	301	595	609	412	548	576	621	520
11	519	491	450	417	470	465	463	465	476	461
12	465	447	519	333	571	575	494	716	619	490
13	622	383	510	444	448	500	353	500	480	374
14	355	438	477	441	538	434	581	518	588	371

15	497	395	684	453	498	456	558	444	549	553
16	327	434	589	487	602	602	644	495	600	508
17	394	569	550	661	474	525	508	376	571	565
18	459	371	499	376	433	600	476	433	586	495
19	498	504	543	451	428	398	597	413	445	473
20	425	452	651	432	355	393	474	341	553	502
21	500	448	569	468	600	546	448	415	466	561
22	377	368	528	485	470	436	459	385	517	408
23	514	396	508	303	588	470	585	432	555	542
24	395	515	382	361	760	444	578	300	548	513
25	442	436	498	600	391	601	574	303	497	541

Anexo No 43. Macerado largo de vaso (DAP), posición A

N° foto	G 6	G 10	G 12	G 41	G 51	G 57	G 68	G 71	G 77	G 89
1	225	245	306	2673	287	197	287	290	375	351
2	238	228	198	292	255	230	294	244	328	309
3	301	227	232	323	207	256	207	332	316	306
4	387	218	242	286	330	225	225	271	349	297
5	199	238	202	427	261	305	277	264	251	345
6	221	158	298	202	217	339	250	243	281	314
7	216	188	283	376	275	228	304	178	339	317
8	266	283	228	379	309	296	319	297	318	334
9	305	236	265	431	450	309	313	314	310	262
10	305	290	346	428	336	361	360	273	346	274
11	274	208	308	358	284	238	260	284	402	359

12	290	404	174	247	351	363	217	339	365	321
13	318	363	314	356	198	205	328	277	351	289
14	321	254	246	270	327	330	252	252	376	308
15	406	257	273	411	295	282	287	301	310	301
16	255	251	240	343	288	261	199	241	388	339
17	319	231	284	336	301	286	283	193	269	284
18	277	309	235	335	263	298	277	221	278	362
19	281	302	204	249	269	326	253	259	251	343
20	394	202	277	322	284	345	318	183	301	326
21	321	275	226	245	359	339	319	219	323	256
22	227	305	280	297	367	321	276	268	289	326
23	265	299	287	359	290	315	236	213	354	276
24	325	223	224	217	250	265	303	262	362	370
25	252	266	290	387	222	290	321	211	406	354

Anexo No 44. Macerado largo de vaso (DAP), posición B

N° foto	G 6	G 10	G 12	G 41	G 51	G 57	G 68	G 71	G 77	G 89
1	300	309	348	250	359	362	302	353	405	373
2	310	315	325	390	441	257	497	282	427	307
3	318	219	231	376	353	247	272	242	455	455
4	420	264	463	394	352	347	314	396	419	329
5	425	310	258	245	418	335	353	454	418	317
6	335	342	360	529	450	393	345	392	325	471
7	299	400	319	310	398	430	329	364	429	398
8	342	253	229	426	420	541	337	311	465	432

9	357	249	319	384	364	352	359	267	424	401
10	346	510	323	335	421	393	402	332	336	383
11	289	439	445	341	504	356	375	417	355	391
12	351	283	434	342	255	289	338	402	442	364
13	424	332	436	228	317	464	330	341	419	356
14	393	271	426	389	323	361	407	346	305	328
15	400	325	338	375	271	335	452	332	456	436
16	419	308	389	339	368	321	439	367	368	355
17	473	342	318	406	298	340	373	366	471	343
18	298	378	291	343	258	324	385	294	342	289
19	509	277	322	494	469	299	334	296	287	468
20	337	292	286	495	405	357	346	334	502	402
21	273	382	343	324	254	336	319	348	496	419
22	366	329	496	366	432	330	358	321	354	387
23	342	346	401	357	478	401	355	289	371	449
24	255	268	407	350	323	342	290	333	310	366
25	429	303	397	471	500	321	237	214	329	382

Anexo No 45. Macerado largo de vaso (DAP), posición C

N° foto	G 6	G 10	G 12	G 41	G 51	G 57	G 68	G 71	G 77	G 89
1	393	319	392	398	434	439	386	350	489	363
2	453	326	495	475	254	326	306	363	481	465
3	405	390	431	486	293	394	440	330	375	460
4	438	273	391	406	437	443	454	393	536	379
5	481	532	450	453	384	346	449	380	515	489

6	515	503	600	336	453	360	366	391	463	454
7	329	486	404	366	600	389	442	326	412	428
8	333	527	400	604	458	294	375	405	369	476
9	551	400	427	297	322	363	481	395	427	506
10	438	332	442	358	451	418	407	473	402	493
11	427	436	397	436	510	464	346	432	439	427
12	446	282	413	414	444	515	420	438	532	389
13	340	323	349	533	382	510	461	410	442	382
14	395	334	437	515	472	308	403	345	414	378
15	374	343	421	464	450	508	378	375	356	328
16	449	339	516	437	328	456	500	451	402	488
17	318	471	360	493	259	448	408	384	350	453
18	328	361	452	502	384	333	473	405	322	459
19	410	285	412	382	487	434	365	388	453	492
20	357	410	378	443	437	481	394	400	466	437
21	345	394	402	393	345	395	419	449	398	336
22	365	287	410	349	295	493	554	437	383	320
23	285	346	520	446	405	553	371	450	450	370
24	356	320	465	640	248	357	325	395	389	382
25	360	402	439	469	307	492	340	443	364	393

Anexo No 46. Macerado largo de vaso (DAP), posición D

N° foto	G 6	G 10	G 12	G 41	G 51	G 57	G 68	G 71	G 77	G 89
1	556	426	340	511	727	367	289	361	563	502
2	421	308	446	381	515	409	419	524	500	388

3	728	455	457	719	636	436	498	521	594	740
4	664	328	448	477	566	469	414	299	511	468
5	529	429	534	424	428	470	399	418	526	657
6	418	428	435	433	359	606	520	349	761	501
7	548	500	492	490	374	393	443	403	563	538
8	389	393	434	430	540	679	475	422	450	515
9	508	402	514	636	387	473	433	414	573	522
10	346	411	549	466	325	387	465	355	584	519
11	497	318	641	595	4290	411	434	525	421	689
12	427	345	459	723	730	560	495	422	471	509
13	710	564	454	423	356	300	702	390	418	537
14	514	416	450	415	484	474	504	415	406	690
15	422	359	665	508	415	574	590	446	408	586
16	642	389	640	727	447	496	440	443	615	574
17	683	369	461	385	389	448	449	416	578	546
18	559	319	500	566	523	427	474	504	704	456
19	729	397	460	502	618	565	375	523	675	536
20	496	412	548	456	555	400	379	484	564	646
21	668	501	544	668	390	432	421	517	440	488
22	745	420	454	388	539	513	382	461	500	567
23	675	572	503	410	762	369	358	507	475	729
24	680	601	327	437	564	434	412	475	555	530
25	312	539	384	408	400	627	343	474	610	542

Anexo No 47. Promedio de radios por mm lineal (API), posición radial B

N° foto	G 6	G 10	G 12	G 41	G 51	G 57	G 68	G 71	G 77	G 89
1	13	15,5	16,5	14,5	14	13,5	13,5	14	19,5	21
2	13	15	15,5	14,5	14,5	13,5	12,5	14	15,5	15,5
3	13	13,5	15	15,5	14	13	13,5	15	14	12,5
4	14	13,5	14,5	15	14,5	15	15	14,5	14	13,5
5	15	14,5	14	14,5	14	14	13	12,5	13,5	14
6	16	16	14,5	13,5	14	12,5	11	13,5	14	14
7	11	13	15,5	14	13	12,5	11,5	12,5	14,5	15
8	11,5	12	13,5	15,5	15,5	13,5	13,5	14,5	16	14,5
9	14	15,5	14,5	15	16	15	15,5	15,5	15,5	15
10	12,5	14	14,5	13,5	13	14	13,5	14,5	15	14,5
11	13,5	15,5	15,5	16	14	14,5	15	15,5	17	15
12	13	13,5	14	14,5	15,5	15,5	15,5	14,5	15	15
13	13,5	13	14,5	14	12,5	12	14,5	17	15	14
14	15,5	14	15,5	16	14	14	15,5	16	16	14,5
15	12,5	13	14	14,5	15	15	13	14,5	16,5	15,5
16	14,5	15	15,5	15	15,5	13,5	12	14	15	15
17	11,5	12	14,5	14,5	13,5	12	11	12	13,5	14
18	12	13	14	14,5	15	12,5	11	13	13,5	14
19	13	15	14,5	13	13	13,5	13,5	14,5	14,5	14,5
20	14,5	14	15	16	16,5	16	14	15	14	14
21	12	12,5	13	14	14	13,5	14,5	13,5	13,5	15
22	13	13	14,5	13,5	13	14	14	14,5	15,5	15,5
23	12,5	12	14	14	14	14	12,5	13	14	15
24	12,5	14	15,5	16	15,5	14	12,5	13,5	14,5	13,5

25	12	13	14,5	15,5	16,5	13,5	12	13,5	13,5	14
----	----	----	------	------	------	------	----	------	------	----

Anexo No 48. Promedio de radios por mm lineal (API), posición radial D

N° foto	G 6	G 10	G 12	G 41	G 51	G 57	G 68	G 71	G 77	G 89
1	12,5	12,5	13,5	14	14,5	13	12,5	13,5	13,5	14
2	13	12,5	13	14	13,5	12	10,5	11,5	12,5	13,5
3	12	13,5	13,5	14	15,5	15	13,5	12,5	13,5	15,5
4	13	13,5	13,5	14	14	14,5	14,5	12,5	12	13,5
5	14	13,5	14	15	16	14,5	14	13,5	12,5	13,5
6	15	14,5	14	15	15,5	16	16,5	15	13,5	14
7	15	15	14,5	14	15	17,5	15,5	13	12,5	12
8	12	13	13	12	13,5	13,5	12	13,5	13,5	13
9	13	12,5	12	13	13,5	12,5	11,5	12,5	13,5	14,5
10	14	13,5	13,5	13,5	14,5	15,5	13	11,5	11,5	14
11	13	14	15,5	15	14	15	15	13,5	12,5	13,5
12	11	11,5	13	15,5	16,5	14	14	14,5	12	13,5
13	12	11,5	11,5	12,5	13,5	13,5	14,5	14,5	13	13,5
14	15,5	13,5	12	14	16,5	14,5	12,5	13	12,5	13,5
15	15,5	15	13,5	13	12,5	13,5	13	11,5	12	13
16	13,5	13,5	13,5	14	14	14	12,5	12	11,5	12
17	12,5	13	13	13,5	14,5	13,5	11,5	12,5	14	14
18	12,5	12	12,5	13,5	13	11,5	12,5	12,5	11	13,5
19	13	12	14	14,5	14,5	15,5	14	13	12,5	12,5
20	13,5	11,5	7	7,5	13,5	12,5	12	12,5	12,5	14,5
21	13,5	13,5	13	14,5	16	13,5	14,5	16	13,5	13,5

22	13	14,5	13	12,5	12,5	13,5	15	14	13,5	13
23	11,5	12,5	12	11	12	15	16	13,5	13	13,5
24	12	12,5	12,5	12,5	14,5	14,5	13,5	12	11,5	13,5
25	14,5	14	15	15	16	15,5	12,5	12,5	14,5	14

Anexo No 49. Promedio de radios por mm lineal (DAP), posición radial B

N° foto	G 6	G 10	G 12	G 41	G 51	G 57	G 68	G 71	G 77	G 89
1	16,5	16	14,5	12,5	12,5	13	13	16	17	14,5
2	16,5	15	14	12,5	12,5	13	13,5	16,5	16,5	14,5
3	14	14,5	14	13	15	15	13	14,5	15	14,5
4	16,5	15	11	11	12	14	15	15	16	15
5	14,5	14	11,5	12	13,5	16	17,5	15,5	14	15
6	14,5	13,5	12	14	13	14	14	13	15,5	15,5
7	15	14,5	15,5	17	14	13	13	12,5	13,5	13
8	13,5	13,5	15,5	17	13,5	12,5	13	14	16,5	15
9	17	15,5	14	13,5	14,5	13,5	11,5	14	16,5	16
10	16	15,5	15	15	15	14	12	13	14,5	15
11	15	15,5	15	13	12	11,5	13,5	15,5	14,5	15
12	14,5	14	14,5	13,5	13	12,5	12	16	18,5	16
13	15,5	14	12	13	13	12,5	13,5	15	15,5	14
14	13	12	12	12,5	12,5	13	16	16,5	14,5	14,5
15	14,5	13	11,5	13,5	14	13	14	15,5	16,5	17,5
16	13,5	14	12	12	13,5	12,5	11,5	14,5	16	14,5
17	14,5	14,5	14,5	12,5	12,5	15	15	14	14,5	14
18	12	14,5	15,5	13	13	15,5	15	15	16,5	15

19	15	16	17	14	14	16	13,5	14,5	16	14
20	16,5	14	11,5	12,5	12,5	13	12,5	11	14	16
21	16,5	15	12	13	13	12	11,5	13	15	14,5
22	17,5	16	15	15,5	13,5	12,5	13,5	14	15,5	15,5
23	14,5	14,5	14	15,5	14	12	14,5	16,5	15,5	14,5
24	16,5	15	14	14,5	14	14	13	13	16	15,5
25	14,5	15	14,5	12,5	14	15	14	14,5	16,5	16

Anexo No 50. Promedio de radios por mm lineal (DAP), posición radial D

N° foto	G 6	G 10	G 12	G 41	G 51	G 57	G 68	G 71	G 77	G 89
1	13	12	14	11,5	13,5	16,5	14	14,5	14,5	16
2	14,5	10,5	14,5	12,5	11,5	14,5	12,5	14	14,5	14,5
3	15	13,5	14,5	13,5	15	14,5	13,5	14	13,5	15
4	15	14,5	16	8,5	12,5	15	13,5	13	12	13
5	13,5	14,5	14,5	14	13	14,5	11	12	12,5	15,5
6	14	14	15,5	16	14	15	12,5	13,5	14	14
7	15,5	14	15	12,5	13,5	15	14	14,5	14	15,5
8	14,5	11,5	16,5	14	15	14,5	12,5	11,5	12	15
9	13	15	15,5	14	14	13,5	14	13	13,5	15
10	15	14	15	14,5	12,5	15,5	13	13	12,5	12,5
11	12	12	14,5	15	16	13,5	11	12,5	14	15,5
12	14,5	14,5	16	15,5	14	13,5	14,5	14	12,5	12,5
13	14,5	13,5	13	13,5	15,5	14,5	14,5	15,5	15,5	15
14	16,5	14	15	12,5	14	15,5	14	13	12,5	14,5
15	15,5	12	15	13	13	15,5	14,5	14	14	16

16	13	15	15,5	12,5	13,5	16	14,5	13,5	15	17
17	13	14	16	11,5	13	15	11,5	12	12,5	13,5
18	14	17,5	14,5	12	14,5	12,5	13	11,5	11	13
19	16	14	15,5	14	13,5	14	13,5	14	11	13
20	13	13	13,5	14	13,5	15	14	13,5	12	12,5
21	14	13,5	14,5	12,5	16	14	14	14	13,5	14,5
22	16	14,5	16	15,5	13,5	15	13,5	14	14	15
23	15,5	14	16,5	13,5	14	14,5	13	14,5	15	14
24	14	13,5	16	13,5	14,5	14,5	14,5	14	14,5	15
25	14	15,5	13,5	14	13,5	15	13,5	14,5	14	15

Anexo No 51. Promedio número de células por radio (API), posición radial B

N° foto	G 6	G 10	G 12	G 41	G 51	G 57	G 68	G 71	G 77	G 89
1	9	10	10	8	9	10	9	9	10	10
2	9	9	10	9	11	9	9	10	8	9
3	10	10	10	9	10	9	9	11	11	9
4	8	10	11	10	11	9	10	9	8	9
5	9	9	10	10	10	10	9	9	9	9
6	11	9	10	9	9	10	9	10	10	8
7	9	10	10	8	11	9	9	10	10	9
8	8	10	10	10	11	9	9	9	8	8
9	8	9	10	10	10	11	10	10	9	9
10	9	9	10	9	10	10	10	9	10	9
11	11	9	9	8	10	9	11	10	9	10
12	10	9	9	7	11	10	10	10	10	9

13	6	9	10	9	10	11	9	9	9	9
14	8	9	10	11	9	10	9	10	9	10
15	9	9	9	12	10	10	9	9	8	10
16	9	9	9	9	10	10	10	9	9	10
17	10	10	10	8	10	9	9	9	8	10
18	9	11	10	8	10	10	10	11	9	8
19	10	10	9	9	10	9	10	9	10	10
20	11	9	10	9	9	10	9	11	9	11
21	8	9	10	11	10	10	10	11	9	9
22	10	9	9	10	10	10	9	9	9	10
23	9	9	8	11	12	9	10	9	8	9
24	9	9	10	11	10	10	10	10	10	9
25	10	8	10	9	11	9	9	10	10	10

Anexo No 52. Promedio número de células por radio (API), posición radial
D

N° foto	G 6	G 10	G 12	G 41	G 51	G 57	G 68	G 71	G 77	G 89
1	9	8	9	9	8	10	11	8	8	10
2	9	8	10	10	9	9	9	8	9	8
3	8	9	9	9	9	10	10	9	11	10
4	9	8	9	8	8	10	11	8	10	10
5	9	9	9	9	8	10	9	9	9	9
6	8	8	10	9	8	9	9	8	9	9
7	10	10	11	10	8	10	10	10	9	10
8	9	9	9	10	8	10	10	9	10	9
9	10	9	9	11	10	11	9	9	10	8

10	8	9	11	9	8	10	8	9	10	10
11	10	9	9	8	8	11	10	9	9	9
12	10	10	10	8	9	10	10	10	9	9
13	9	9	10	10	8	9	10	9	9	9
14	10	9	9	10	9	9	10	9	10	10
15	10	9	9	10	8	9	9	9	10	10
16	9	10	10	9	9	10	10	10	9	10
17	9	9	9	9	10	10	9	9	8	9
18	8	9	11	10	7	10	10	9	9	9
19	9	8	9	10	9	11	10	8	10	10
20	10	9	10	10	8	9	11	9	8	9
21	8	9	10	9	10	9	10	9	9	9
22	9	9	9	9	8	9	10	9	10	9
23	12	9	10	10	8	10	10	9	10	10
24	9	9	10	10	8	10	10	9	9	10
25	10	10	9	9	9	9	11	10	10	9

Anexo No 53. Promedio número de células por radio (DAP), posición radial B

N° foto	G 6	G 10	G 12	G 41	G 51	G 57	G 68	G 71	G 77	G 89
1	11	11	11	10	10	10	10	10	10	9
2	10	10	10	10	10	10	9	9	10	10
3	9	10	10	9	11	11	10	10	11	9
4	9	10	11	9	12	11	9	9	10	10
5	9	11	9	9	10	10	10	10	10	10
6	11	9	9	10	11	10	10	9	9	11

7	9	10	9	10	10	11	11	9	11	10
8	9	10	9	9	10	11	9	10	11	9
9	9	9	9	11	10	10	9	10	11	10
10	8	9	11	9	11	10	9	10	10	10
11	10	10	11	9	9	9	10	11	11	10
12	9	10	9	10	9	10	10	9	9	12
13	9	8	9	9	12	10	9	9	10	10
14	9	11	9	10	10	10	11	10	9	10
15	9	10	10	12	11	9	10	10	11	9
16	9	10	10	10	9	9	9	8	11	8
17	9	9	10	11	9	9	9	9	9	11
18	9	10	9	10	10	11	10	9	9	10
19	9	11	9	10	11	10	9	11	10	11
20	10	9	11	9	10	10	10	11	10	9
21	10	9	10	9	10	9	10	11	11	10
22	11	12	10	10	10	10	10	10	10	10
23	9	11	11	9	11	10	10	9	11	10
24	10	9	11	10	10	10	10	8	11	9
25	14	15,5	13,5	14	13,5	15	13,5	14,5	14	15

Anexo No 54. Promedio número de células por radio (DAP), posición radial
D

N° foto	G 6	G 10	G 12	G 41	G 51	G 57	G 68	G 71	G 77	G 89
1	8	8	9	9	10	10	9	8	9	10
2	9	10	10	8	9	11	8	9	8	10
3	10	10	9	10	10	11	9	10	10	10

4	9	9	10	9	10	10	7	9	8	9
5	10	9	9	9	10	11	10	9	9	11
6	9	11	9	10	10	10	9	9	11	10
7	9	9	9	8	11	9	9	10	10	9
8	9	9	9	10	10	9	10	9	9	9
9	9	9	8	10	10	10	8	9	9	10
10	8	9	10	9	9	11	10	10	9	10
11	9	9	10	10	10	8	9	10	8	10
12	9	10	9	9	10	10	8	9	10	10
13	9	8	9	10	9	9	9	10	10	9
14	10	9	10	11	9	9	9	9	10	10
15	9	9	8	11	11	10	8	11	10	9
16	8	9	9	8	10	9	9	8	9	9
17	9	9	9	8	9	9	9	10	9	10
18	9	9	9	9	10	10	8	10	9	11
19	9	10	9	11	10	9	10	10	9	9
20	9	9	9	11	10	9	8	9	10	10
21	10	10	9	9	10	10	8	11	10	10
22	10	10	8	9	9	9	9	10	9	10
23	10	9	10	8	10	9	9	10	9	10
24	10	9	10	9	9	10	9	10	7	10
25	9	9	8	12	11	9	9	9	9	10

Anexo No 55. Promedio altura en micras de radio (API), posición radial B

N° foto	G 6	G 10	G 12	G 41	G 51	G 57	G 68	G 71	G 77	G 89
------------	-----	------	------	------	------	------	------	------	------	------

1	179	190	200	181	177	193	169	159	187	173
2	177	193	202	173	194	178	188	184	144	163
3	187	194	193	180	177	180	178	181	211	167
4	175	198	199	171	187	180	193	155	163	166
5	186	180	195	171	176	191	184	156	181	165
6	164	184	201	180	170	190	175	165	185	165
7	174	196	189	146	195	186	178	164	178	174
8	175	187	195	175	193	186	183	158	169	169
9	166	186	194	172	178	190	174	167	178	171
10	691	179	197	168	186	187	171	145	183	172
11	632	185	187	184	182	184	193	164	170	180
12	170	187	183	174	189	183	189	160	178	168
13	164	186	188	161	189	194	181	148	168	168
14	176	184	192	191	179	185	179	166	164	184
15	153	181	182	169	176	193	187	149	130	173
16	151	189	172	168	188	188	192	165	188	183
17	164	192	194	168	184	184	182	145	164	170
18	161	200	192	158	188	192	184	180	178	163
19	175	192	178	165	193	180	189	147	190	181
20	167	177	192	174	176	195	175	174	176	187
21	172	179	200	191	190	193	189	174	186	166
22	174	190	191	183	184	188	170	153	170	178
23	184	189	177	165	201	180	190	145	166	171
24	159	200	186	183	181	196	192	160	190	168
25	152	161	189	170	200	179	179	165	195	178

Anexo No 56. Promedio altura en micras de radio (API), posición radial D

N° foto	G 6	G 10	G 12	G 41	G 51	G 57	G 68	G 71	G 77	G 89
1	206	188	192	210	165	177	199	180	180	193
2	199	158	203	197	170	182	182	185	181	180
3	200	185	189	190	182	174	194	190	212	194
4	199	167	184	210	174	193	204	194	198	199
5	196	190	192	204	168	185	180	187	185	194
6	203	177	193	198	166	190	186	199	190	193
7	216	188	204	202	161	192	193	191	188	194
8	202	181	190	211	163	193	196	191	192	189
9	206	180	185	197	200	194	185	192	194	185
10	195	199	208	196	173	203	177	193	195	200
11	201	193	187	190	159	190	190	198	193	189
12	199	197	198	199	169	203	189	194	182	179
13	6497	189	197	203	160	191	192	182	181	185
14	191	182	184	193	180	184	193	191	203	192
15	197	182	184	196	162	184	182	210	197	197
16	203	203	198	196	179	186	189	186	179	198
17	202	185	185	193	192	192	187	189	177	187
18	190	183	203	188	155	193	197	194	189	182
19	200	180	198	199	182	199	194	189	202	193
20	189	182	202	205	156	185	199	192	178	189
21	191	189	201	206	193	188	189	188	179	189
22	155	185	183	190	171	176	197	180	195	186
23	193	197	195	192	170	192	187	202	196	201

24	194	192	197	203	167	188	192	189	180	198
25	201	210	192	195	177	182	195	193	196	190

Anexo No 57. Promedio altura en micras de radio (DAP), posición radial B

N° foto	G 6	G 10	G 12	G 41	G 51	G 57	G 68	G 71	G 77	G 89
1	205	179	175	194	185	183	187	196	193	181
2	193	168	193	203	187	194	181	202	191	195
3	174	186	189	183	186	189	192	188	210	191
4	176	183	179	178	208	204	184	189	205	192
5	182	208	189	193	191	186	195	187	194	192
6	202	193	184	177	202	186	190	176	189	192
7	185	206	202	184	191	198	207	186	203	197
8	177	181	199	185	191	195	187	194	192	203
9	175	169	206	174	188	185	182	187	192	200
10	178	175	187	182	203	188	183	183	176	176
11	185	206	188	190	179	180	202	186	197	182
12	181	165	176	194	171	189	192	177	177	197
13	180	180	194	173	220	190	195	180	177	188
14	180	205	205	170	184	194	204	179	177	202
15	165	187	178	195	206	180	198	193	189	206
16	175	200	184	185	175	175	177	184	205	183
17	174	193	191	184	176	176	189	185	174	193
18	173	191	175	185	189	202	196	187	173	189
19	190	197	183	176	192	195	189	200	174	210
20	191	176	182	192	179	192	193	191	184	192

21	179	198	192	182	182	188	193	182	197	177
22	200	197	194	188	189	202	190	199	185	189
23	183	188	193	193	197	182	192	186	189	203
24	192	194	200	173	186	190	200	188	189	168
25	195	188	193	195	194	205	190	203	182	189

Anexo No 58. Promedio altura en micras de radio (DAP), posición radial D

N° foto	G 6	G 10	G 12	G 41	G 51	G 57	G 68	G 71	G 77	G 89
1	172	183	196	195	198	188	186	176	177	202
2	178	193	202	203	186	202	180	174	176	188
3	187	196	186	188	197	205	191	197	196	195
4	180	189	191	201	200	194	169	183	182	190
5	207	168	199	191	201	205	200	184	192	190
6	184	195	195	207	207	194	188	181	199	204
7	189	188	179	187	203	183	185	191	196	188
8	189	192	188	181	193	179	187	181	188	185
9	181	186	188	182	200	194	176	178	179	190
10	177	191	191	190	188	207	200	187	179	202
11	190	190	199	184	195	177	191	188	171	194
12	187	182	195	177	200	196	174	195	192	195
13	182	176	189	184	190	186	192	198	188	189
14	199	193	198	188	188	178	198	176	192	189
15	183	188	179	197	206	193	169	205	206	188
16	172	192	183	190	194	184	189	177	191	187
17	192	188	193	189	193	183	192	197	174	200

18	198	189	193	187	200	191	177	193	189	211
19	190	204	188	189	200	184	200	192	183	185
20	189	187	191	200	190	187	177	175	194	191
21	197	203	185	183	192	195	185	199	209	197
22	202	194	177	181	189	181	201	182	185	198
23	201	184	194	194	196	191	178	193	188	194
24	195	189	196	205	182	187	183	192	164	189
25	185	198	179	195	208	188	195	178	187	194

Anexo No 59. Densidad básica (API).

Posic.	G 6	G 10	G 12	G 41	G 51	G 57	G 68	G 71	G 77	G 89
A	0,356	0,380	0,357	0,354	0,361	0,344	0,349	0,370	0,383	0,346
B	0,412	0,404	0,383	0,357	0,378	0,407	0,383	0,389	0,395	0,341
C	0,382	0,382	0,366	0,313	0,376	0,397	0,382	0,358	0,396	0,360
D	0,390	0,406	0,377	0,333	0,368	0,396	0,380	0,376	0,408	0,367

Anexo No 60. Densidad básica (DAP)

Posic.	G 6	G 10	G 12	G 41	G 51	G 57	G 68	G 71	G 77	G 89
A	0,385	0,436	0,386	0,344	0,367	0,372	0,374	0,292	0,389	0,335
B	0,421	0,447	0,396	0,376	0,414	0,384	0,385	0,394	0,427	0,380
C	0,412	0,516	0,373	0,356	0,407	0,382	0,386	0,373	0,410	0,354
D	0,435	0,386	0,355	0,373	0,394	0,417	0,392	0,363	0,436	0,343